

เอกสารอ้างอิง

1. เอกสิทธิ์ ลิ่มสุวรรณ, "วัสดุที่ใช้ในการซ่อมโครงสร้างคอนกรีตเสริมเหล็ก," สัมนาวิชาการสาเหตุและแนวทางแก้ไขการวิบัติโครงสร้าง, ส่วนที่ 2, คณะวิศวกรรมศาสตร์ จุฬาลงกรณ์มหาวิทยาลัย, กรุงเทพมหานคร 2523
2. ปริญญา จินดาประเสริฐ, "ปูนซีเมนต์และคอนกรีต," ภาควิชาวิศวกรรมโยธา คณะวิศวกรรมศาสตร์ มหาวิทยาลัยขอนแก่น, ขอนแก่น 2529
3. ACI Committee 503, "Use of Epoxy Compounds With Concrete," ACI Manual of Concrete Practice, Part 5, American Concrete Institute, Detroit, Michigan 1985.
4. ACI Committee 224, "Causes, Evaluation and Repair of Cracks in Concrete Structures," ACI Manual of Concrete Practice, Part 3, American Concrete Institute, Detroit, Michigan 1985.
5. G.W. Whitesides, "Stress in Epoxy Compounds for Portland Cement Concrete," EPOXY WITH CONCRETE, SP-21, American Concrete Institute, Detroit, Michigan 1968., pp.93-106
6. J.D. Krieger and G.M. Nordby, "Methods of Evaluation of Epoxy Compounds Used for Bonding Concrete," EPOXY WITH CONCRETE, SP-21, American Concrete Institute, Detroit, Michigan 1968., pp.104-118
7. S. Champion, "Failure and Repair of Concrete Structure," John Wiley & Sons Inc., New York, 1961.
8. ACI Committee 201, "Guide to Durable Concrete," ACI Journal Proceeding V.74, No.12, Dec.1977.

9. ACI Committee 223, "Standard Practice For Use of Shrinkage Compensating Concrete," ACI Manual of Concrete Practice, Part 1, American Concrete institute, Detroit, Michigan 1985.
10. J.S. Wall and N.G. Shrive, "Factors Affecting Bond between New and Old Concrete," ACI MATERIALS JOURNAL V.80, American Concrete institute, Michigan 1988.
11. M.R. Rixom, "Concrete Admixtures Use and Applications," The Construction Press, ISBN 0 904406 326
12. Nikolai G. Zoldners, "The Properties of Concrete under sustained elevated temperature," TEMPERATURE AND CONCRETE, SP 25-1, American Concrete institute, Michigan 1971.

ศูนย์วิทยทรัพยากร
จุฬาลงกรณ์มหาวิทยาลัย

ตารางที่ 2.1 ส่วนประกอบทางเคมีของปูนซีเมนต์พอร์ตแลนด์ (2)

ส่วนประกอบ	ส่วนประกอบเป็นร้อยละ				
	ประเภทของปูนซีเมนต์พอร์ตแลนด์				
	1	2	3	4	5
C_3S	50	45	60	25	40
C_2S	25	30	15	50	40
C_3A	12	7	10	5	4
C_4AF	8	12	8	4	4

ศูนย์วิทยทรัพยากร
จุฬาลงกรณ์มหาวิทยาลัย

ตารางที่ 3.1 ทราบขนาดคละมาตรฐาน ASTM C109
สำหรับการผสมมอร์ต้า

ตระแกรงเบอร์	ร้อยละค้ำงสะสม
100	98-2
50	75-5
40	30-5
30	2-2
16	-

ตารางที่ 3.2 สัดส่วนการผสมของคอนกรีตที่ใช้ในงานวิจัย

วัสดุ	น้ำหนักต่อ ม. ³ กก.
ปูนซีเมนต์ปอร์ตแลนด์ชนิดที่ 3	400
หิน 3/4 นิ้ว	1000
ทราย	740
น้ำ	160
สารเคมีเพิ่มการไหลลื่น	3200 ซม. ³

ตารางที่ 3.3 ผลการทดสอบกำลังอัดของคอนกรีตที่ใช้ในงานวิจัย

ตัวอย่างที่	น้ำหนักกด ตัน	กำลังอัด กก./ซม. ²
1	70.5	399
2	82.5	467
3	68.2	386
4	65.5	371
5	78.4	444
6	70.5	400
7	67.8	384
8	69.2	392
9	75.5	427
10	66.4	376
11	72.5	410
12	62.7	355
เฉลี่ย		401
ค่าเบี่ยงเบนมาตรฐาน		32

ศูนย์วิทยทรัพยากร
จุฬาลงกรณ์มหาวิทยาลัย



ตารางที่ 3.4 กำลังอัดของอีป็อกซี่

อายุ วัน	หน้าตัด ซม. x ซม.	น้ำหนักกด ตัน	กำลังอัด กก./ซม. ²	เฉลี่ย กก./ซม. ²
3	5.020x4.983	6.40	256	257
	5.025x5.032	6.57	260	
	4.980x4.995	6.35	255	
7	5.015x4.955	12.80	515	518
	5.030x4.985	13.20	526	
	4.958x4.986	12.70	514	
28	4.945x4.951	19.60	800	751
	4.954x4.907	17.30	712	
	4.883x5.058	18.35	743	

ตารางที่ 3.5 กำลังดึงของอีป็อกซี่

อายุ วัน	หน้าตัด ซม. x ซม.	แรงดึง กก.	กำลังดึง กก./ซม. ²	เฉลี่ย กก./ซม. ²
7	2.565x2.570	1540	234	263
	2.545x2.575	2110	322	
	2.560x2.550	1520	233	
28	2.550x2.488	1750	276	280
	2.544x2.480	1900	301	
	2.554x2.500	1680	263	

ตารางที่ 3.6 กำลังยึดเหนี่ยวแบบตัดระหว่างอ็อกซี่กับคอนกรีต

รอยต่อ มม.	ก่อนประสาน		หลังประสาน		หมายเหตุ
	แรงกด กก.	โมดูลัสแตกร้าว กก./ซม. ²	แรงกด กก.	กำลังยึดเหนี่ยว กก./ซม. ²	
1	2810	62.4	3040	67.0	ขาดรอยเก่า ขาดรอยใหม่ ขาดรอยใหม่
	2520	56.0	3000	66.7	
	2900	64.0	3010	66.9	
	เฉลี่ย	60.8		66.9	134 %*
2	2340	52.0	2620	58.2	ขาดรอยใหม่ ขาดรอยใหม่ ขาดรอยเก่า
	2700	60.0	2045	45.4	
	2760	61.0	2450	54.4	
	เฉลี่ย	57.7		52.7	105 %*
3	2480	55.1	2020	44.9	ขาดรอยใหม่ ขาดรอยเก่า ขาดรอยเก่า
	2550	56.6	2270	50.4	
	2970	66.0	2435	54.1	
	เฉลี่ย	59.2		49.8	99 %*
4	2400	53.3	2310	51.3	ขาดรอยเก่า ขาดรอยใหม่ ขาดรอยใหม่
	2000	44.4	2500	55.5	
	2150	47.8	2225	49.4	
	เฉลี่ย	48.5		52.1	104 %*

หมายเหตุ * ร้อยละของค่าเฉลี่ยโมดูลัสแตกร้าวของคอนกรีตควบคุม

ตารางที่ 3.7 กำลังอัดของอิฐบล็อกซีเมนต์ (อายุ 28 วัน)

ทราย:ซีเมนต์	หน้าตัด ซม. x ซม.	น้ำหนักกด ตัน	กำลังอัด กก./ซม. ²	เฉลี่ย กก./ซม. ²
1:2	5.035x4.940	16.30	655	650
	5.044x4.965	16.17	646	
	5.018x4.974	16.20	649	
1:3	5.025x4.920	12.30	498	501
	5.040x4.915	12.37	499	
	5.000x4.936	12.50	506	
1:4	5.070x4.950	10.40	414	425
	5.050x4.910	10.55	425	
	5.030x4.900	10.74	436	

ศูนย์วิทยทรัพยากร
จุฬาลงกรณ์มหาวิทยาลัย

ตารางที่ 3.8 กำลังยึดเหนี่ยวแบบตัดระหว่างอิฐบล็อกซีเมนต์ดำกับคอนกรีต

อิฐบล็อกซีเมนต์ดำ	ก่อนประสาน		หลังประสาน		หมายเหตุ
	แรงกด กก.	โมดูลัสแตกร้าว กก./ซม. ²	แรงกด กก.	กำลังยึดเหนี่ยว กก./ซม. ²	
1:2	2800	62.2	2770	61.6	ขาดรอยเก่า
	2660	59.1	2820	62.7	ขาดรอยใหม่
	2440	54.2	2600	57.8	ขาดรอยใหม่
	เฉลี่ย	58.5		60.7	121 %*
1:3	1950	43.3	2320	51.6	ขาดรอยใหม่
	1820	40.4	2930	65.1	ขาดรอยใหม่
	2510	55.8	2500	55.6	ขาดรอยใหม่
	เฉลี่ย	46.5		57.5	115 %*
1:4	2610	58.1	2470	54.9	ขาดรอยใหม่
	2800	62.2	2620	58.2	ขาดรอยใหม่
	2400	53.3	2435	65.5	ขาดรอยใหม่
	เฉลี่ย	57.9		59.5	119 %*

หมายเหตุ

* ร้อยละของค่าเฉลี่ย โมดูลัสแตกร้าวของคอนกรีตควบคุม

ตารางที่ 3.9 กำลังอัดของมอร์ต้าที่ไม่หัดตัวประเภทลดน้ำเพิ่มการไหลลื่น

อายุ วัน	หน้าตัด ซม. x ซม.	น้ำหนัก ตัน	กำลังอัด กก./ซม. ²	เฉลี่ย กก./ซม. ²
1	5.075x5.125	6.20	239	242
	5.150x5.200	6.20	231	
	5.270x5.136	6.90	255	
3	5.130x4.960	11.30	444	459
	5.010x5.070	12.00	472	
	5.150x5.015	11.90	461	
7	5.070x4.950	13.00	518	525
	5.090x5.000	13.40	526	
	5.110x5.050	13.70	531	
28	5.000x5.085	16.20	637	598
	5.025x5.110	14.30	557	
	5.010x5.155	15.50	600	

ศูนย์วิทยทรัพยากร
จุฬาลงกรณ์มหาวิทยาลัย

ตารางที่ 3.10 กำลังยึดเหนี่ยวแบบตัดระหว่าง มอร์ตาร์ทที่ไม่หดตัว
ประเภทลดน้ำ เพิ่มการไหลลื่นกับคอนกรีต

ตัวอย่างที่	ก่อนประสาน		หลังประสาน		หมายเหตุ
	แรงกด กก.	โมดูลัสแตกร้าว กก./ซม. ²	แรงกด กก.	กำลังยึดเหนี่ยว กก./ซม. ²	
1	2100	46.7	1430	31.7	ขาดรอยเก่า
2	2850	63.3	1230	27.3	ขาดรอยเก่า
3	2420	53.8	1560	34.7	ขาดรอยเก่า
เฉลี่ย		58.5		31.2	62 %*

หมายเหตุ * ร้อยละของค่าเฉลี่ยโมดูลัสแตกร้าวของคอนกรีตควบคุม

ศูนย์วิทยทรัพยากร
จุฬาลงกรณ์มหาวิทยาลัย

ตารางที่ 3.11 กำลังอัดของมอร์ต้าที่ไม่หดตัวประเภทขยายตัว

อายุ วัน	หน้าตัด ซม. x ซม.	น้ำหนักกด ตัน	กำลังอัด กก./ซม. ²	เฉลี่ย กก./ซม. ²
1	4.985x5.080	9.50	376	317
	5.314x5.135	7.40	271	
	5.085x5.015	7.75	304	
3	5.020x5.030	12.60	499	527
	5.000x5.030	13.90	553	
	5.000x5.015	13.30	530	
7	5.080x5.030	14.50	567	561
	5.095x5.050	15.20	916	
	5.035x5.010	13.50	526	
28	5.050x5.145	23.00	888	847
	5.092x5.062	22.60	877	
	5.040x5.055	20.70	812	
	5.047x5.032	19.80	779	
	5.017x5.060	22.20	874	

ตารางที่ 3.12 กำลังยึดเหนี่ยวแบบตติระหว่ง มอริต้าที่ไม่หดตัวประเภทขยายตัว กับคอนกรีต

ตัวอย่างที่	ก่อนประสาน		หลังประสาน		หมายเหตุ
	แรงกด กก.	โมดูลัสแตกร้าว กก./ซม. ²	แรงกด กก.	กำลังยึดเหนี่ยว กก./ซม. ²	
1	2500	55.5	1210	26.9	ขาดรอยเก่า
2	2230	49.5	1460	32.4	ขาดรอยเก่า
3	2450	54.4	1350	30.0	ขาดรอยเก่า
เฉลี่ย		53.1		29.8	60 %*

หมายเหตุ * ร้อยละของค่าเฉลี่ย โมดูลัสแตกร้าวของคอนกรีตควบคุม

ศูนย์วิทยพัทยากร
จุฬาลงกรณ์มหาวิทยาลัย

ตารางที่ 3.13 กำลังยึดเหนี่ยวแบบตัดระหว่างมอร์ต้าสำหรับการปะฉาบกับคอนกรีต

ทราย:ซีเมนต์	ก่อนประสาน		หลังประสาน		หมายเหตุ
	แรงกด กก.	โมดูลัสแตกร้าว กก./ซม. ²	แรงกด กก.	กำลังยึดเหนี่ยว กก./ซม. ²	
1:1	2370	52.7	905	20.1	ขาดรอยเก่า
	2395	53.2	920	20.4	ขาดรอยเก่า
	2065	45.9	840	18.7	ขาดรอยเก่า
	เฉลี่ย	50.6		19.7	39 %*
1.5:1	2580	57.3	740	16.4	ขาดรอยเก่า
	2320	51.6	860	19.1	ขาดรอยเก่า
	2580	57.3	760	16.9	ขาดรอยเก่า
	เฉลี่ย	55.4		17.5	35 %*
2:1	2080	46.2	695	15.4	ขาดรอยเก่า
	2255	50.1	875	19.5	ขาดรอยเก่า
	2280	50.7	800	17.8	ขาดรอยเก่า
	เฉลี่ย	49.0		17.6	35 %*
2.5:1	1790	39.8	530	11.8	ขาดรอยเก่า
	2305	51.2	710	15.8	ขาดรอยเก่า
	2080	46.2	445	9.9	ขาดรอยเก่า
	เฉลี่ย	45.7		12.5	25 %*

หมายเหตุ * ร้อยละของค่าเฉลี่ยโมดูลัสแตกร้าวของคอนกรีตควบคุม

ตารางที่ 3.14 กำลังยึดเหนี่ยวแบบตัดระหว่างมอร์ต้า+SP. สำหรับการปะลาบกับคอนกรีต

ทราย:ซีเมนต์	ก่อนประสาน		หลังประสาน		หมายเหตุ
	แรงกด กก.	โมดูลัสแตกร้าว กก./ซม. ²	แรงกด กก.	กำลังยึดเหนี่ยว กก./ซม. ²	
1:1	2430	54.0	1940	43.1	ขาดรอยเก่า
	2910	64.3	1710	38.0	ขาดรอยเก่า
	2500	55.5	1160	25.8	ขาดรอยเก่า
	เฉลี่ย	57.9		35.6	71 %*
1.5:1	2020	44.9	1010	22.4	ขาดรอยเก่า
	2570	57.1	895	19.9	ขาดรอยเก่า
	2050	45.6	1250	27.8	ขาดรอยเก่า
	เฉลี่ย	49.2		23.3	47 %*
2:1	1680	37.3	1010	22.4	ขาดรอยเก่า
	2075	46.1	820	18.3	ขาดรอยเก่า
	2065	45.9	800	17.8	ขาดรอยเก่า
	เฉลี่ย	43.1		19.5	39 %*
2.5:1	1645	36.6	955	21.2	ขาดรอยเก่า
	2160	48.0	890	19.7	ขาดรอยเก่า
	2345	52.1	600	13.3	ขาดรอยเก่า
	เฉลี่ย	45.5		18.1	36 %*

หมายเหตุ * ร้อยละของค่าเฉลี่ย โมดูลัสแตกร้าวของคอนกรีตควบคุม

ตารางที่ 3.15 กำลังยึดเหนี่ยวแบบตัดระหว่างมอร์ต้าสำหรับการเกราะที่คอนกรีต

ทราย:ซีเมนต์	ก่อนประสาน		หลังประสาน		หมายเหตุ
	แรงกด กก.	โมดูลัสแตกร้าว กก./ซม. ²	แรงกด กก.	กำลังยึดเหนี่ยว กก./ซม. ²	
ซีเมนต์เพลส	1830	40.7	830	18.4	ขาดรอยเก่า
	1825	40.6	810	18.0	ขาดรอยเก่า
	1925	42.8	815	18.1	ขาดรอยเก่า
	เฉลี่ย	41.4		18.2	36 %*
0.5:1	2620	58.2	580	12.9	ขาดรอยเก่า
	2060	45.8	625	13.9	ขาดรอยเก่า
	2225	49.4	605	13.4	ขาดรอยเก่า
	เฉลี่ย	51.1		13.4	27 %*
1:1	1760	39.1	605	13.4	ขาดรอยเก่า
	1720	38.2	740	16.4	ขาดรอยเก่า
	1860	41.3	780	17.3	ขาดรอยเก่า
	เฉลี่ย	39.5		15.7	31 %*
1.5:1	1620	36.0	680	15.1	ขาดรอยเก่า
	1700	37.8	950	21.1	ขาดรอยเก่า
	1730	38.4	970	21.5	ขาดรอยเก่า
	เฉลี่ย	37.4		19.2	38 %*

หมายเหตุ * ร้อยละของค่าเฉลี่ยโมดูลัสแตกร้าวของคอนกรีตควบคุม

ตารางที่ 3.16 กำลังยึดเหนี่ยวแบบตัดระหว่างมอร์ต้า+SP. สำหรับการเกรทท์กับคอนกรีต

ทราย:ซีเมนต์	ก่อนประสาน		หลังประสาน		หมายเหตุ
	แรงกด กก.	โมดูลัสแตกร้าว กก./ซม. ²	แรงกด กก.	กำลังยึดเหนี่ยว กก./ซม. ²	
ซีเมนต์เฟส	2255	50.1	1470	32.7	ขาดรอยเก่า
	1885	41.9	1085	24.1	ขาดรอยเก่า
	2210	49.1	1460	32.4	ขาดรอยเก่า
	เฉลี่ย	47.0		29.7	59 %*
0.5:1	2010	44.7	1420	31.5	ขาดรอยเก่า
	2095	46.6	1165	25.9	ขาดรอยเก่า
	2155	47.9	1130	25.1	ขาดรอยเก่า
	เฉลี่ย	46.4		27.5	55 %*
1:1	2140	47.6	1135	25.2	ขาดรอยเก่า
	1740	38.7	985	21.9	ขาดรอยเก่า
	2060	45.8	860	19.1	ขาดรอยเก่า
	เฉลี่ย	44.0		22.0	44 %*
1.5:1	1855	41.2	785	17.4	ขาดรอยเก่า
	2345	52.1	970	21.6	ขาดรอยเก่า
	2330	51.8	765	17.0	ขาดรอยเก่า
	เฉลี่ย	48.4		18.7	37 %*

หมายเหตุ * ร้อยละของค่าเฉลี่ยโมดูลัสแตกร้าวของคอนกรีตควบคุม

ตารางที่ 4.1 ก. ผลการทดสอบอ็อกซี

	คอนกรีตควบคุม	อ็อกซี	
		ค่า	ผล
กำลังอัด (กก./ซม. ²)	400	751	Y
กำลังดึง (กก./ซม. ²)	50	280	Y
โมดูลัสยืดหยุ่น (กก./ซม. ²)	320000	18860	N
การหดตัว (%)	-	0.046	
สัมประสิทธิ์การขยายตัว ซม./ซม./°ซ.	11×10^{-6}	93×10^{-6}	N

หมายเหตุ

Y = กำลังมากกว่าคอนกรีตควบคุม

Fair = 90-100 % ของคอนกรีตควบคุม

N = กำลังต่ำกว่า 90 % ของคอนกรีตควบคุม

ศูนย์วิทยทรัพยากร
จุฬาลงกรณ์มหาวิทยาลัย

ตารางที่ 4.1 ข. ผลการทดสอบสีปอกซีเมอร์ดำ

คุณสมบัติ	คอนกรีตควบคุม	สีปอกซี:ทราย					
		1:2		1:3		1:4	
กำลังอัด (กก./ซม. ²)	400	650	Y	501	Y	425	Y
กำลังดึง (กก./ซม. ²)	50	223	Y	190	Y	176	Y
สัมประสิทธิ์การขยายตัว ซม./ซม./°ซ.	11×10^{-6}	75×10^{-6}	N	64×10^{-6}	N	53×10^{-6}	N
กำลังยึดเหนี่ยวเฉือนอัด กก./ซม. ²	400	420	Y	426	Y	393	Fair
กำลังยึดเหนี่ยวตัด กก./ซม. ²	50	60.7	Y	57.5	Y	59.5	Y

หมายเหตุ Y = กำลังมากกว่าคอนกรีตควบคุม Fair = 90-100% ของคอนกรีตควบคุม

N = กำลังต่ำกว่า 90 % ของคอนกรีตควบคุม

ตารางที่ 4.2 ผลการทดสอบมอร์ตาร์ที่ไม่หดตัว (Non-Shrinkage Mortar)

คุณสมบัติ	คอนกรีตควบคุม	M		F	
กำลังอัด (กก./ซม. ²)	400	598	Y	847	Y
กำลังดึง (กก./ซม. ²)	50	42.5	N	52.2	Y
การหดตัว (%)	-	0.130		0.110	
สัมประสิทธิ์การขยายตัว ซม./ซม./°ซ.	11×10^{-6}	4.1×10^{-6}	N	4.5×10^{-6}	N
โมดูลัสยืดหยุ่น กก./ซม. ²	320000	304000	Fair	275000	N
กำลังยึดเหนี่ยวเฉือนอัด กก./ซม. ²	400	358	Fair	245	N
กำลังยึดเหนี่ยวคัต กก./ซม. ²	50	31.2	N	29.8	N

หมายเหตุ M = มอร์ตาร์ที่ไม่หดตัวประเภทลดน้ำเพิ่มการไหลลื่น

F = มอร์ตาร์ที่ไม่หดตัวประเภทขยายตัว

Y = กำลังมากกว่าคอนกรีตควบคุม

N = กำลังต่ำกว่า 90 % ของคอนกรีตควบคุม

ตารางที่ 4.3 ผลการทดสอบเมอร์ตาร์ดสำหรับการปะจาย

คุณสมบัติ	คอนกรีตควบคุม		ทราย:ซีเมนต์							
			1:1		1.5:1		2:1		2.5:1	
น้ำ/ซีเมนต์	0.40	มอร์ต้า	0.40	-	0.48	-	0.58	-	0.68	-
		มอร์ต้า+SP.	0.30	-	0.38	-	0.49	-	0.63	-
กำลังอัด (28 วัน) กก./ซม. ²	400	มอร์ต้า	805	Y	560	Y	437	Y	360	Fair
		มอร์ต้า+SP.	876	Y	710	Y	526	Y	412	Y
กำลังดึง (28 วัน) กก./ซม. ²	50	มอร์ต้า	55.1	Y	43.0	N	34.0	N	31.3	N
		มอร์ต้า+SP.	59.1	Y	49.1	Fair	39.1	N	37.9	N
โมดูลัสยืดหยุ่น กก./ซม. ²	320000	มอร์ต้า	298000	Fair	261400	N	231000	N	203600	N
		มอร์ต้า+SP.	344500	Y	290000	Fair	250000	N	205100	N
การหดตัว %	-	มอร์ต้า	0.117	-	0.112	-	0.107	-	0.104	-
		มอร์ต้า+SP.	0.113	-	0.108	-	0.101	-	0.097	-
ส.ป.ส. การขยายตัว ซม./ซม./ซ.	11×10^{-6}	มอร์ต้า	4.0×10^{-6}	N	5.5×10^{-6}	N	7.7×10^{-6}	N	8.5×10^{-6}	Y
		มอร์ต้า+SP.	6.2×10^{-6}	N	7.7×10^{-6}	N	8.9×10^{-6}	Y	9.6×10^{-6}	Y
กำลังยึดเหนี่ยวเฉือนอัด กก./ซม. ²	400	มอร์ต้า	336	N	229	N	215	N	173	N
		มอร์ต้า+SP.	394	Fair	362	Fair	243	N	214	N
กำลังยึดเหนี่ยวดึง กก./ซม. ²	50	มอร์ต้า	19.7	N	17.5	N	17.0	N	12.5	N
		มอร์ต้า+SP.	35.6	N	23.3	N	19.5	N	18.1	N

หมายเหตุ Y = กำลังมากกว่าคอนกรีตควบคุม Fair = 90-100% ของคอนกรีตควบคุม

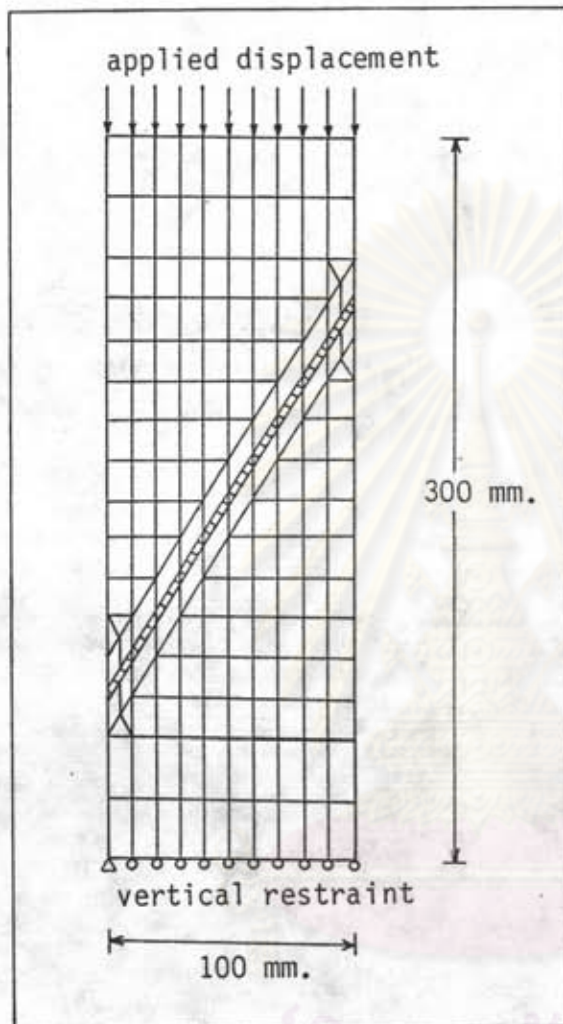
N = ต่ำกว่า 90% ของคอนกรีตควบคุม

ตารางที่ 4.4 ผลการทดสอบนอร์มัลลิตีสำหรับการกระจาย

คุณสมบัติ	คอนกรีตควบคุม		ทราย:ซีเมนต์							
			ซีเมนต์เนส		0.5:1		1:1		1.5:1	
น้ำ/ซีเมนต์	0.40	นอร์มัล นอร์มัล+SP.	0.55	-	0.65	-	0.75	-	0.81	-
			0.45	-	0.57	-	0.65	-	0.75	-
กำลังอัด (28 วัน) กก./ซม. ²	400	นอร์มัล นอร์มัล+SP.	388	Fair	433	Y	440	Y	302	N
			476	Y	600	Y	628	Y	283	N
กำลังดึง (28 วัน) กก./ซม. ²	50	นอร์มัล นอร์มัล+SP.	34.2	Y	31.6	N	30.0	N	31.9	N
			41.0	N	37.0	N	31.0	N	31.5	N
โมดูลัสยืดหยุ่น กก./ซม. ²	320000	นอร์มัล นอร์มัล+SP.	99000	N	119500	N	130700	N	111900	N
			190300	N	214300	N	225900	N	174300	N
การหดตัว %	-	นอร์มัล นอร์มัล+SP.	0.302	-	0.232	-	0.157	-	0.125	-
			0.304	-	0.228	-	0.155	-	0.136	-
ส.ป.ส. การขยายตัว ซม./ซม./°ซ.	11×10^{-6}	นอร์มัล นอร์มัล+SP.	2.5×10^{-6}	N	2.8×10^{-6}	N	4.1×10^{-6}	N	4.8×10^{-6}	N
			2.5×10^{-6}	N	3.5×10^{-6}	N	4.0×10^{-6}	N	5.0×10^{-6}	N
กำลังยึดเหนี่ยวเฉือนอัด กก./ซม. ²	400	นอร์มัล นอร์มัล+SP.	173	N	152	N	138	N	130	N
			219	N	160	N	141	N	136	N
กำลังยึดเหนี่ยวดัด กก./ซม. ²	50	นอร์มัล นอร์มัล+SP.	18.2	N	13.4	N	15.7	N	19.2	N
			29.7	N	27.5	N	22.0	N	18.7	N

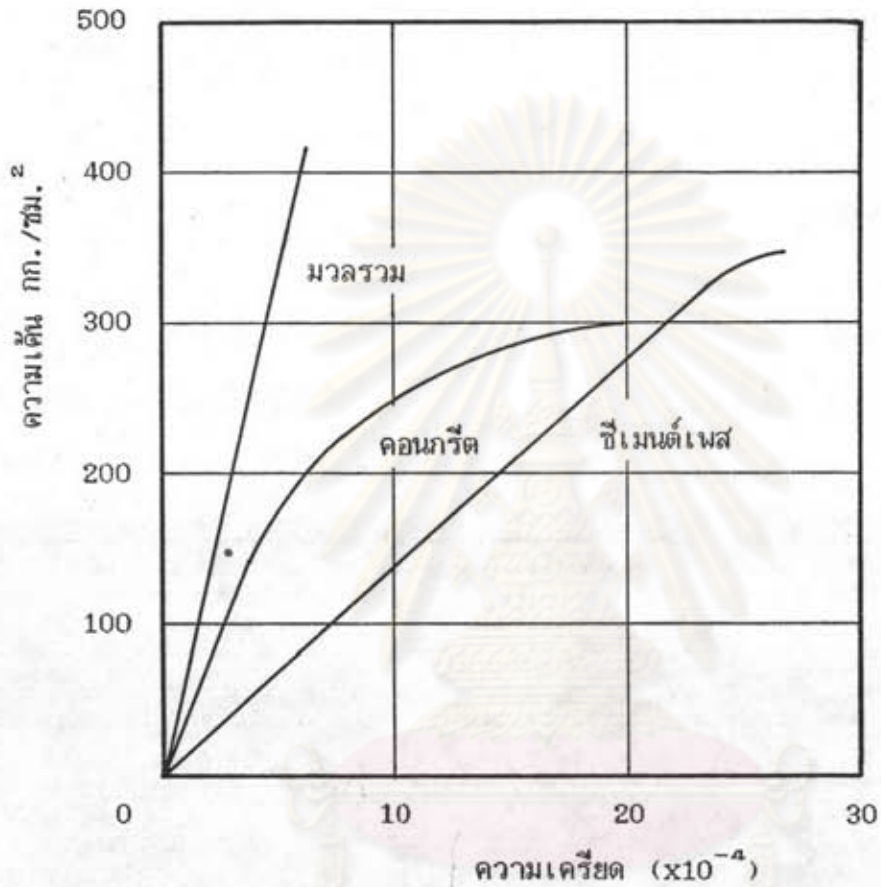
หมายเหตุ Y = กำลังมากกว่าคอนกรีตควบคุม Fair = 90-100% ของคอนกรีตควบคุม

N = ต่ำกว่า 90% ของคอนกรีตควบคุม



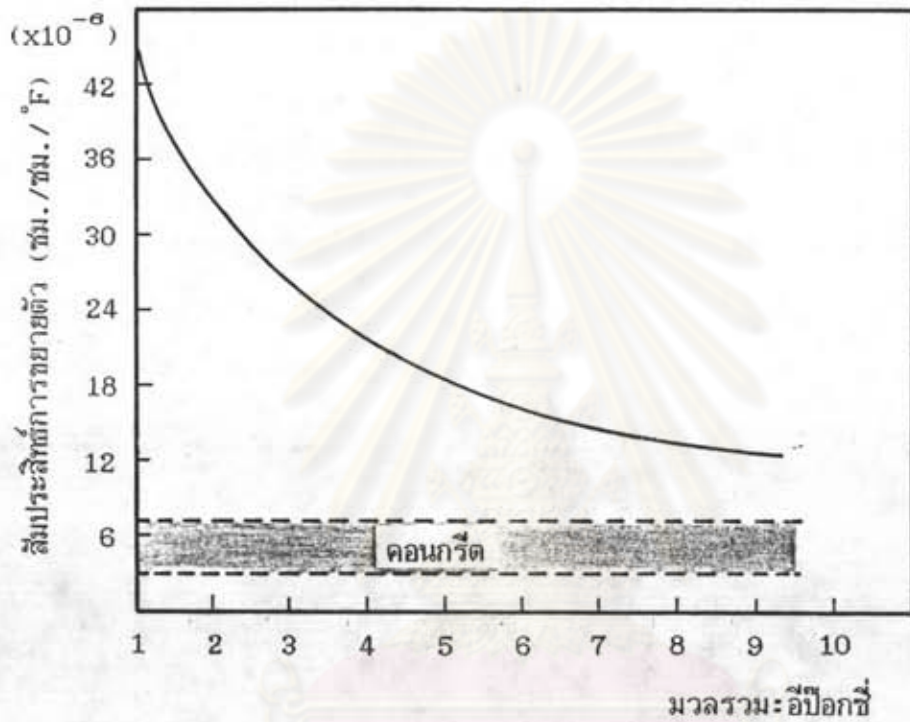
รูปที่ 1.1 แบบจำลองไฟไนต์เอลิเมนต์ตัวอย่าง

ทดสอบกำลังเฉือนอัด (10)



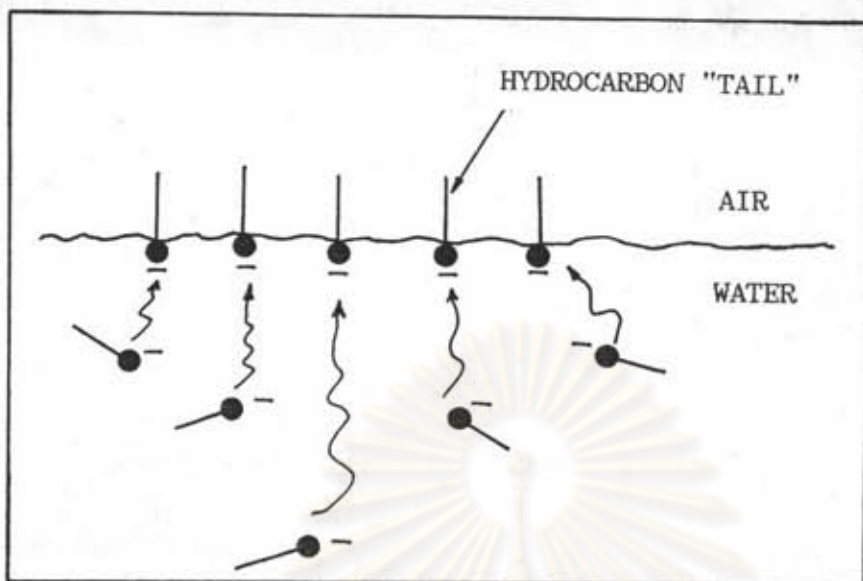
รูปที่ 2.1 ความสัมพันธ์ระหว่างความเต่งและความเครียด
ของมวลรวม คอนกรีต และ ซีเมนต์เฟส (2)

จุฬาลงกรณ์มหาวิทยาลัย

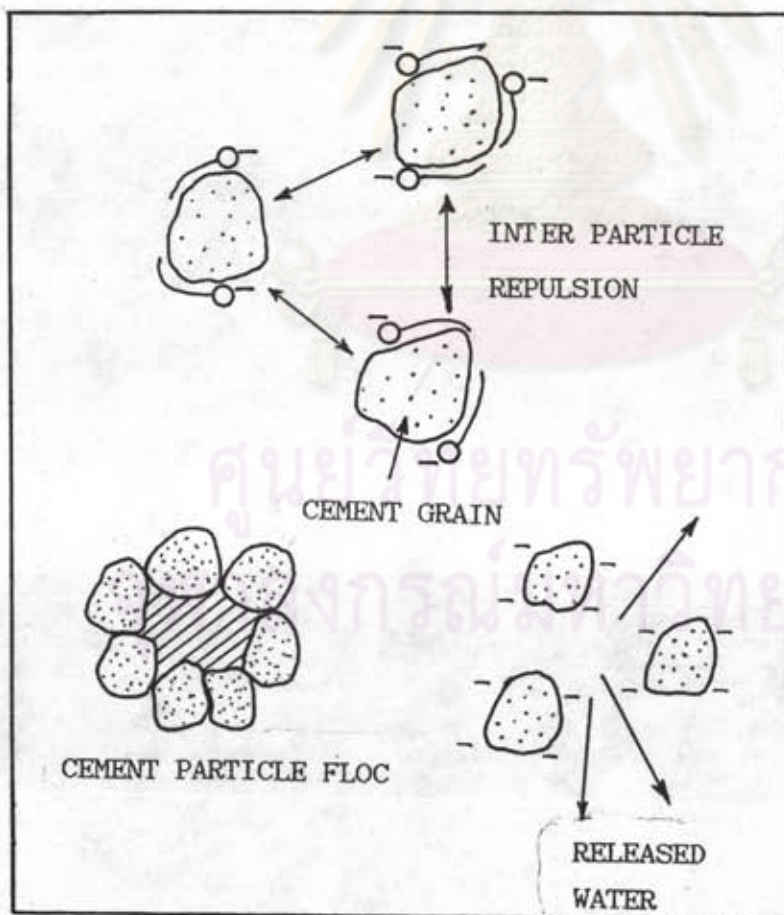


รูปที่ 2.2 ความสัมพันธ์ระหว่างสัมประสิทธิ์การขยายตัวตามอุณหภูมิ และอัตราส่วนมวลรวมต่อไข่ปอกซี่ (3)

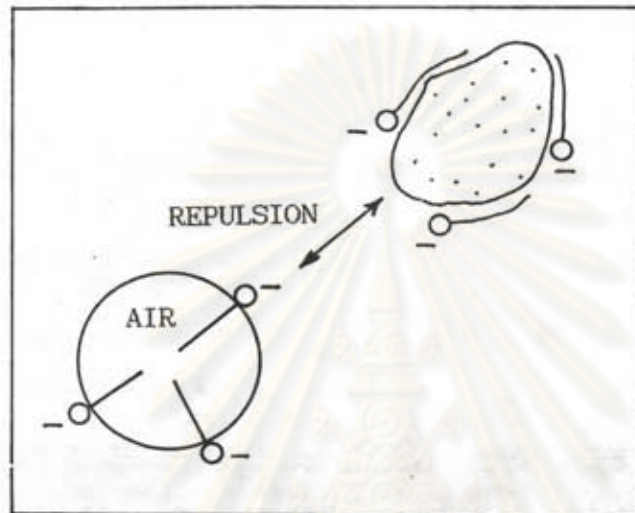
ศูนย์วิทยทรัพยากร
จุฬาลงกรณ์มหาวิทยาลัย



รูปที่ 2.3 ลักษณะจำลองของโมเลกุลของสารลดน้ำพิเศษ (11)

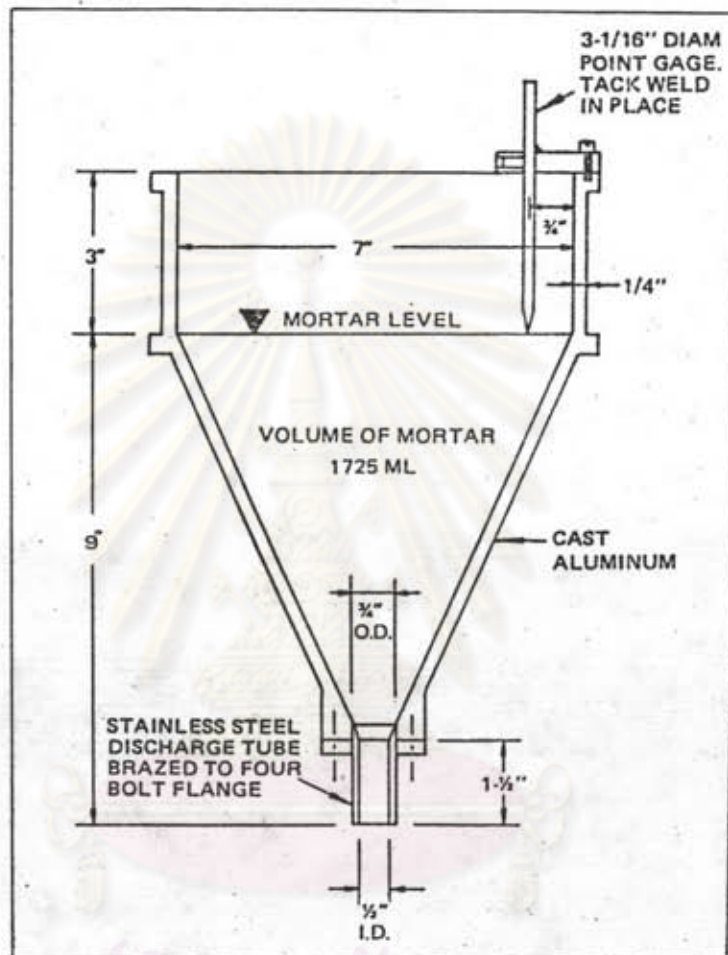


รูปที่ 2.4 ลักษณะการกระจายของเม็ดปูนซีเมนต์เมื่อผสมสารลดน้ำพิเศษ (11)



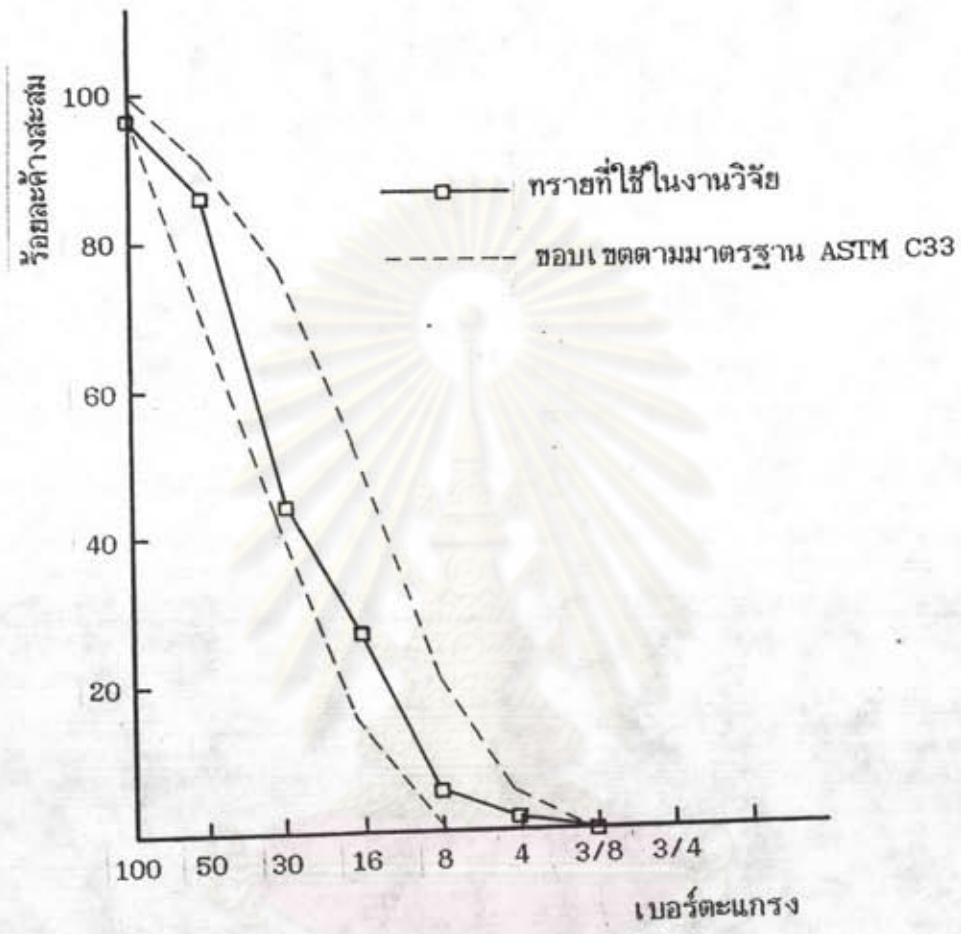
รูปที่ 2.5 ลักษณะประจุไฟฟ้ารอบเม็ดฝุ่นสีเมนต์และฟองอากาศ (11)

ศูนย์วิทยทรัพยากร
จุฬาลงกรณ์มหาวิทยาลัย



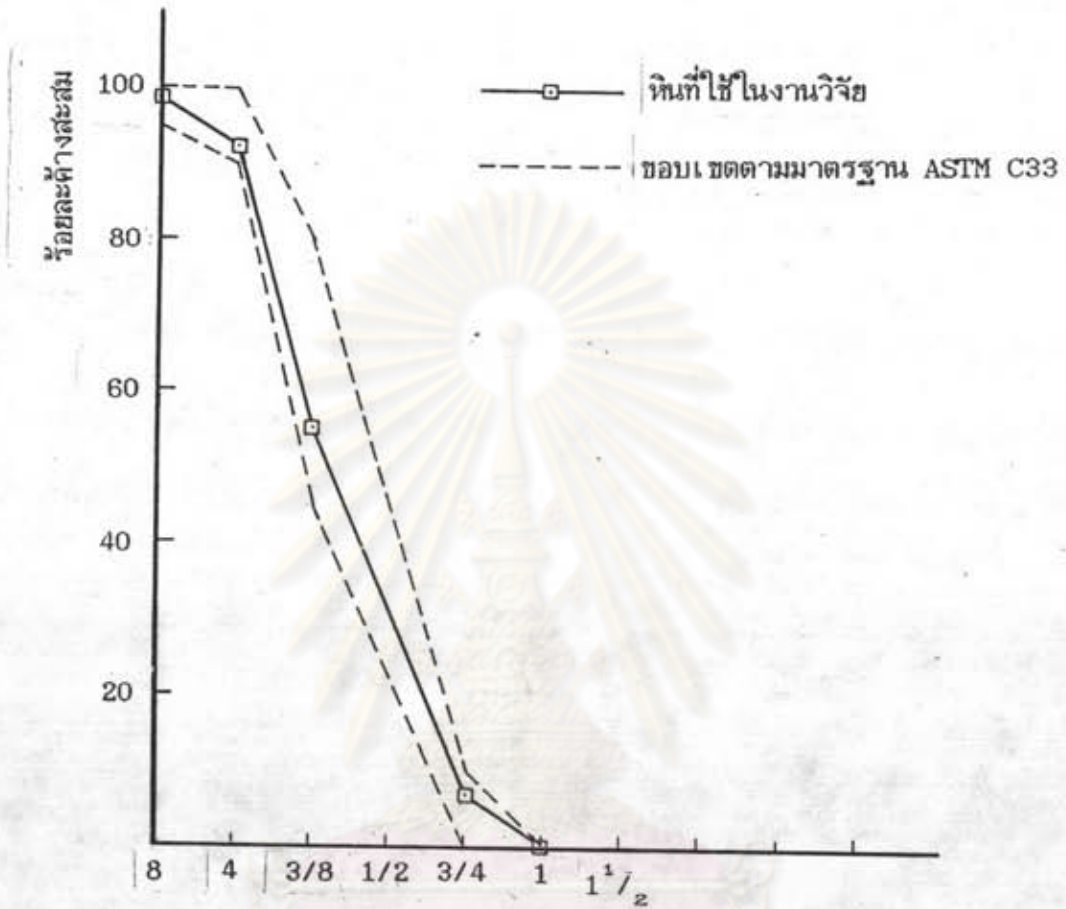
รูปที่ 3.1 ขนาดของกรวยสำหรับทดสอบการไหล (Flow Cone Test)

จุฬาลงกรณ์มหาวิทยาลัย



รูปที่ 3.2 ก การกระจายขนาดของทรายที่ใช้ในการหล่อคอนกรีต

ศูนย์วิทยทรัพยากร
จุฬาลงกรณ์มหาวิทยาลัย

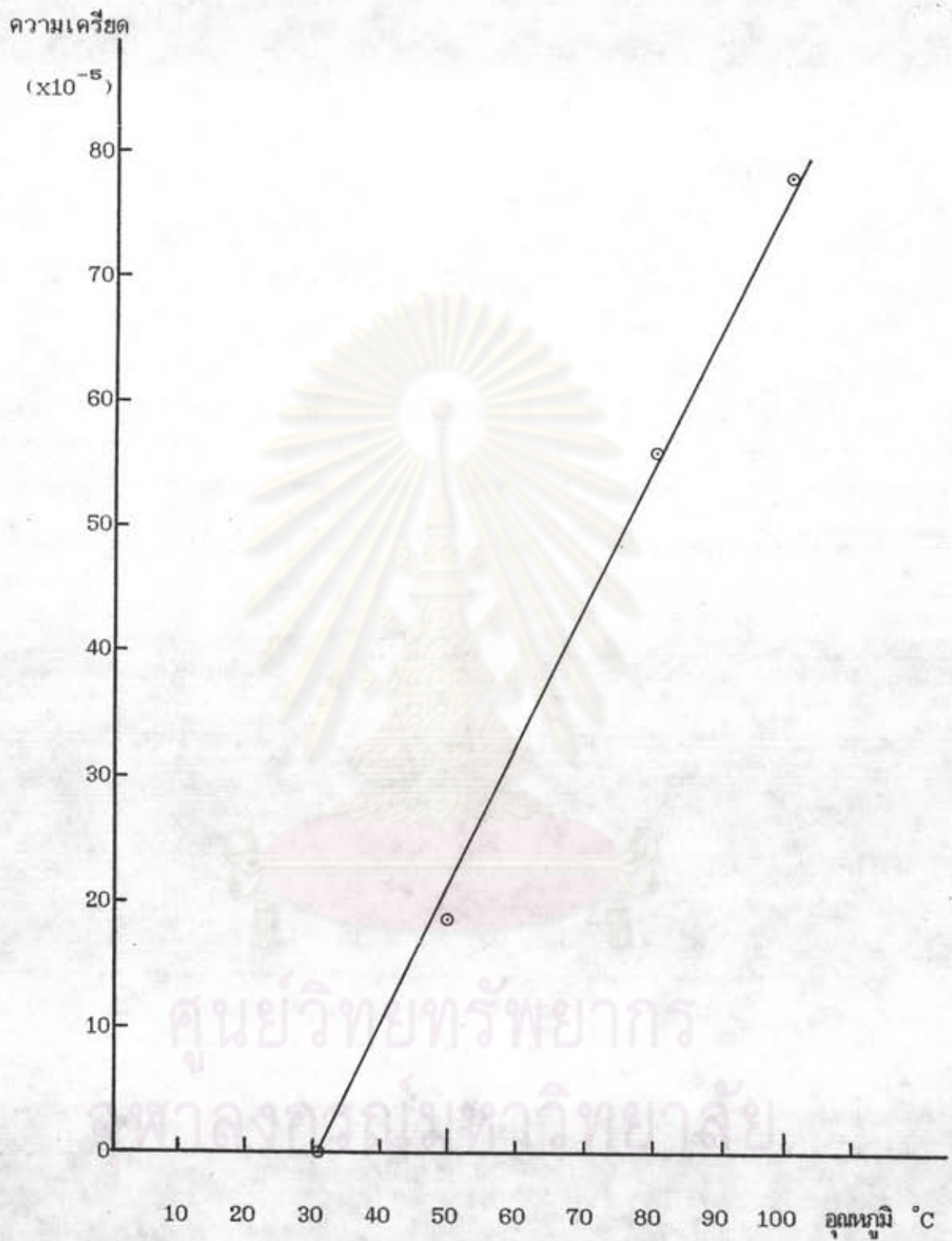


รูปที่ 3.2 ข การกระจายขนาดของหินที่ใช้ในการหล่อคอนกรีต

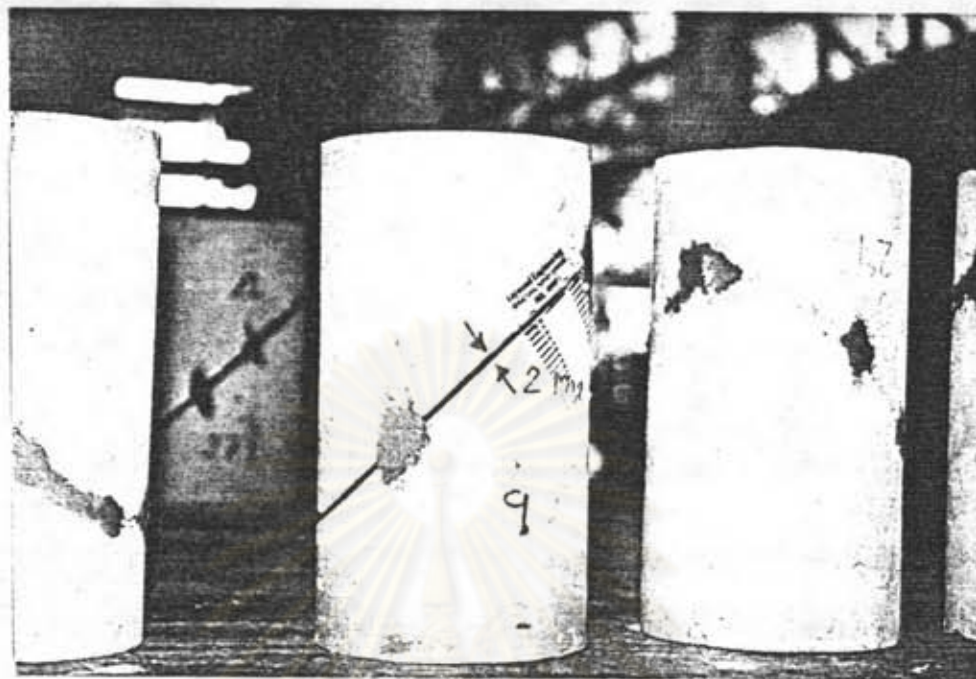
ศูนย์วิจัยทางพยาธิวิทยา
จุฬาลงกรณ์มหาวิทยาลัย



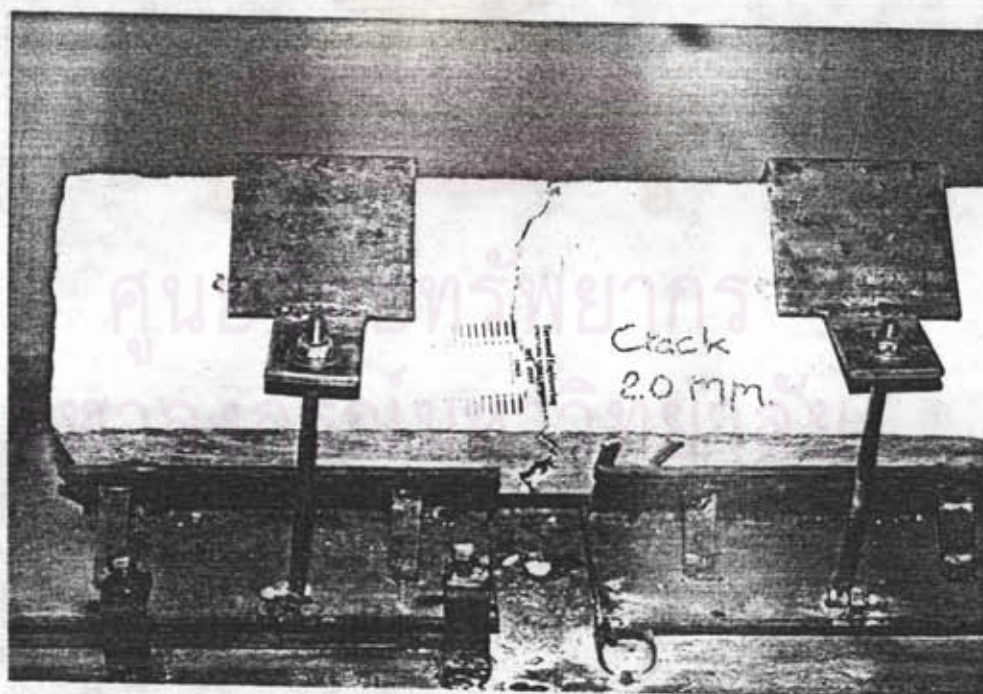
รูปที่ 3.3 ความสัมพันธ์ระหว่างความเค้นและความเครียดของคอนกรีตควบคุม



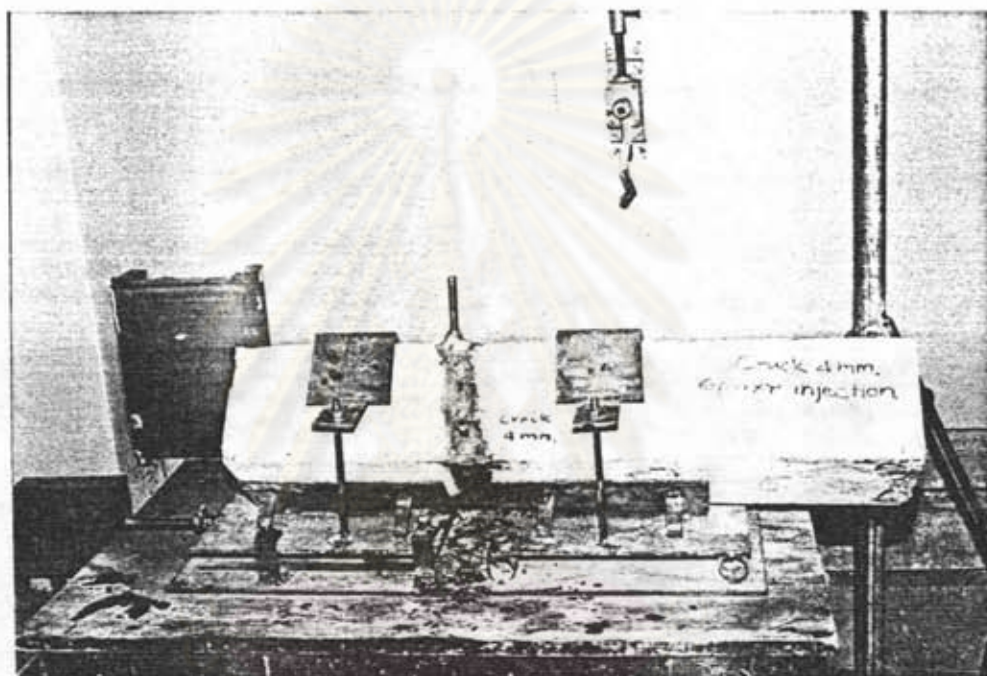
รูปที่ 3.4 การขยายตัวตามอุณหภูมิของคอนกรีตความคุม



รูปที่ 3.5 ลักษณะการต้อคอนกรีตทรงกระบอก

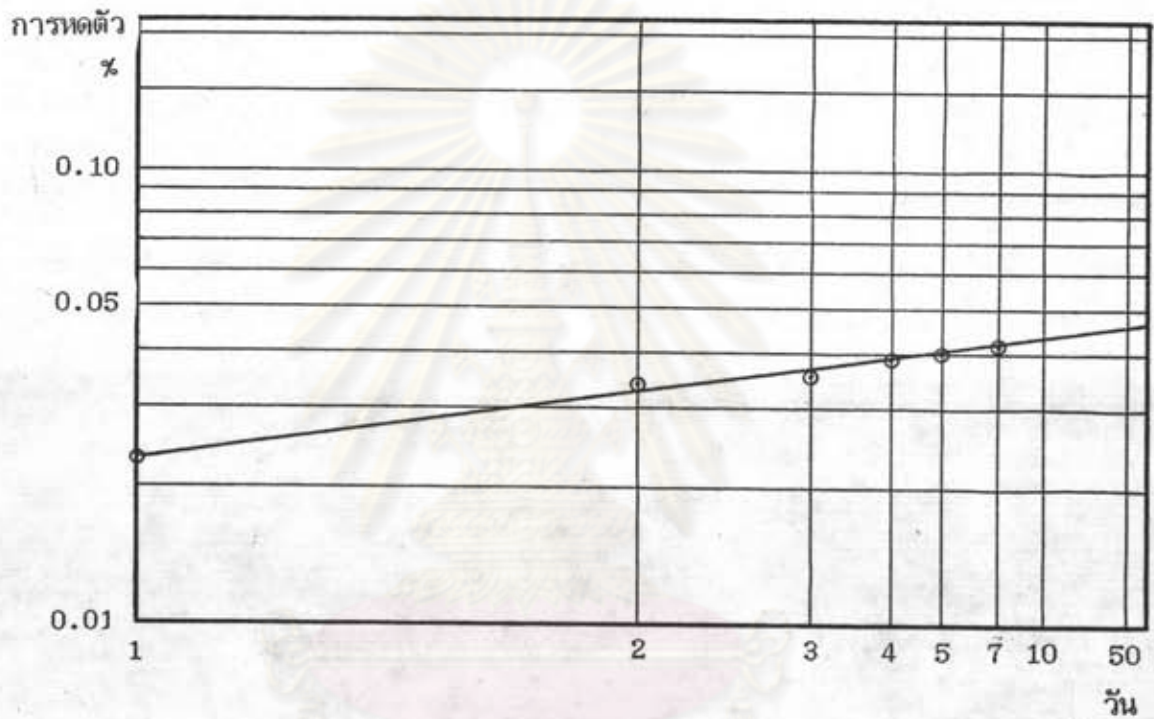


รูปที่ 3.6 ลักษณะการต้อคานคอนกรีต



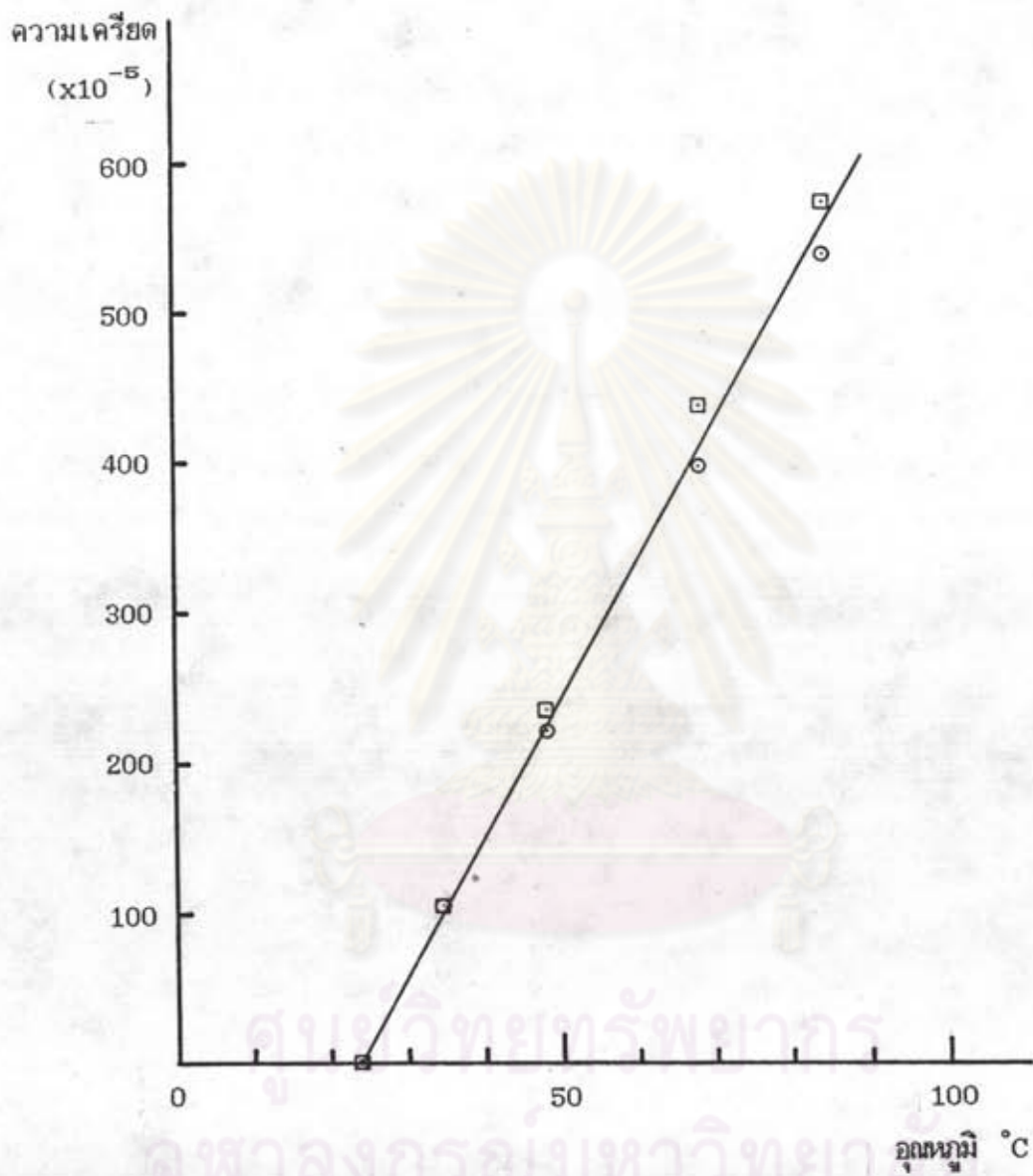
รูปที่ 3.7 การเตรียมท่อนสำหรับการฉีดวัสดุประสาน

ศูนย์วิทยทรัพยากร
จุฬาลงกรณ์มหาวิทยาลัย

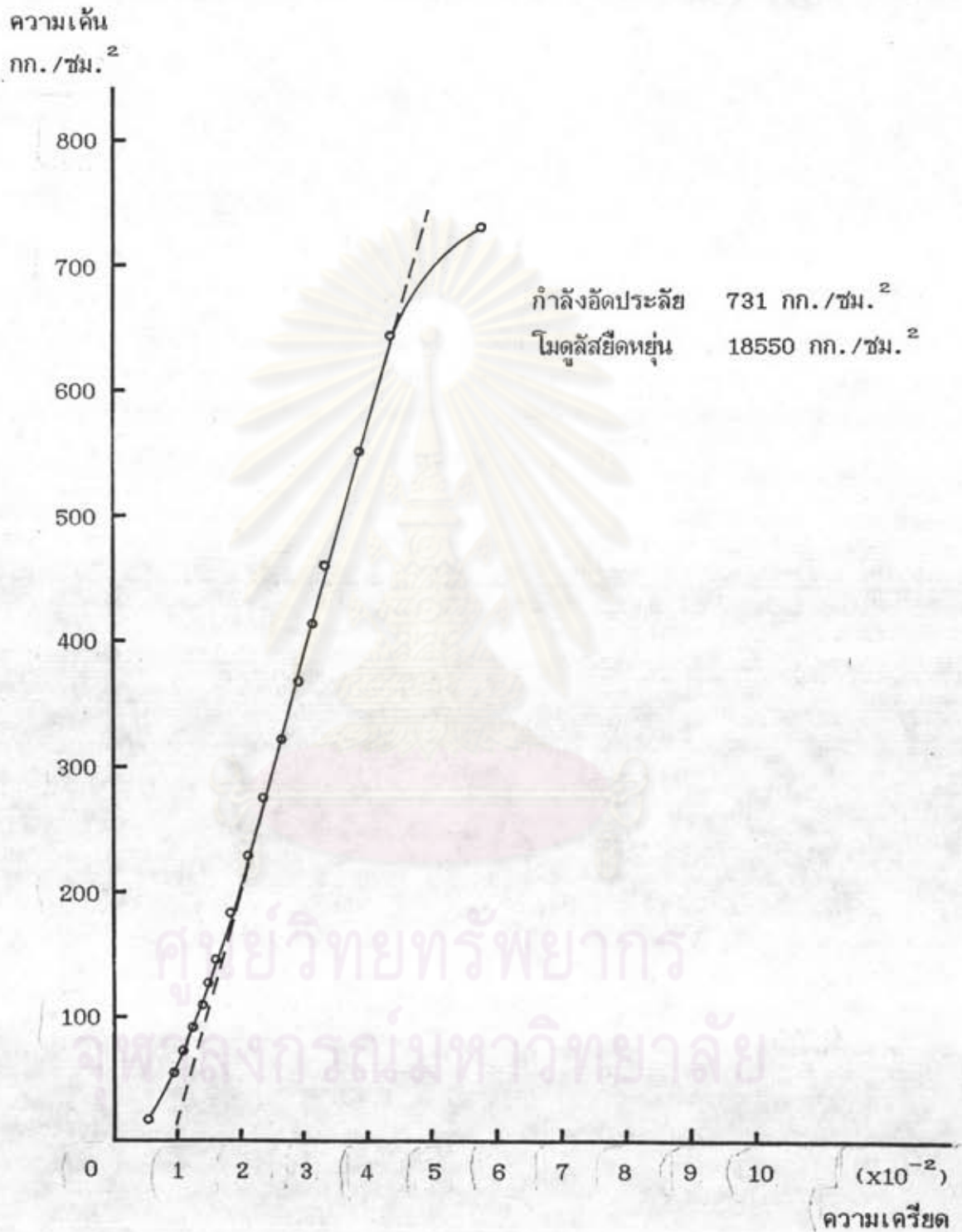


รูปที่ 3.8 การหัดตัวของอีป็อกซี่

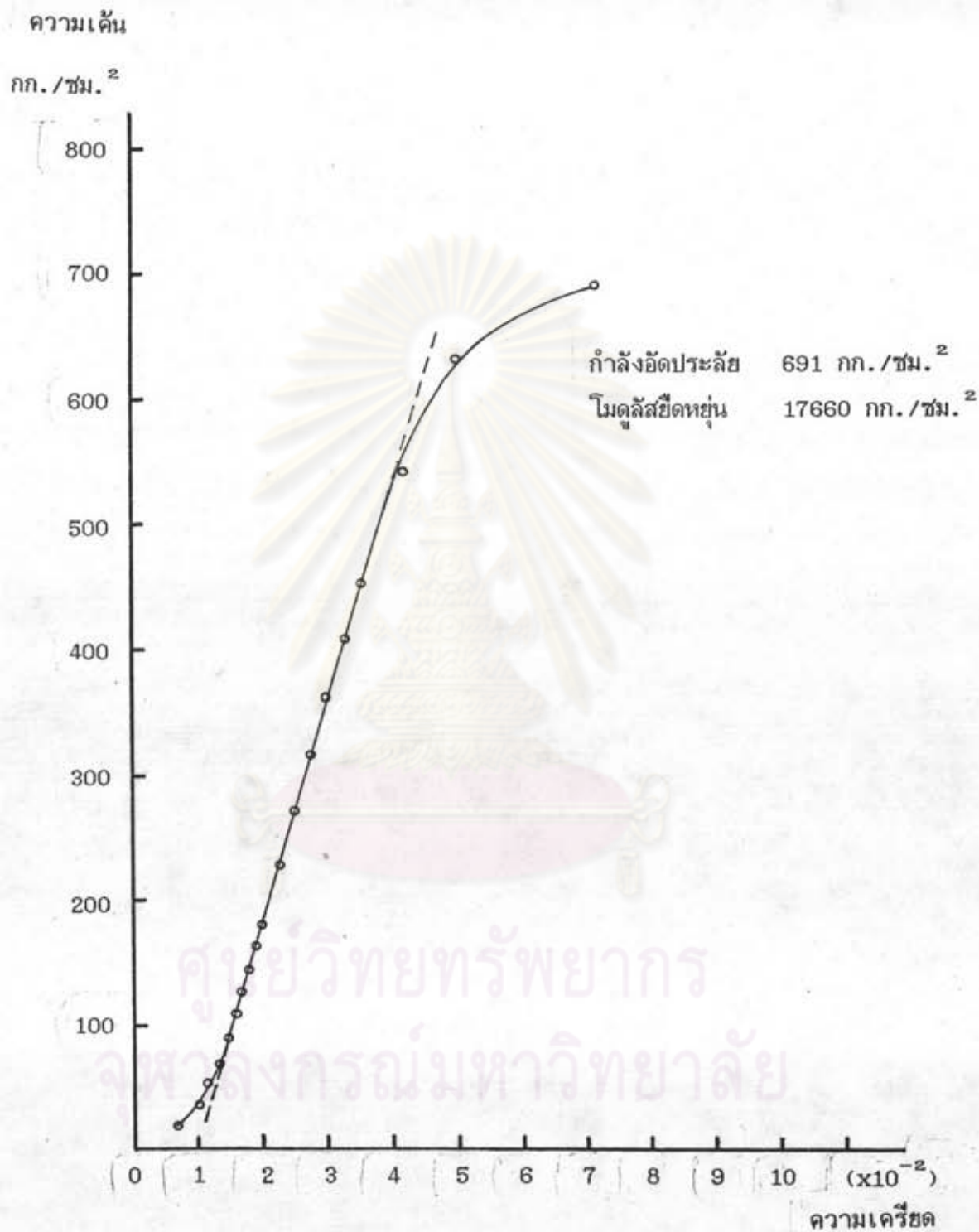
ศูนย์วิทยทรัพยากร
จุฬาลงกรณ์มหาวิทยาลัย



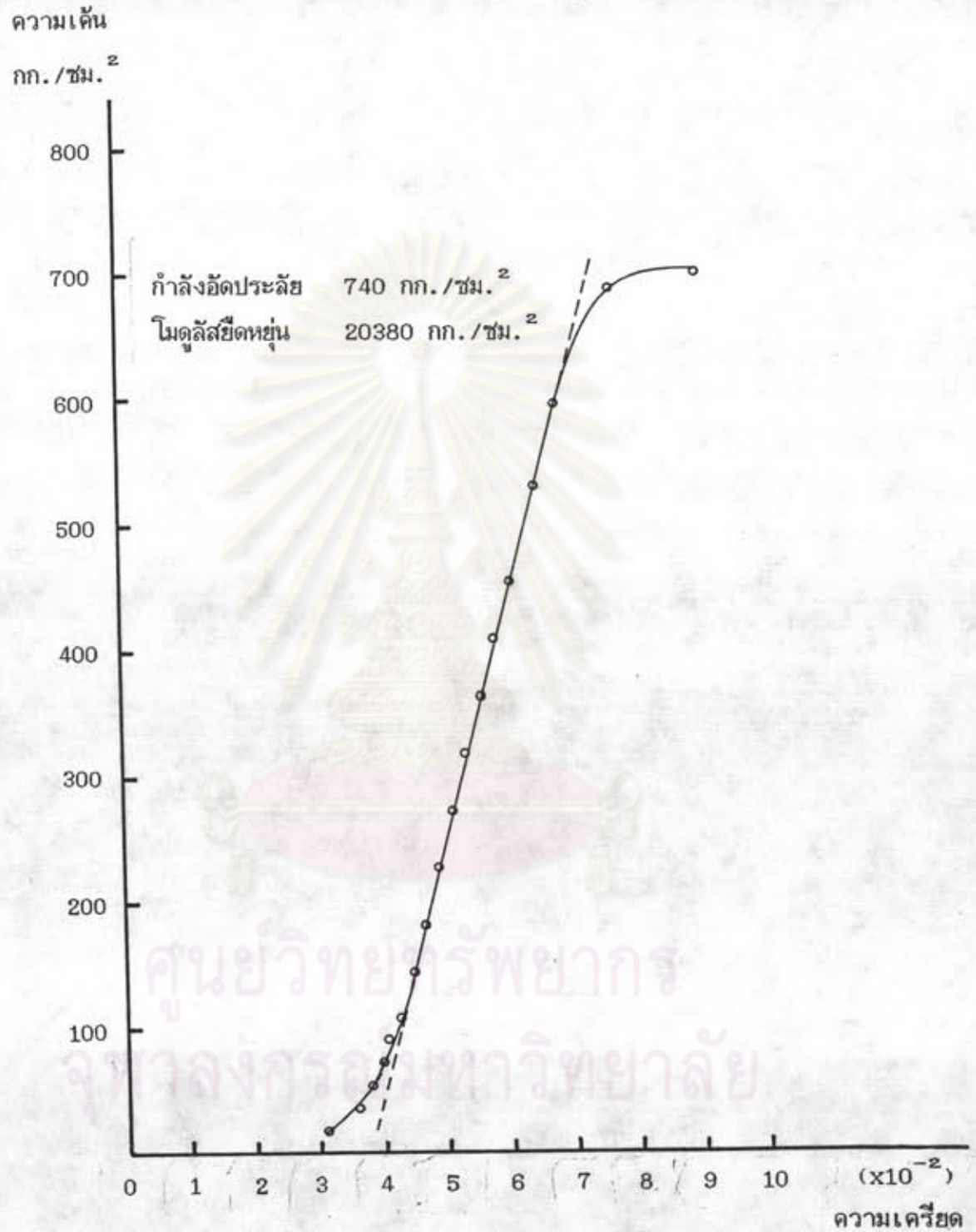
รูปที่ 3.9 การขยายตัวตามอุณหภูมิของอีพ็อกซี



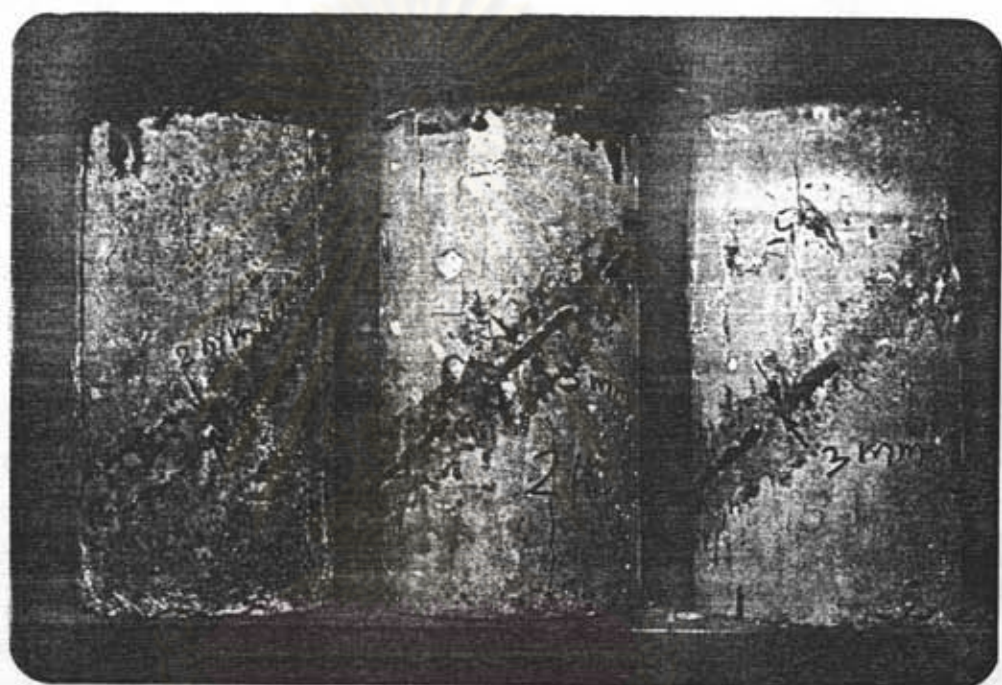
รูปที่ 3.10 ก. ความสัมพันธ์ระหว่างความเค้นและความเครียดของอีพ็อกซี



รูปที่ 3.10 ข. ความสัมพันธ์ระหว่างความชื้นและความเค็ยสดของอีป็อกซี่

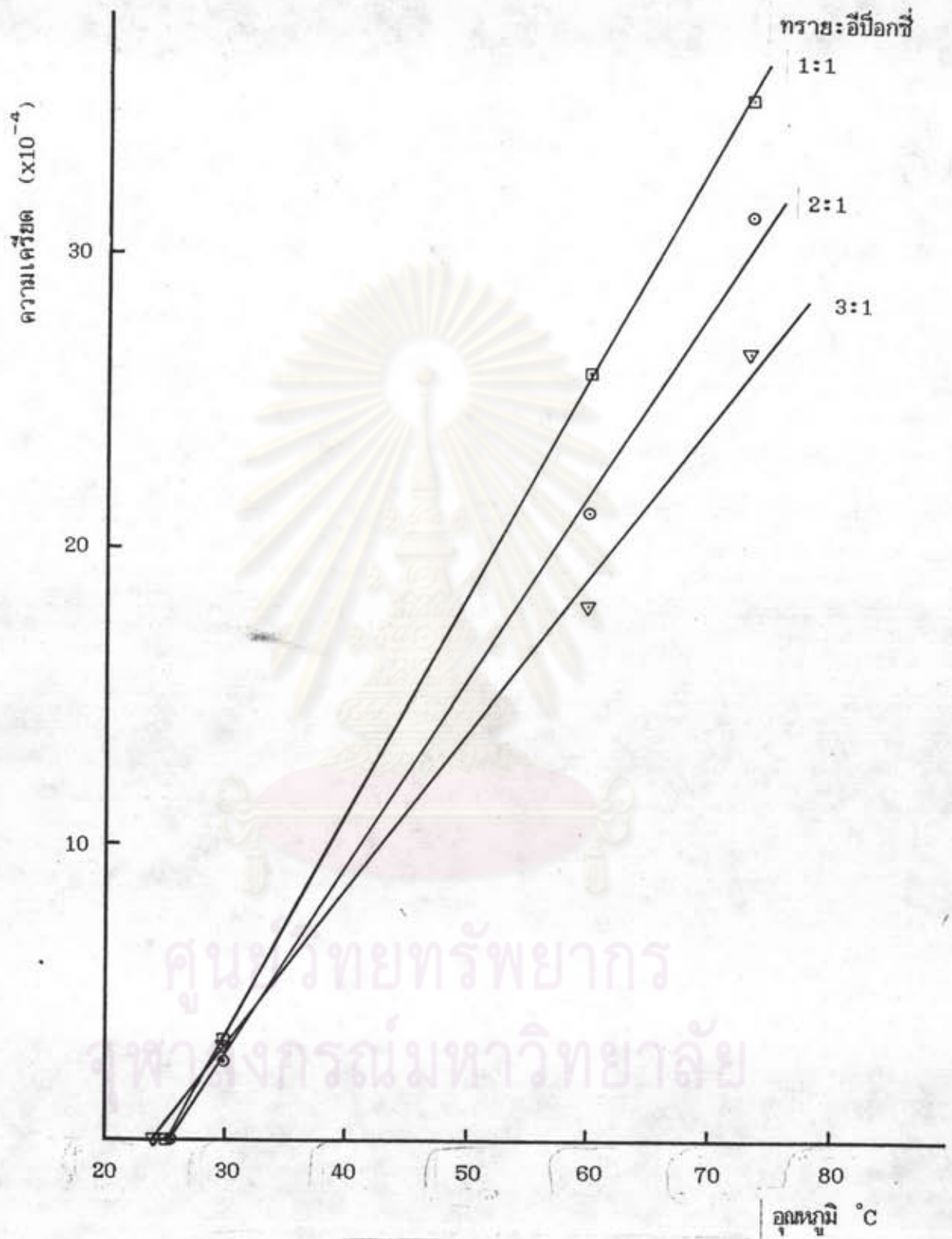


รูปที่ 3.10 ค. ความสัมพันธ์ระหว่างความเค้นและความเครียดของอิฐบล็อกซี

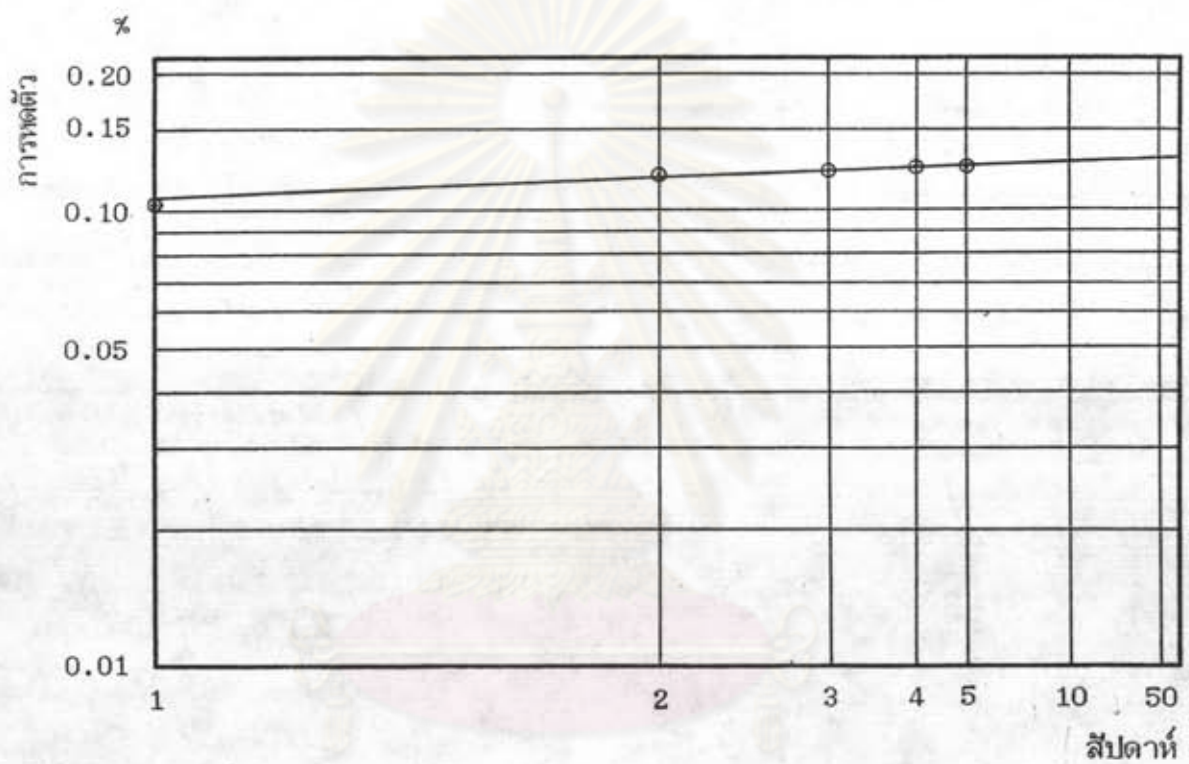


รูปที่ 3.11 ลักษณะการวิบัติของคอนกรีตทรงกระบอกที่ประสานด้วยฮีป็อกซี่

ศูนย์วิทยทรัพยากร
จุฬาลงกรณ์มหาวิทยาลัย

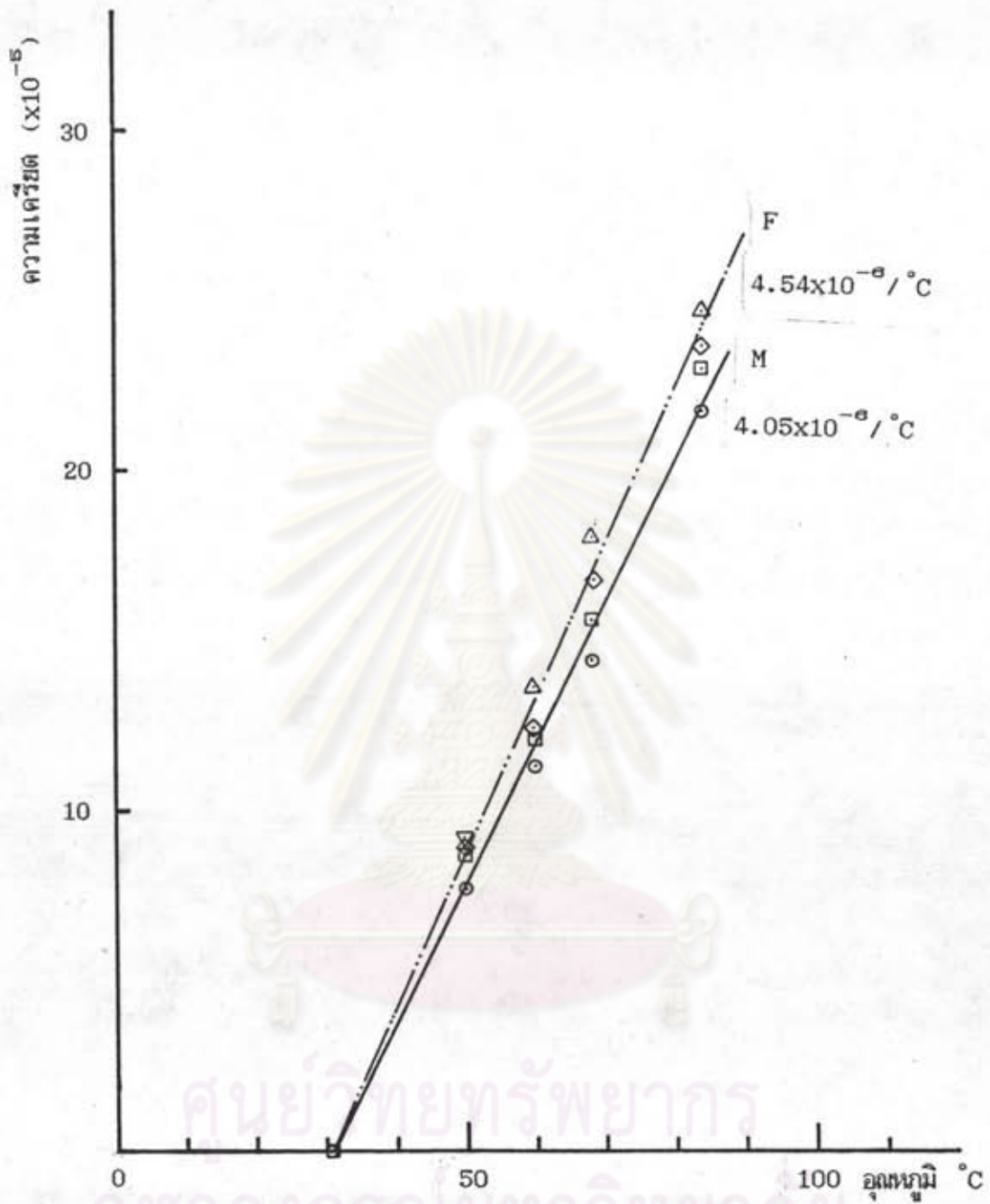


รูปที่ 3.12 การขยายตัวตามอุณหภูมิของอีป็อกซีโมรตา

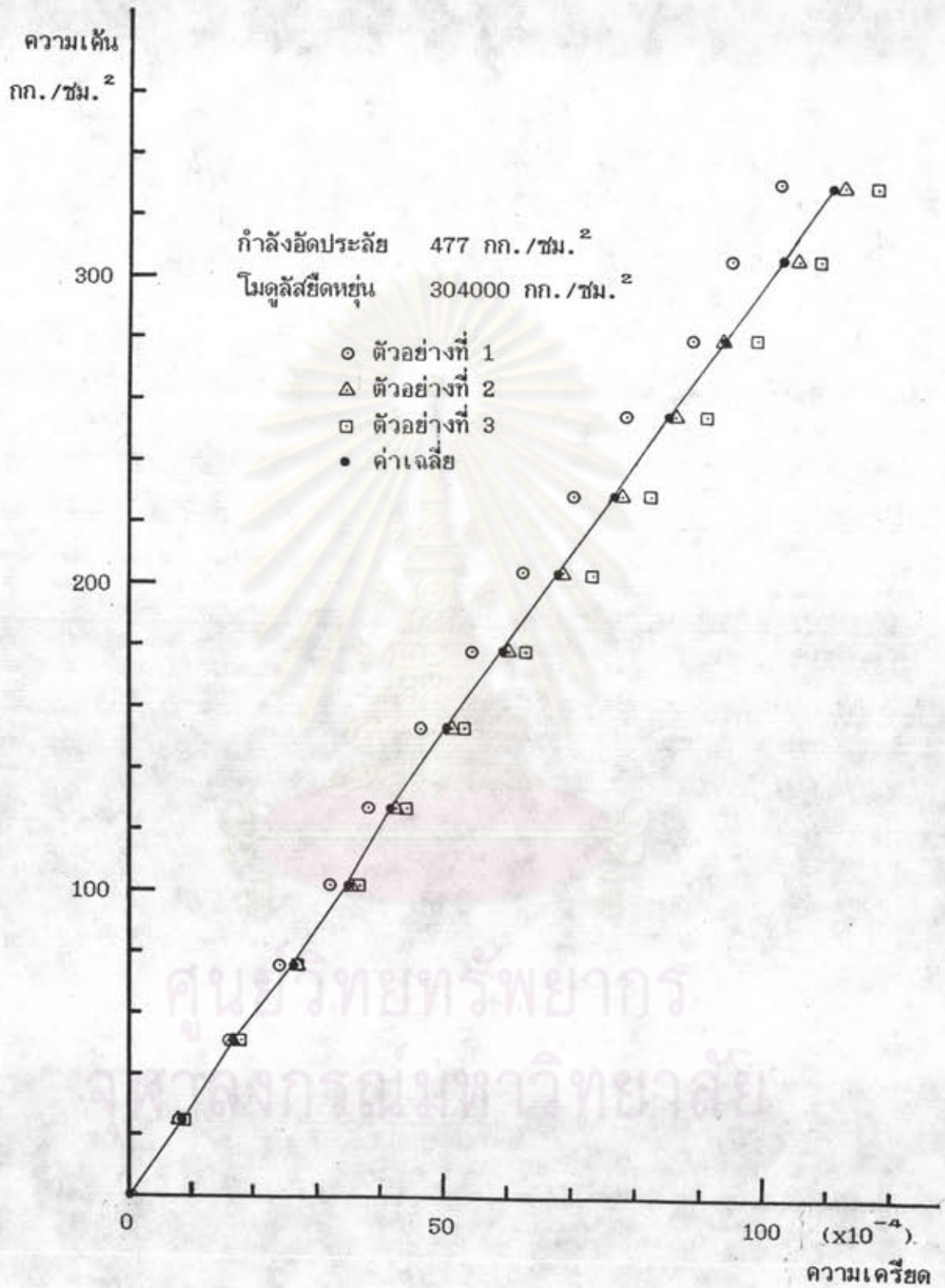


รูปที่ 3.13 การหดตัวจากการเสียน้ำของมอร์ต้าที่ไม่หดตัว
ประเภทลดน้ำเพิ่มการไหลสั้น

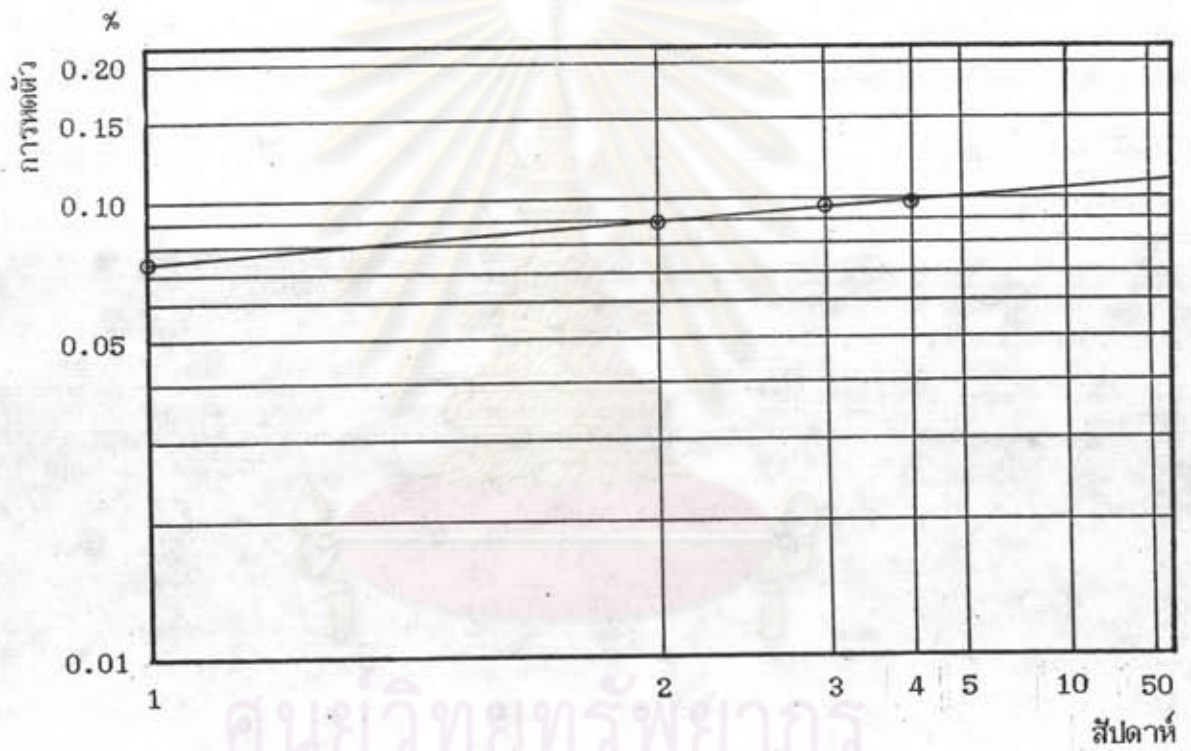
จุฬาลงกรณ์มหาวิทยาลัย



รูปที่ 3.14 การขยายตัวตามอุณหภูมิของมอร์ต้าที่ไม่หดตัว
ประเภทลดน้ำเพิ่มการไหลลื่น (M) และ ประเภทขยายตัว (F)

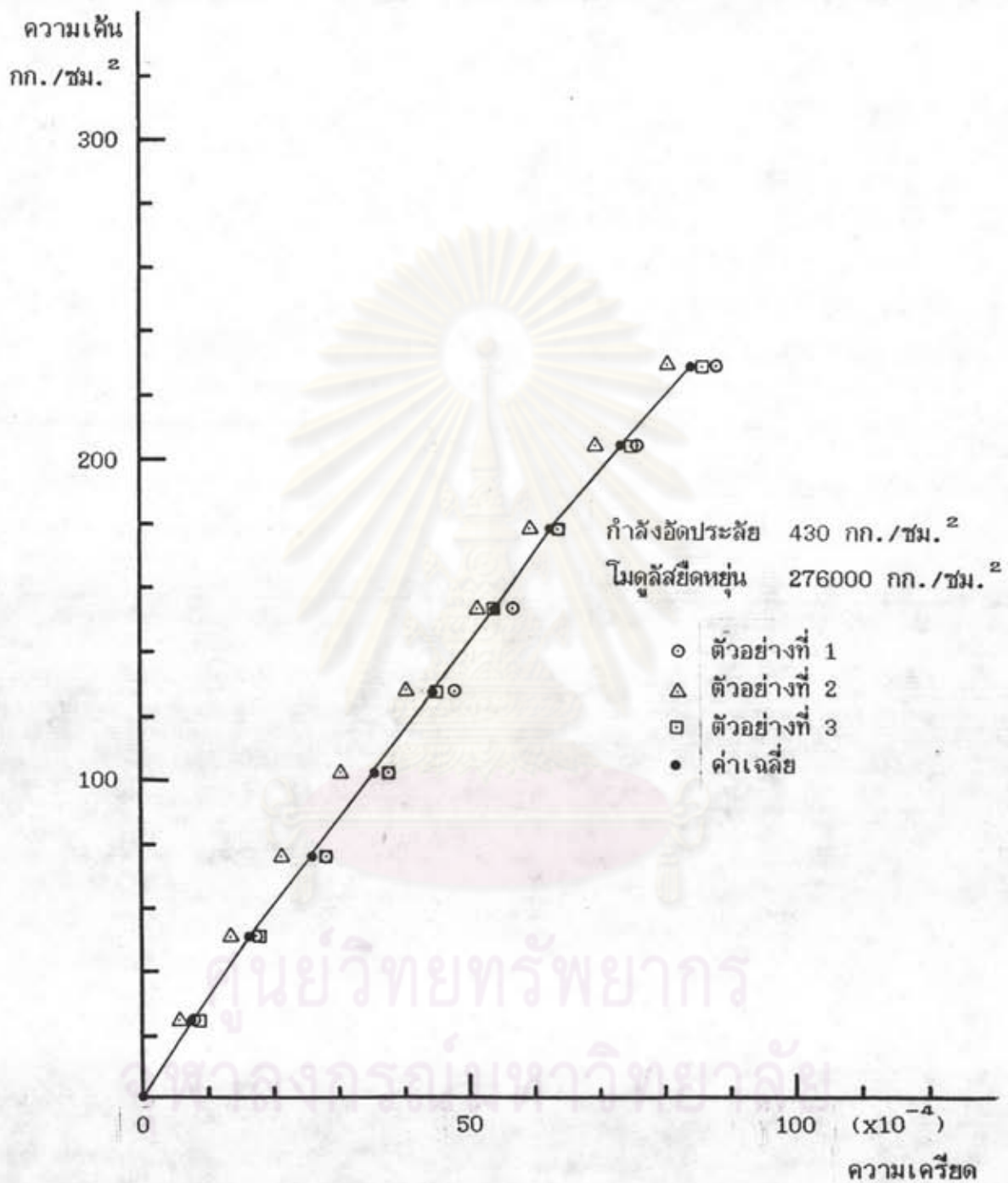


รูปที่ 3.15 ความสัมพันธ์ระหว่างความเค้นและความเครียด
มอร์ดำที่ไม่หดตัวประเภทลดน้ำเพิ่มการไหลลื่น

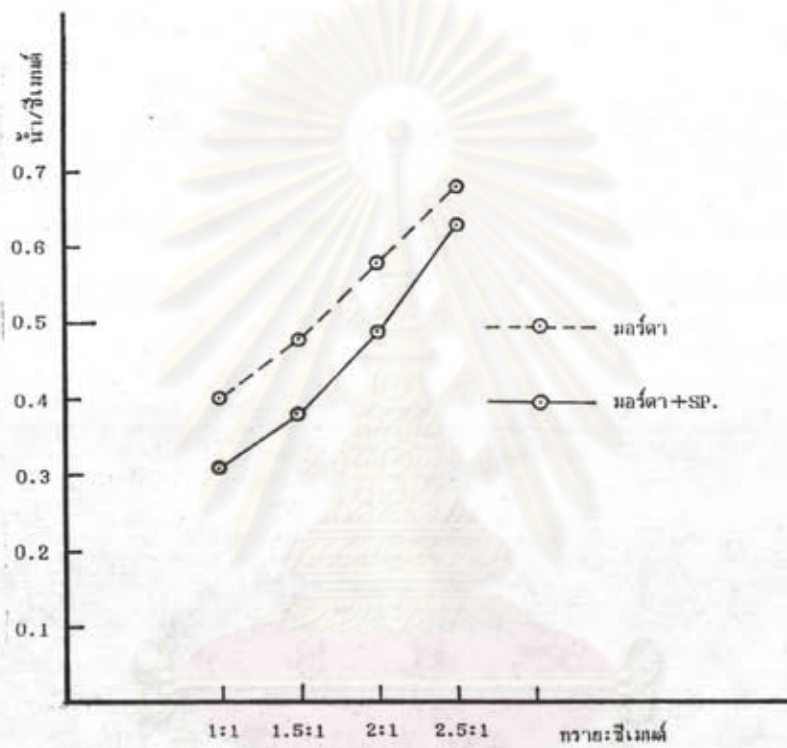


ศูนย์วิทยทรัพยากร
จุฬาลงกรณ์มหาวิทยาลัย

รูปที่ 3.16 การหลุดจากการเสียน้ำของมอร์ต้าที่ไม่หลุด
ประเภทขยายตัว

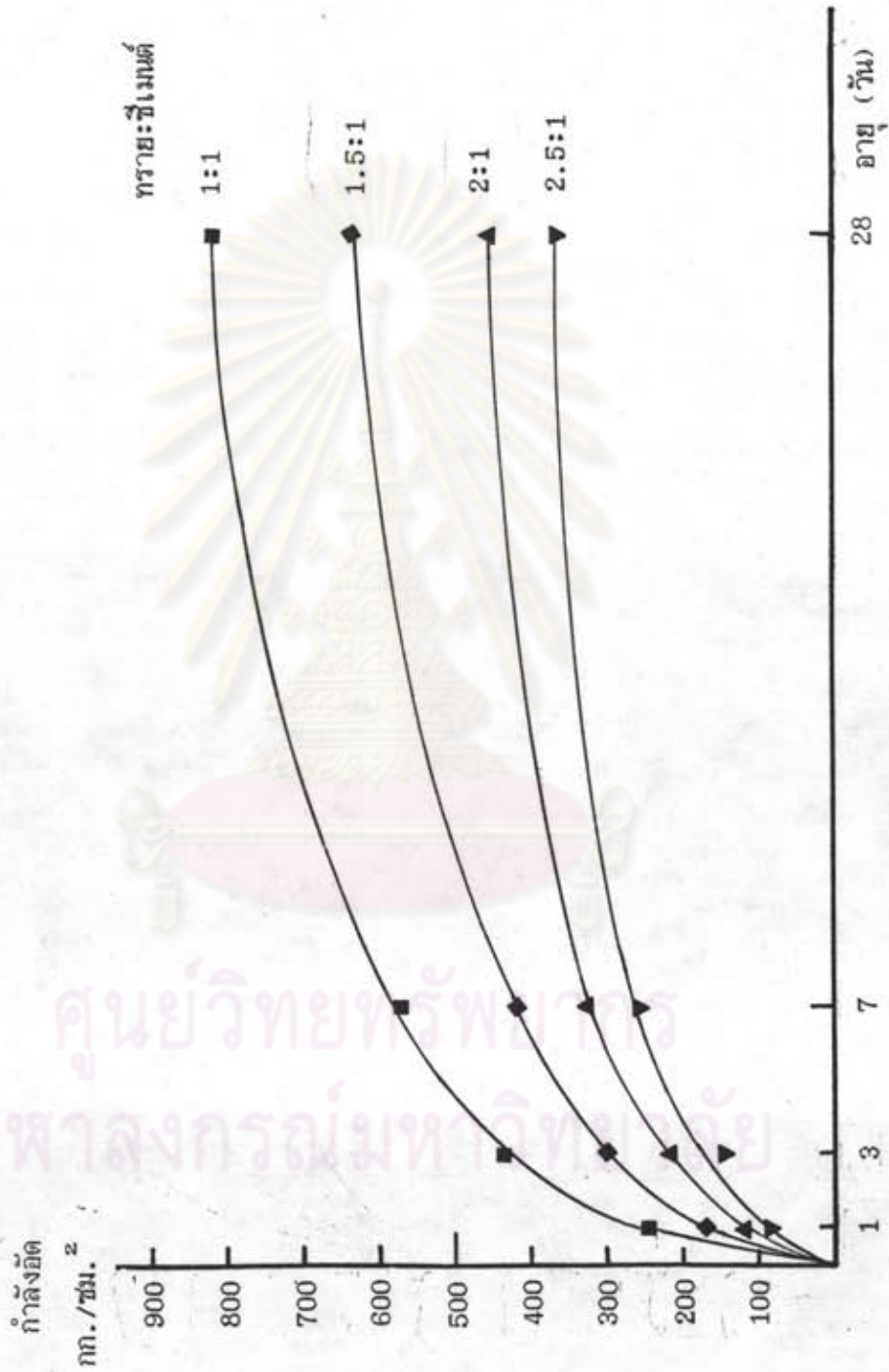


รูปที่ 3.17 ความสัมพันธ์ระหว่างความเต็มและความเครียด
มอร์ดำที่ไม่หดตัวประเภทขยายตัว



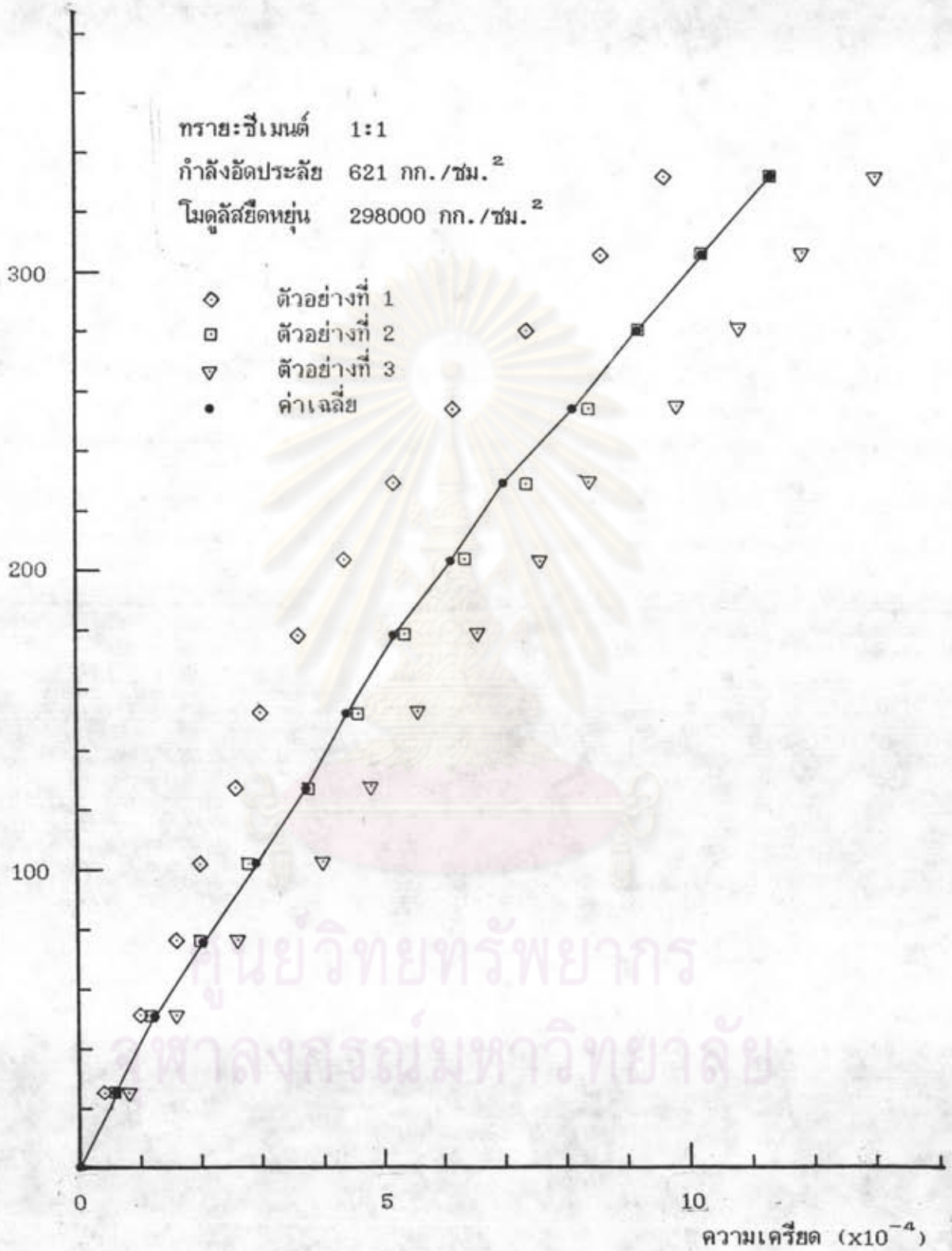
รูปที่ 3.18 อัตราส่วนน้ำต่อซีเมนต์ของมอร์ตาร์สำหรับการปะลาบ

ศูนย์วิทยทรัพยากร
จุฬาลงกรณ์มหาวิทยาลัย

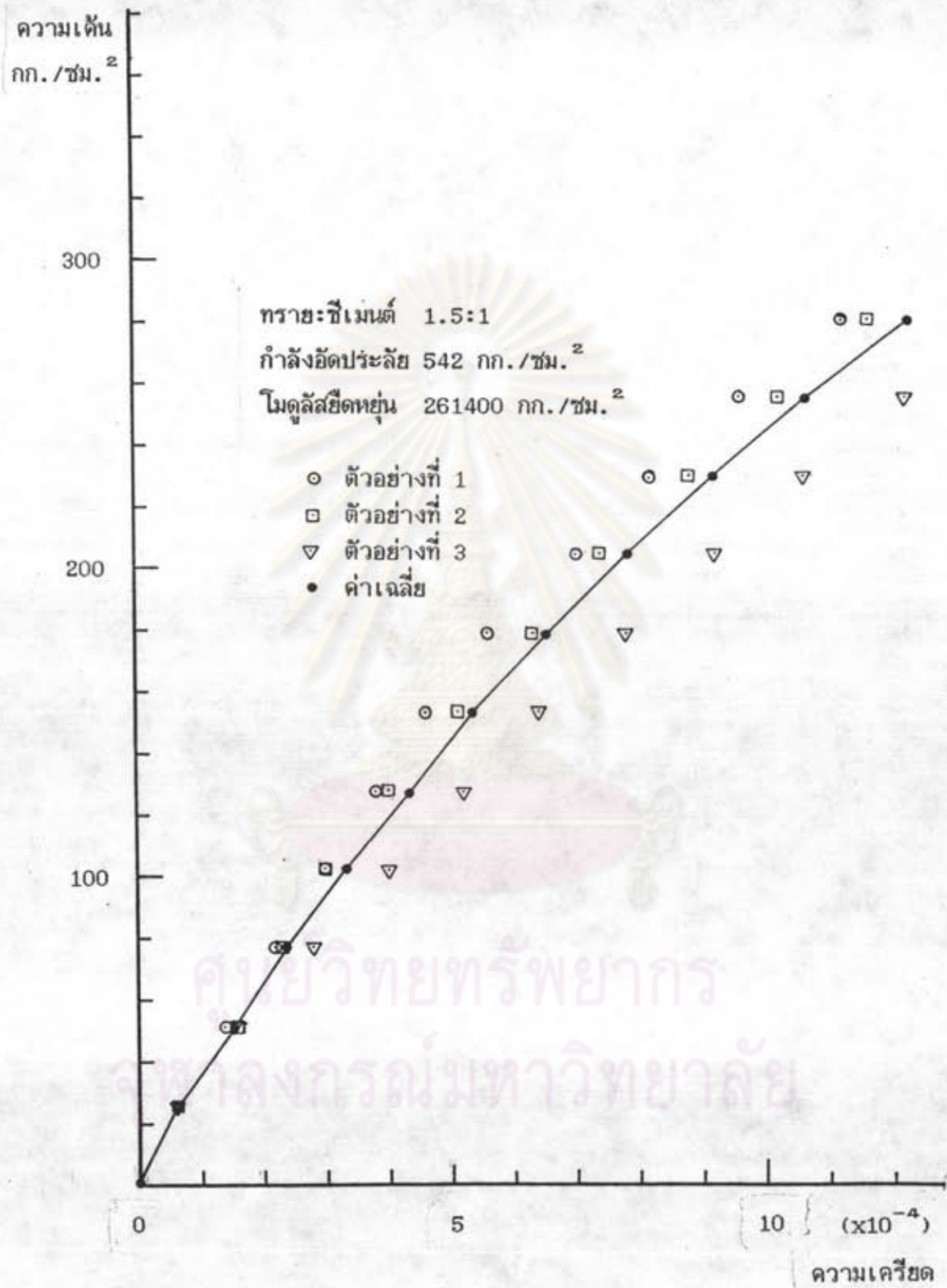


รูปที่ 3.19 ค่าของแคลเซียมของเนื้อเยื่อกระดูกสำหรับอัตราส่วนต่าง ๆ

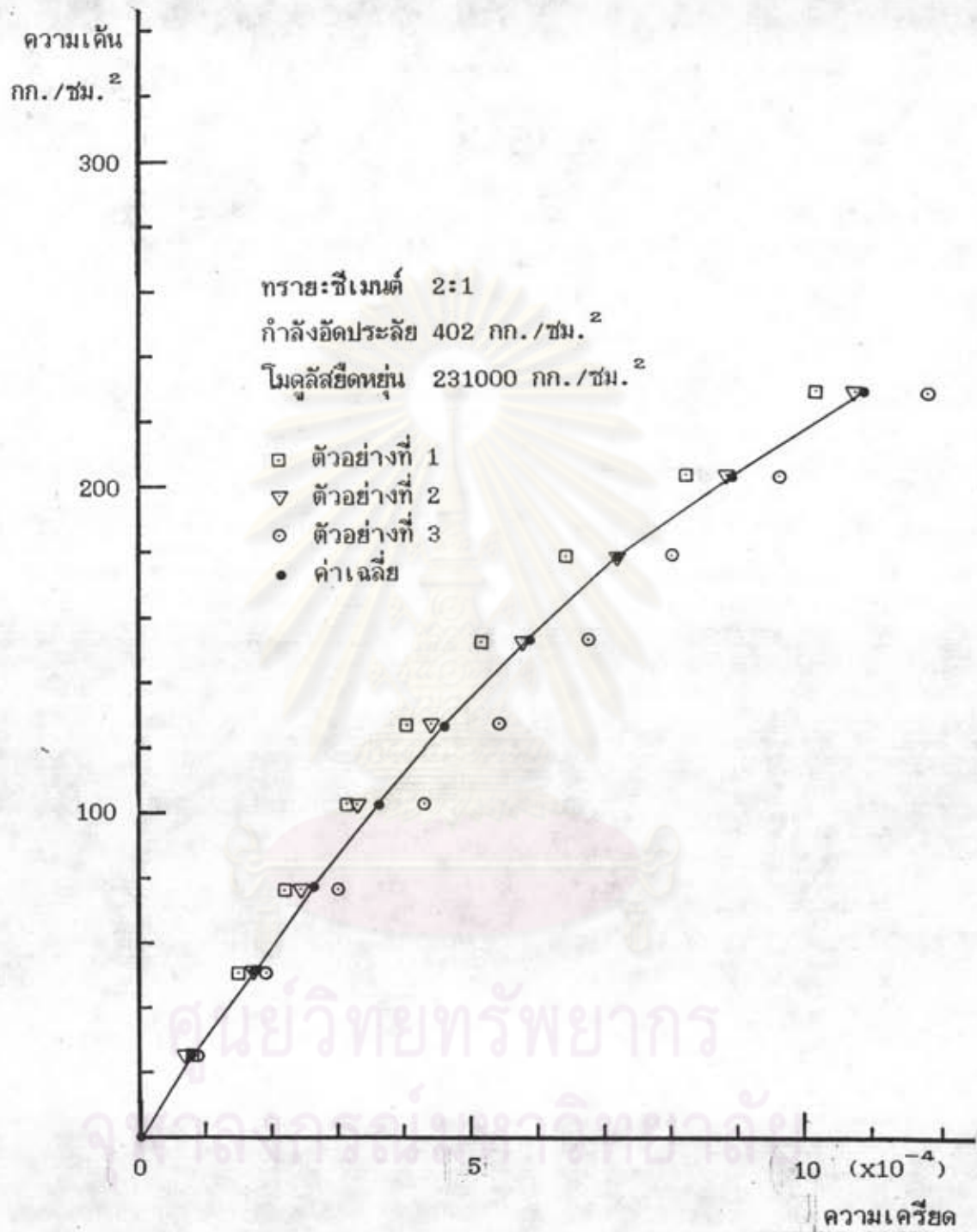
ศูนย์วิทยุทันตกรรม
จุฬาลงกรณ์มหาวิทยาลัย



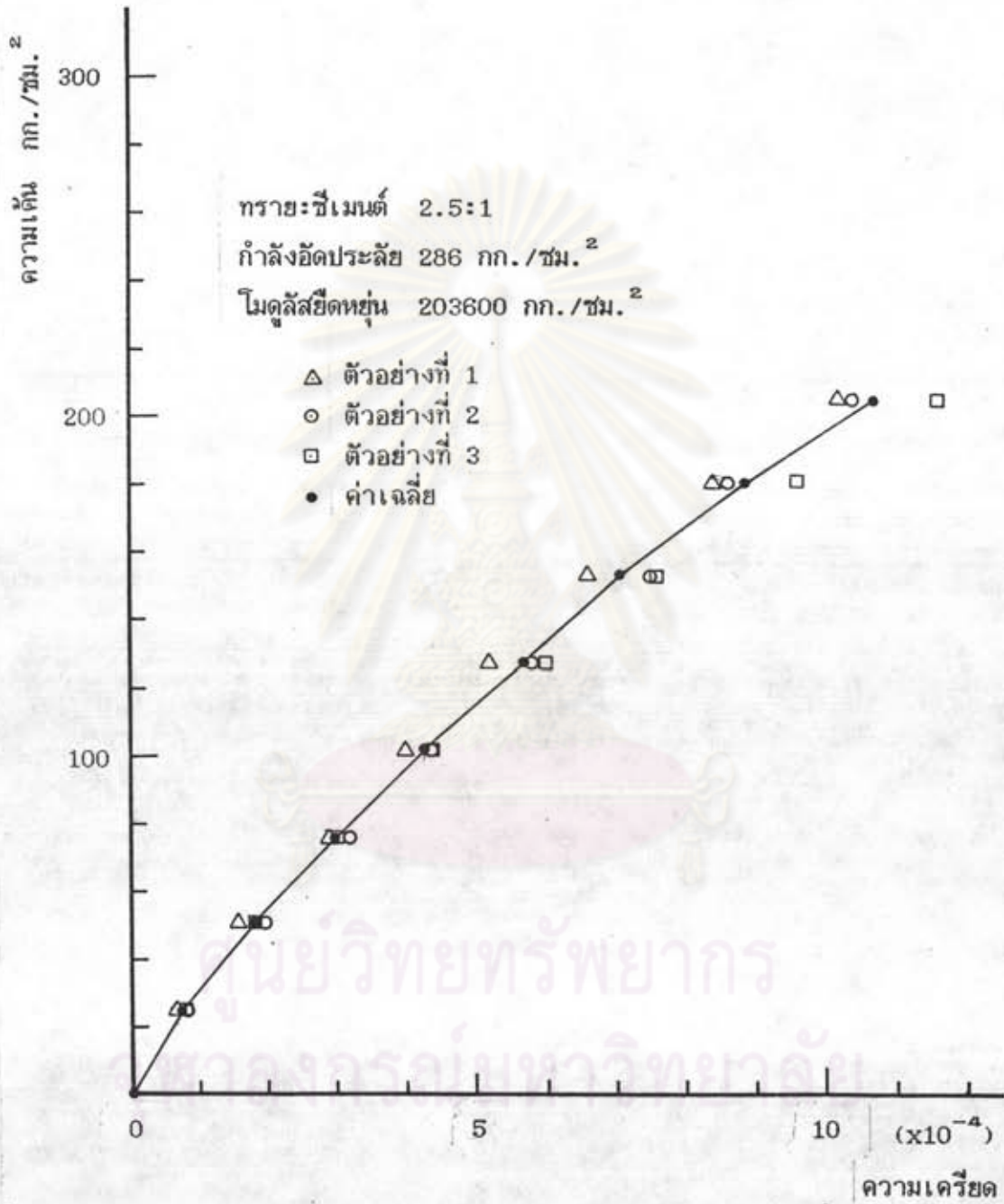
รูปที่ 3.20 ความสัมพันธ์ระหว่างความเค้นและความเครียดของมอร์ต้าสำหรับการปะฉาบ



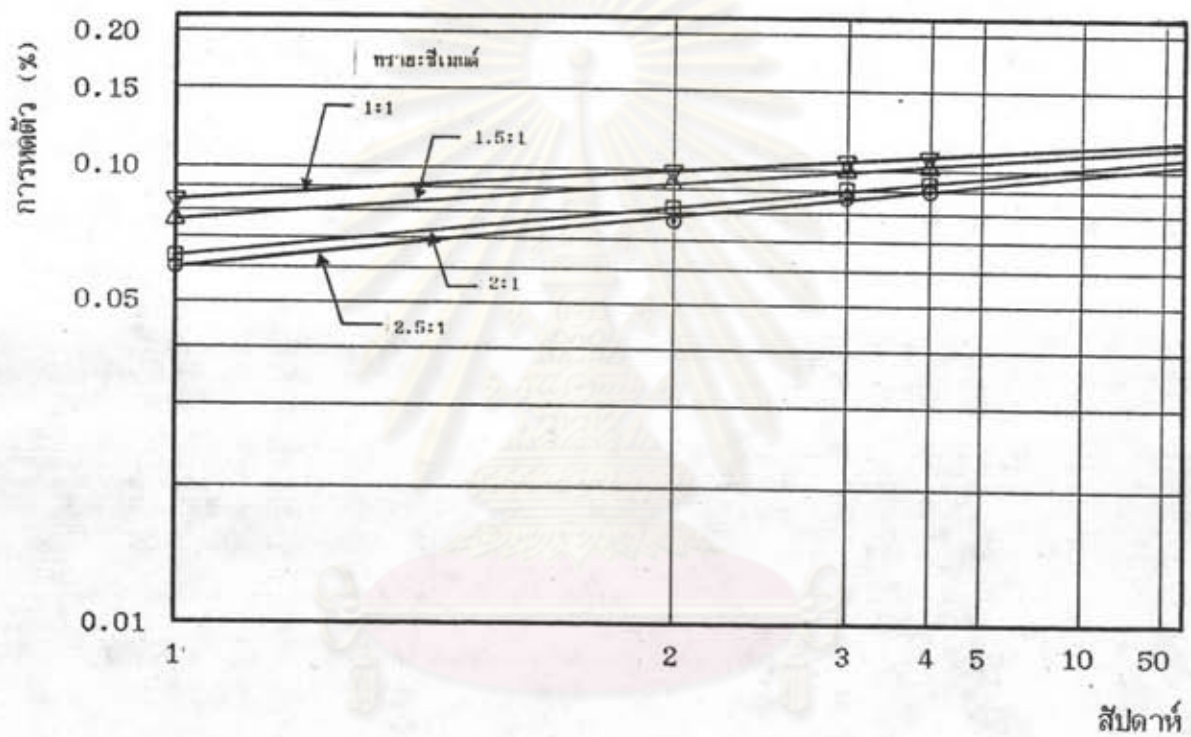
รูปที่ 3.21 ความสัมพันธ์ระหว่างความเค้นและความเครียดของมอร์ต้าสำหรับการปะฉาบ



รูปที่ 3.22 ความสัมพันธ์ระหว่างความเค้นและความเครียดของมอร์ต้าสำหรับการปะฉาบ

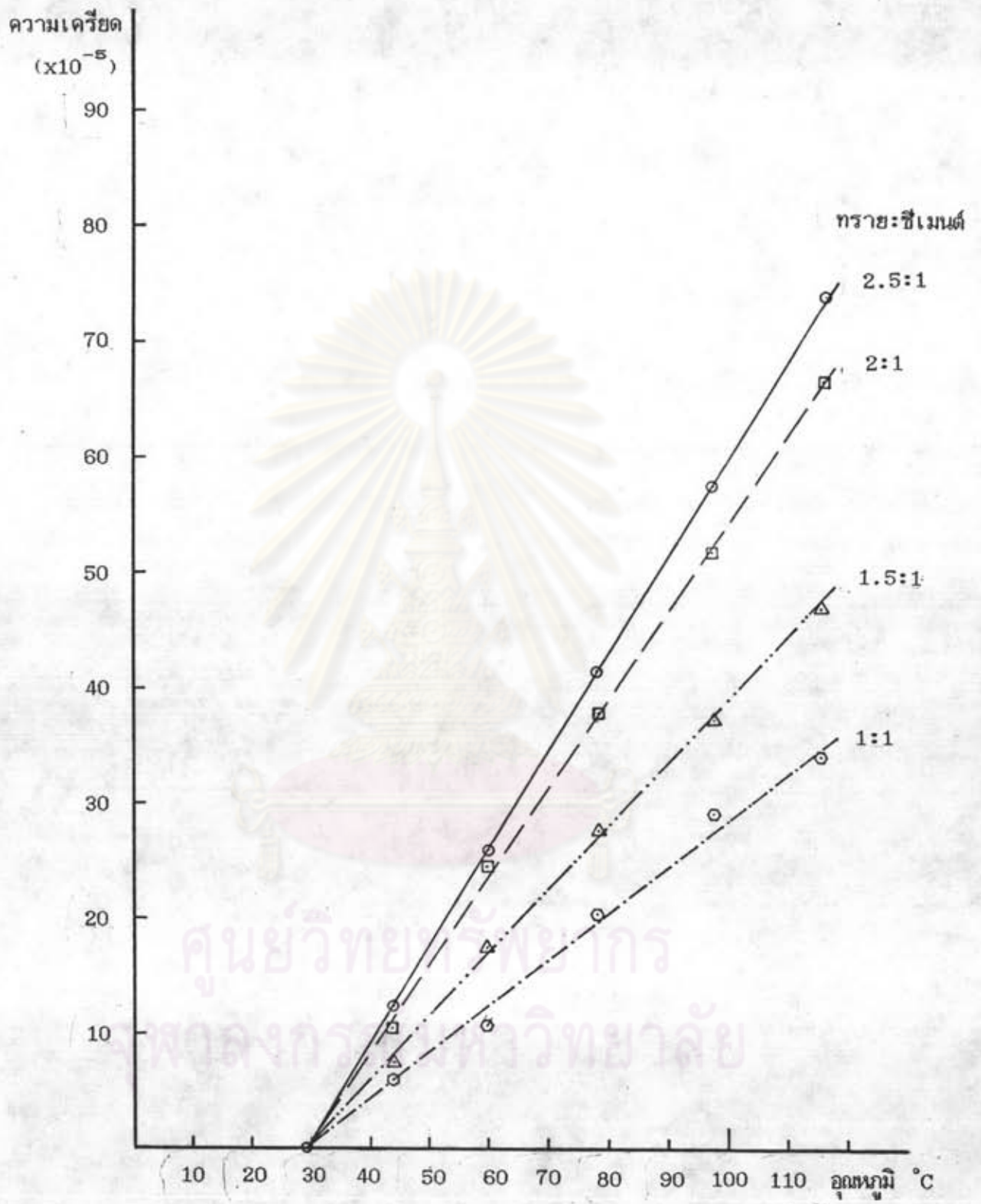


รูปที่ 3.23 ความสัมพันธ์ระหว่างความเค็มและความเคียดของมอร์ต้าสำหรับการปะฉาบ

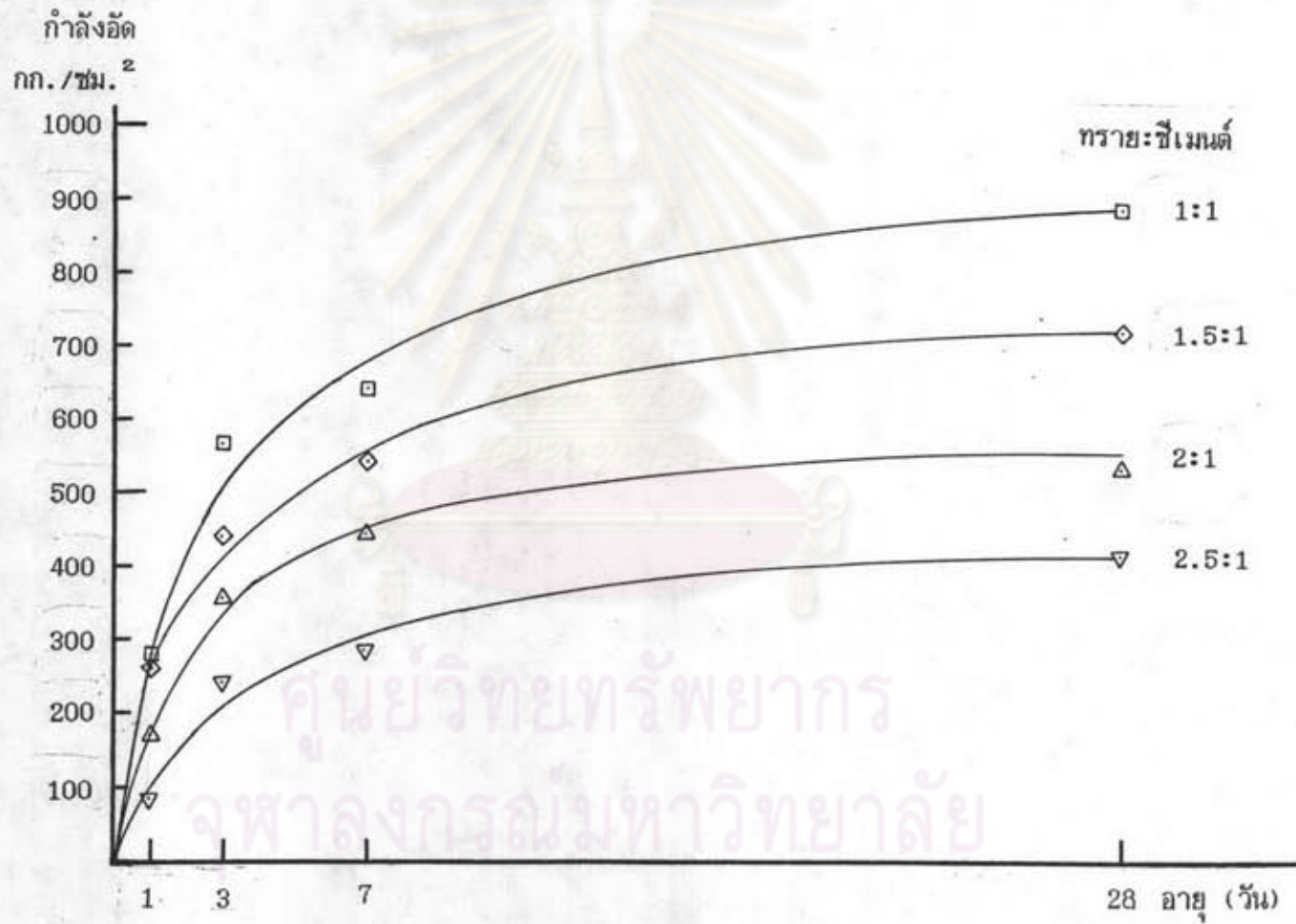


รูปที่ 3.24 การหดตัวจากการเสียน้ำของมอร์ต้าสำหรับการปะฉาบ

จุฬาลงกรณ์มหาวิทยาลัย

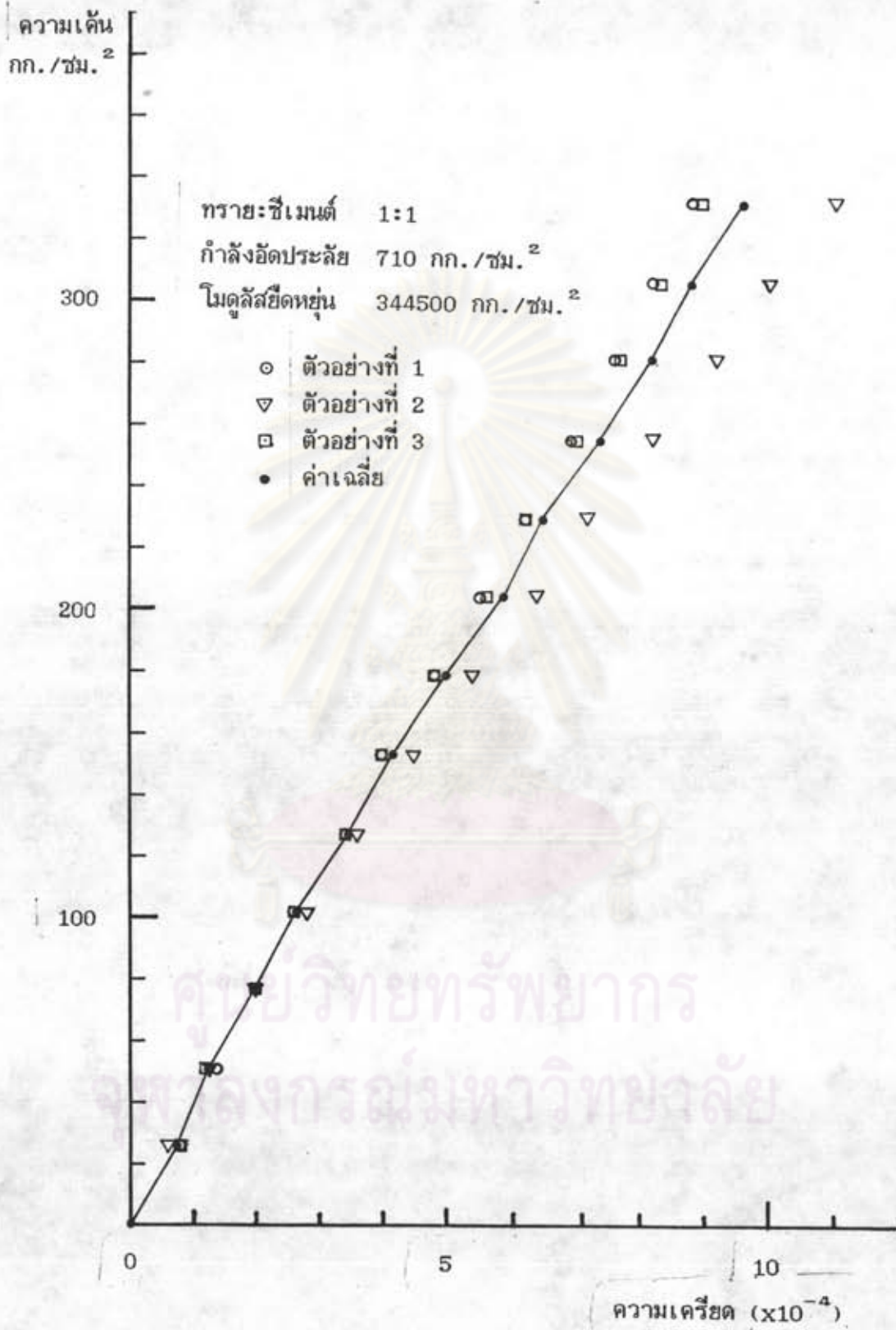


รูปที่ 3.25 การขยายตัวตามอุณหภูมิของมอร์ต้าสำหรับการปะฉาบ

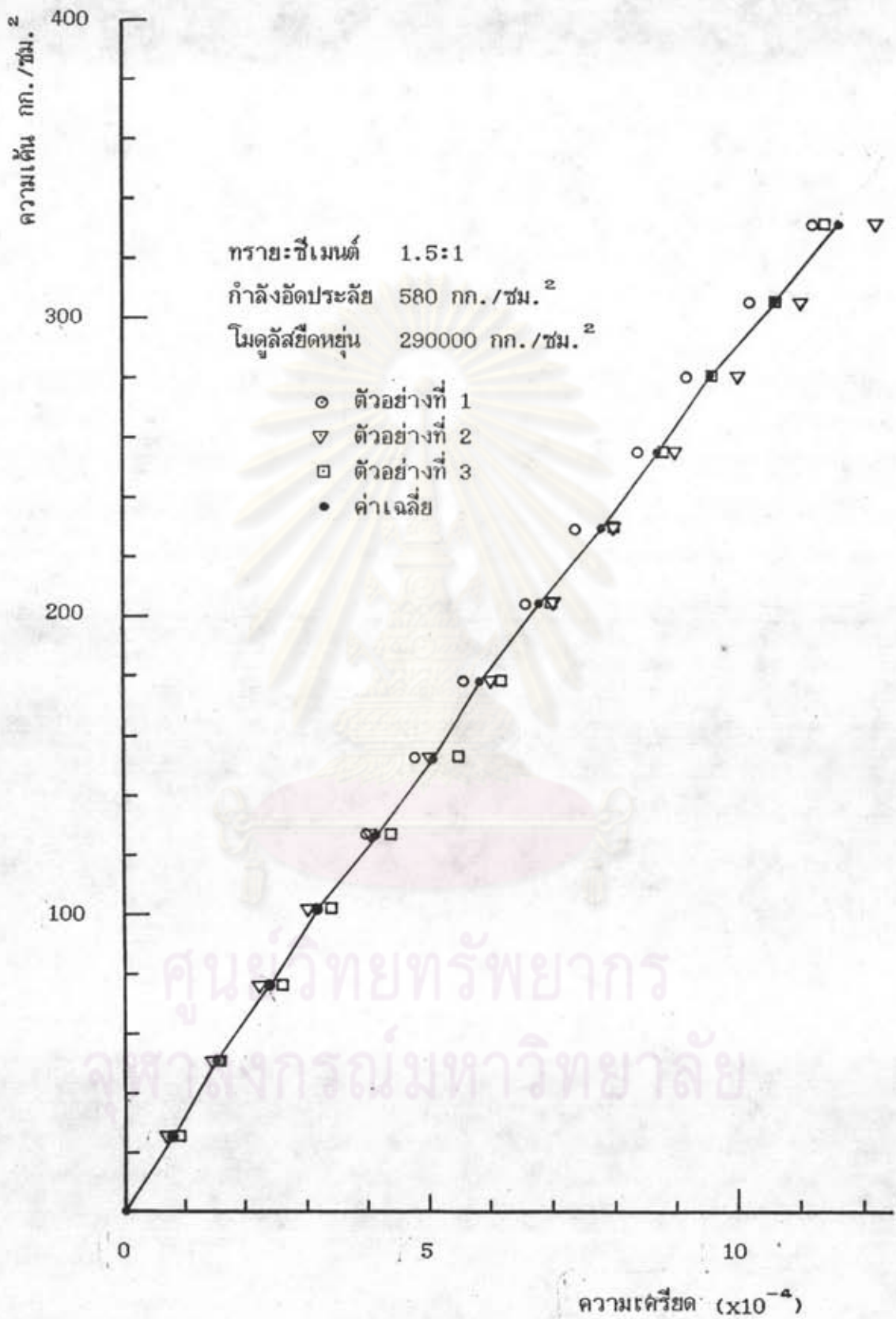


ศูนย์วิทยทรัพยากร
 จพาลงกรณ์มหาวิทาลัย

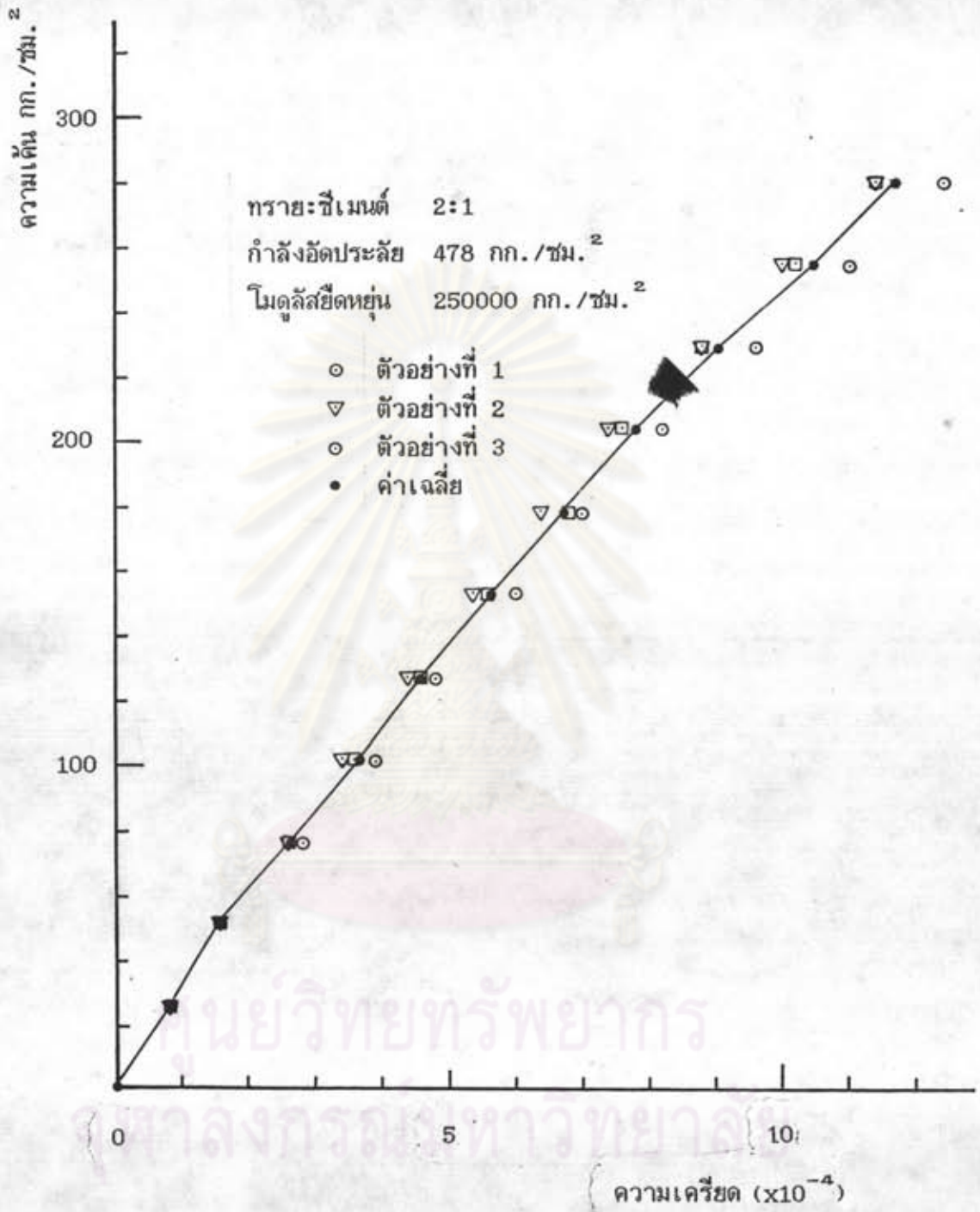
รูปที่ 3.26 กำลังอัดของมอร์ดีต้า+SP. สำหรับการปะฉาบ



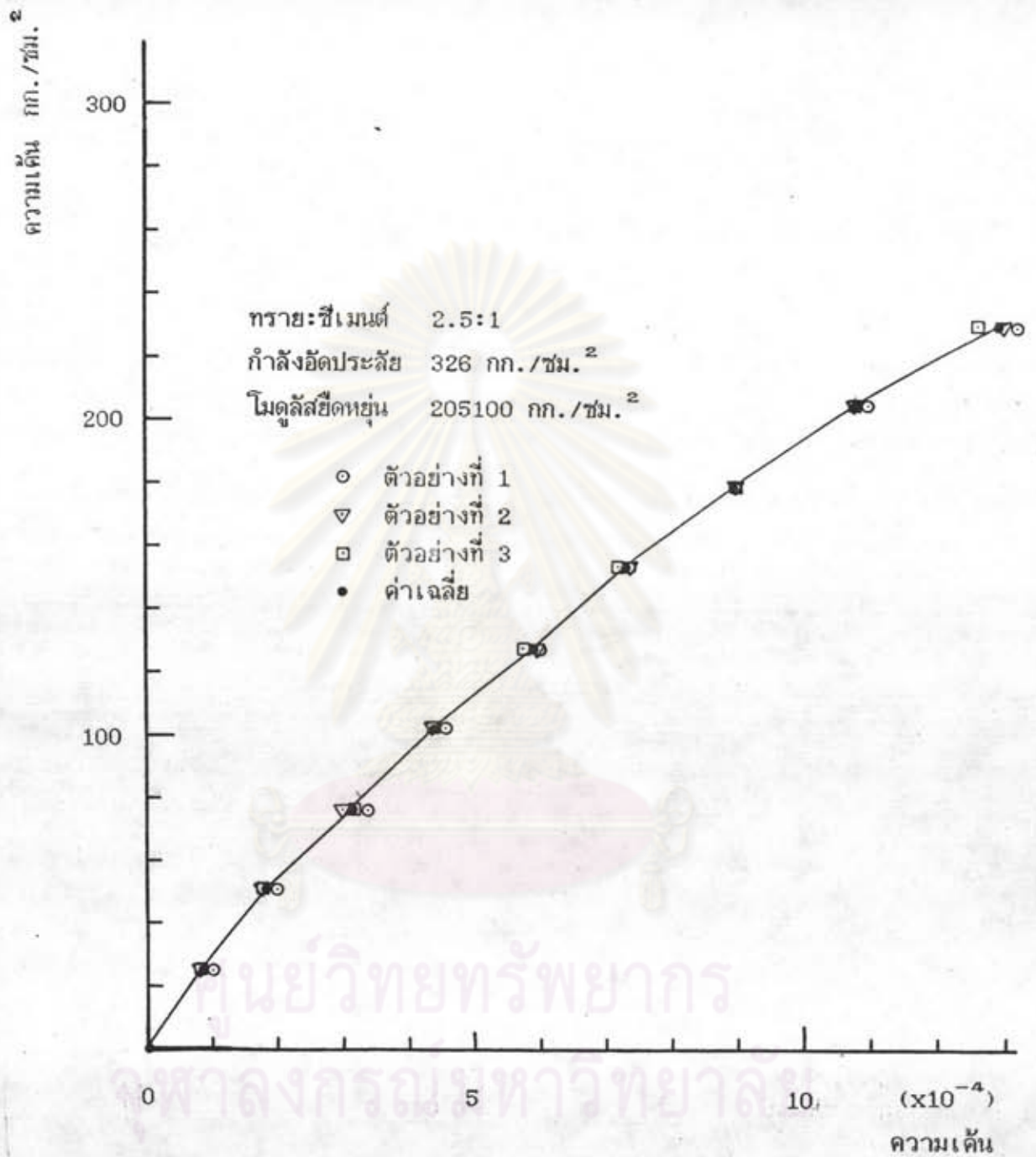
รูปที่ 3.27 ความสัมพันธ์ระหว่างความเค้นและความเครียดของมอร์ต้า+SP. สำหรับการปะฉาบ



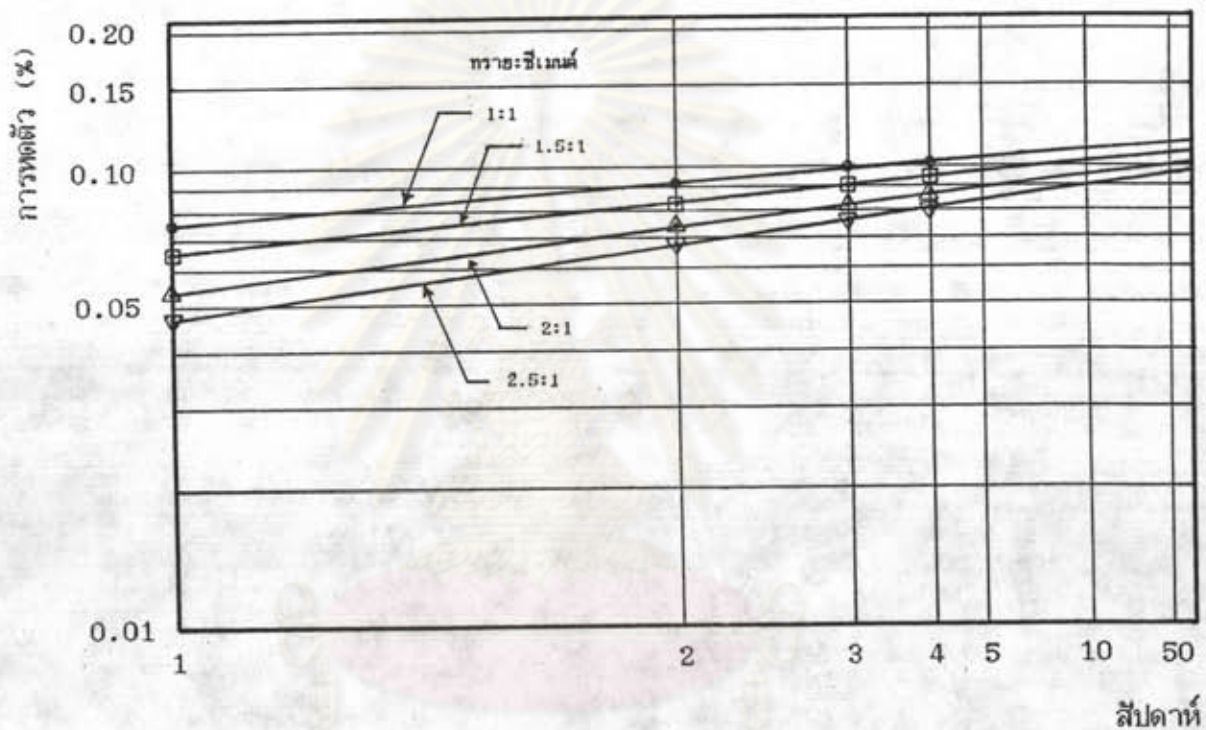
รูปที่ 3.28 ความสัมพันธ์ระหว่างความเต็มและความเค็ยัดของมอร์ต้า+SP. สำหรับการปะจาบ



รูปที่ 3.29 ความสัมพันธ์ระหว่างความเต็มและความเครียดของมอร์ต้า+SP. สำหรับการปะฉาบ

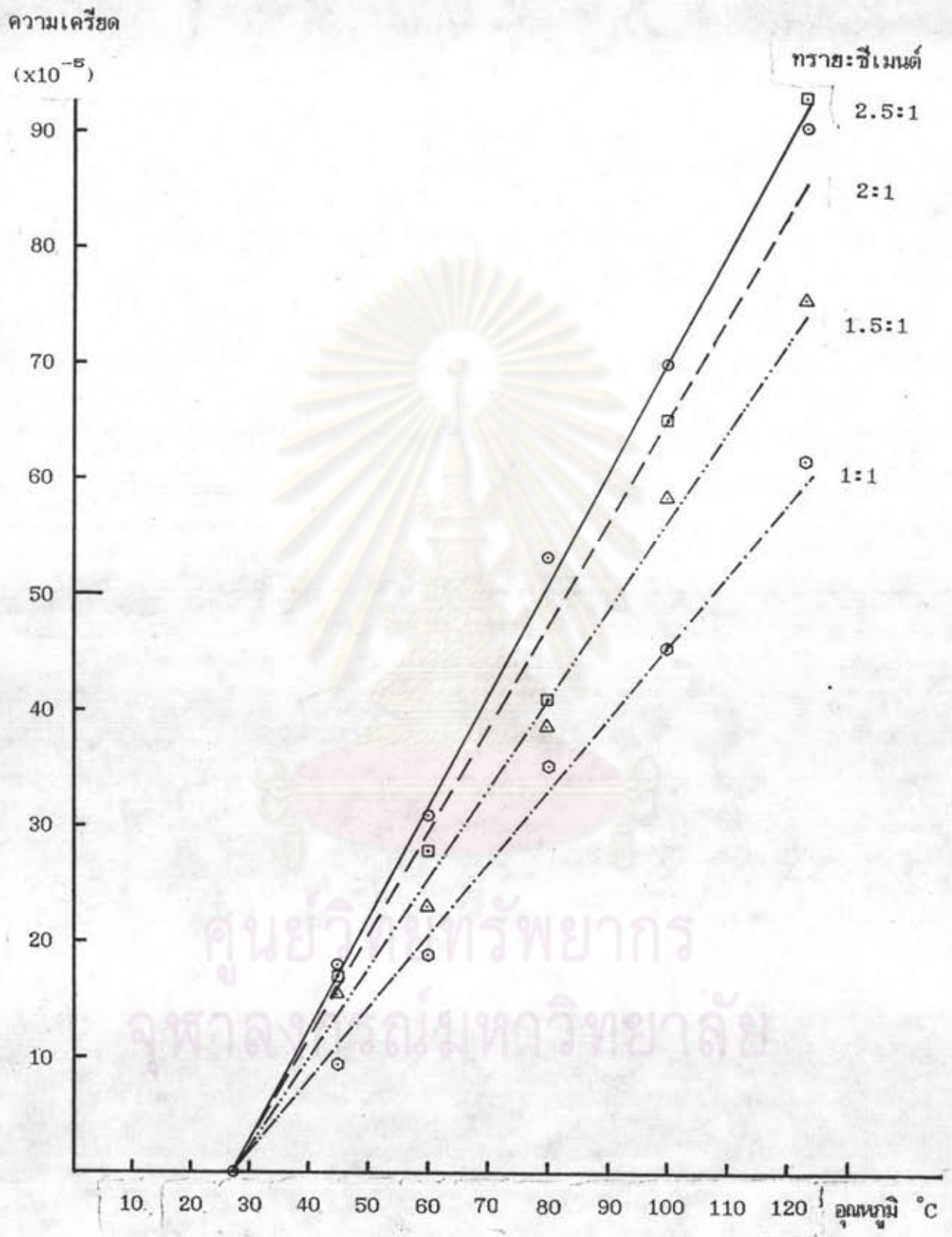


รูปที่ 3.30 ความสัมพันธ์ระหว่างความเค้นและความเครียดของมอร์ต้า+SP. สำหรับการปะจาบ



รูปที่ 3.31 การหดตัวจากการเสียน้ำของมอร์ต้า+SP. สำหรับการปะฉาบ

ศูนย์วิจัยเทคโนโลยีการ
 วิศวกรรมมหาวิทยาลัย

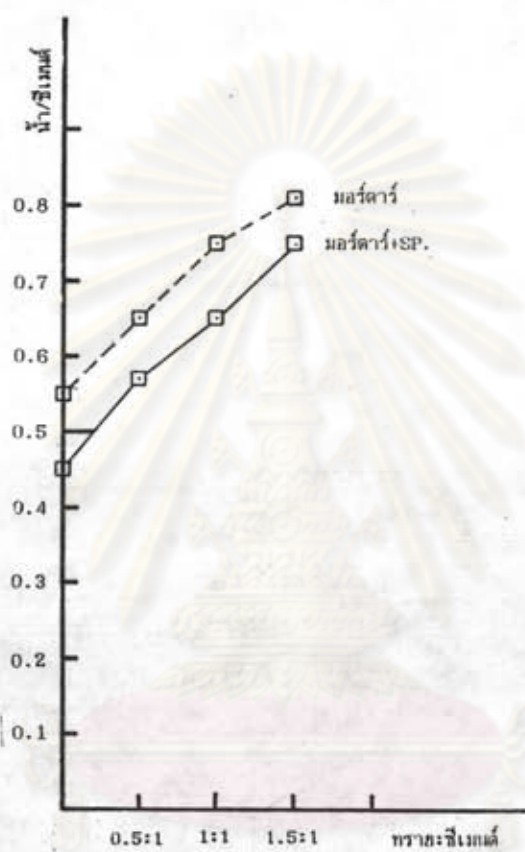


รูปที่ 3.32 การขยายตัวตามอุณหภูมิของมอร์ต้า+SP. สำหรับการปะฉาบ



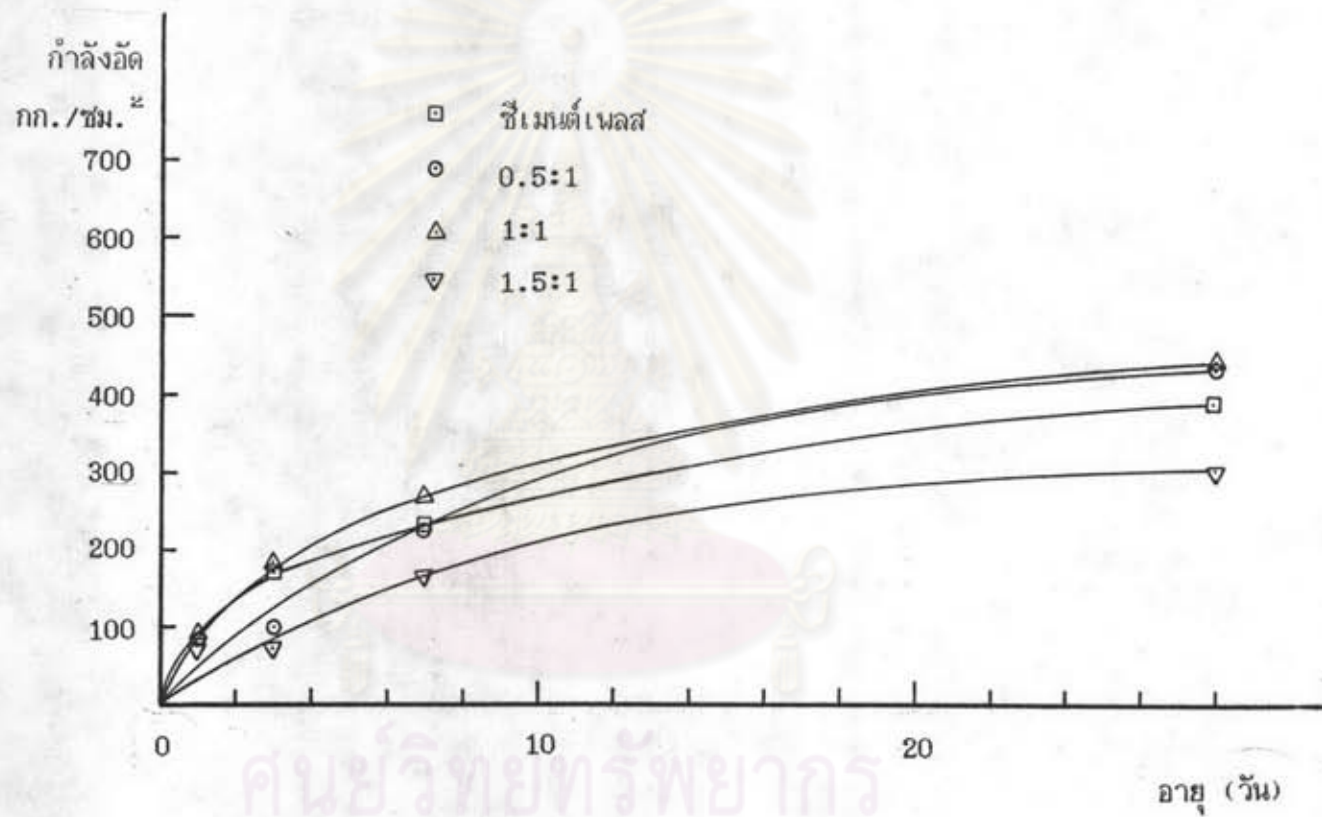
รูปที่ 3.33 กรวยสำหรับทดสอบ Flow Cone Test.

ศูนย์วิจัยทรัพยากร
จุฬาลงกรณ์มหาวิทยาลัย

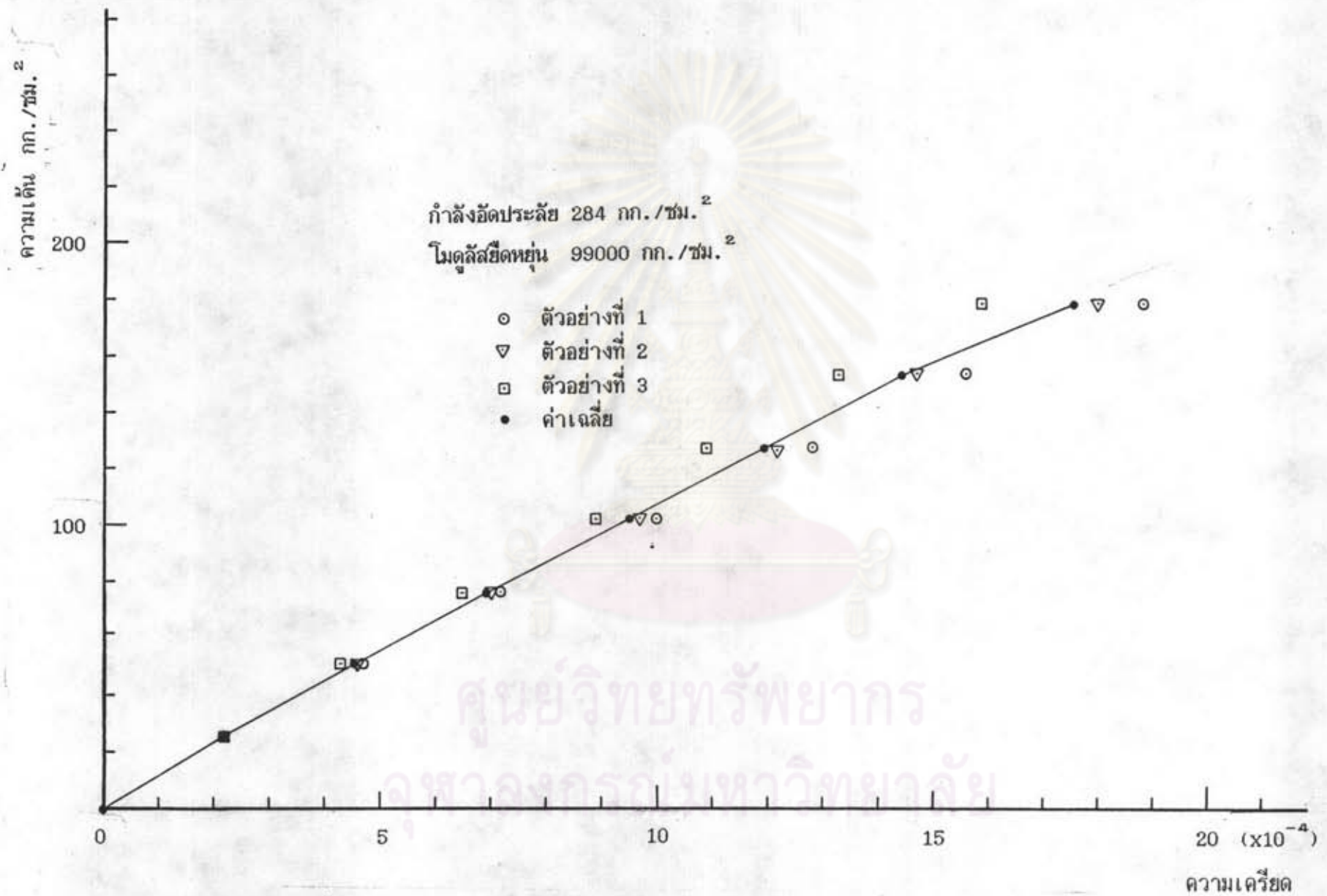


รูปที่ 3.34 อัตราส่วนน้ำต่อซีเมนต์ของมอร์ตาร์สำหรับการเกราะ

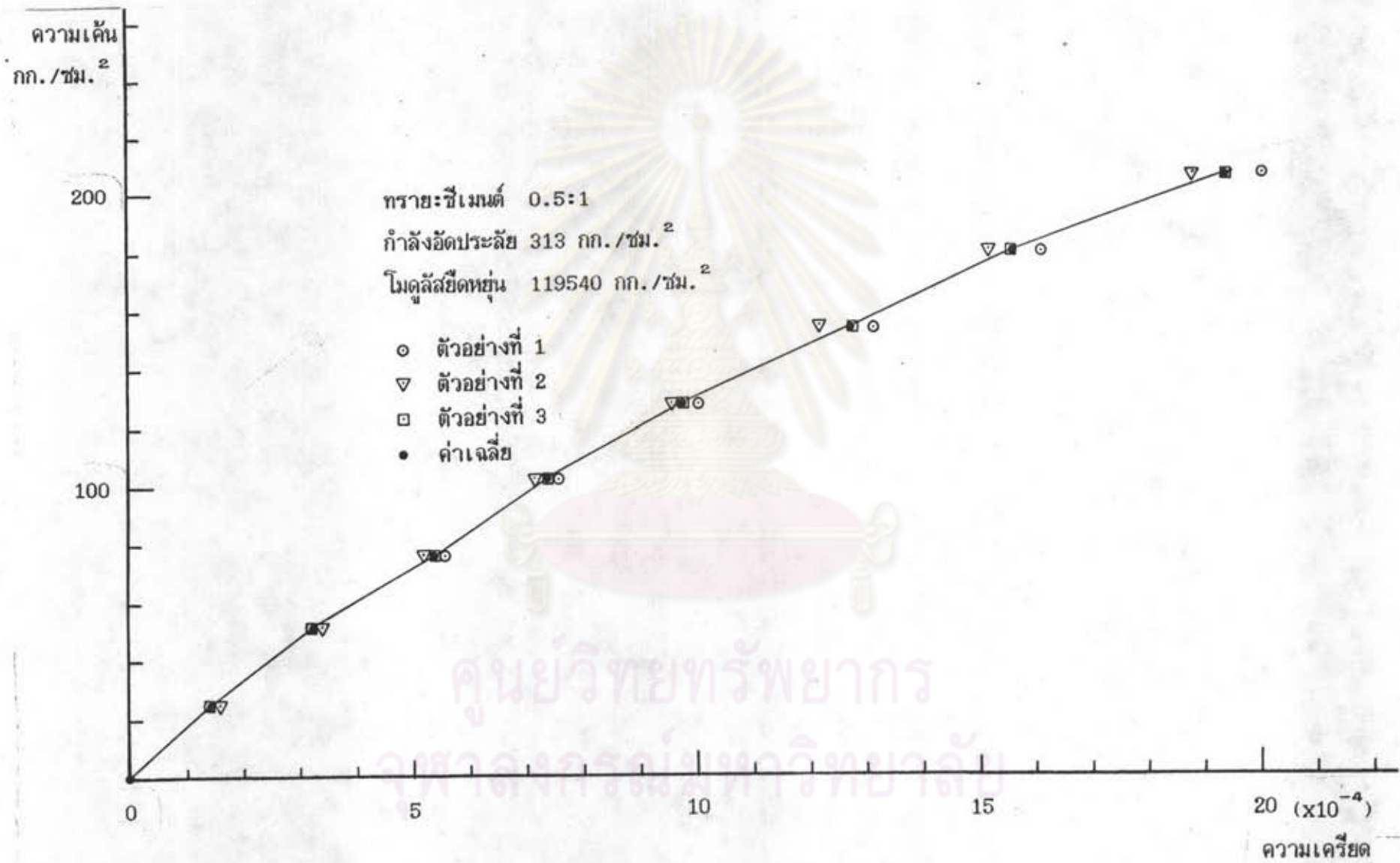
จุฬาลงกรณ์มหาวิทยาลัย



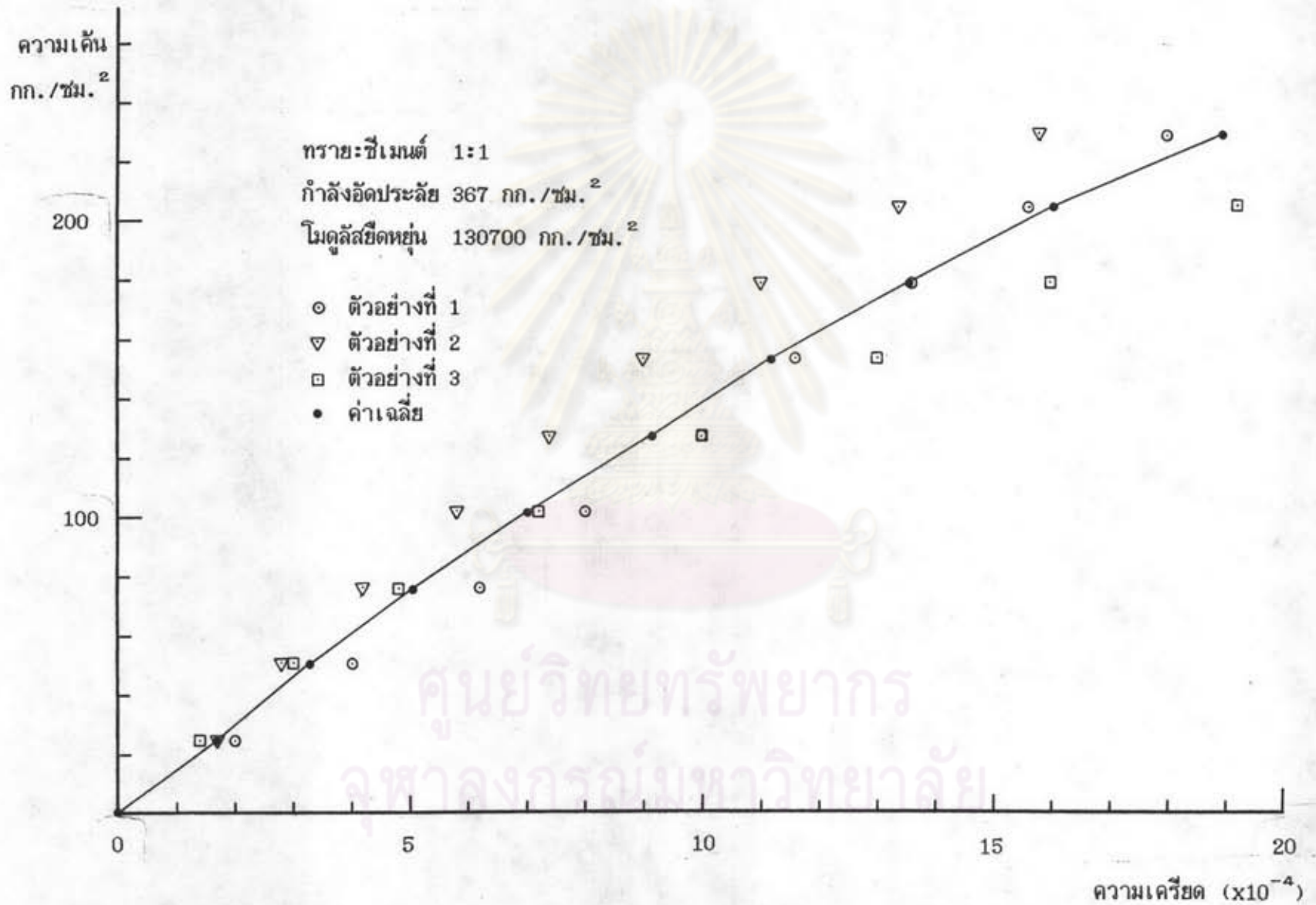
รูป 3.35 ก้างัดของมอร์ตาสำหรับการเกราท์



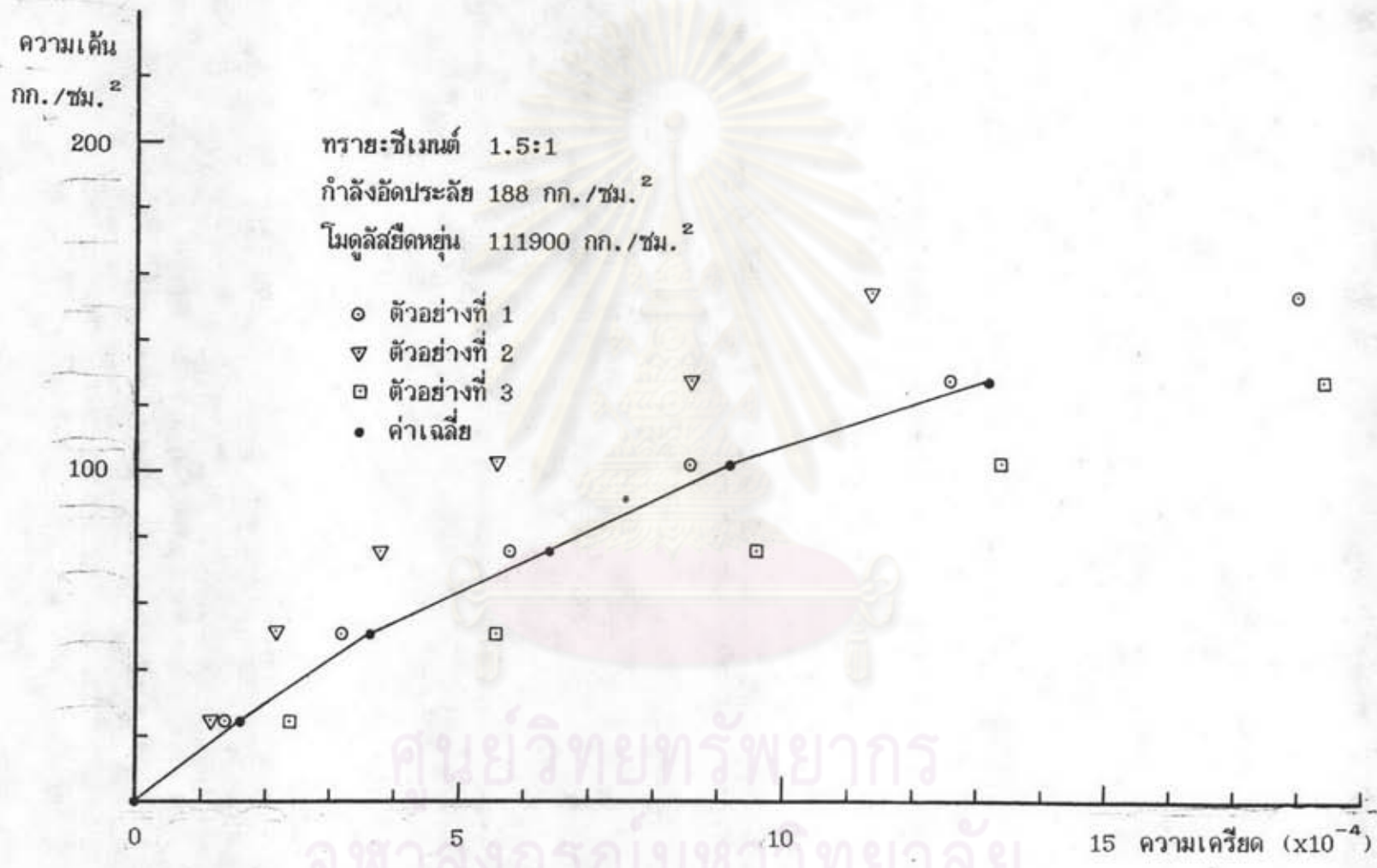
รูปที่ 3.36 ความสัมพันธ์ระหว่างความเต็มและความเค็ยของซีเมนต์เพสสำหรับการเกร้าท์



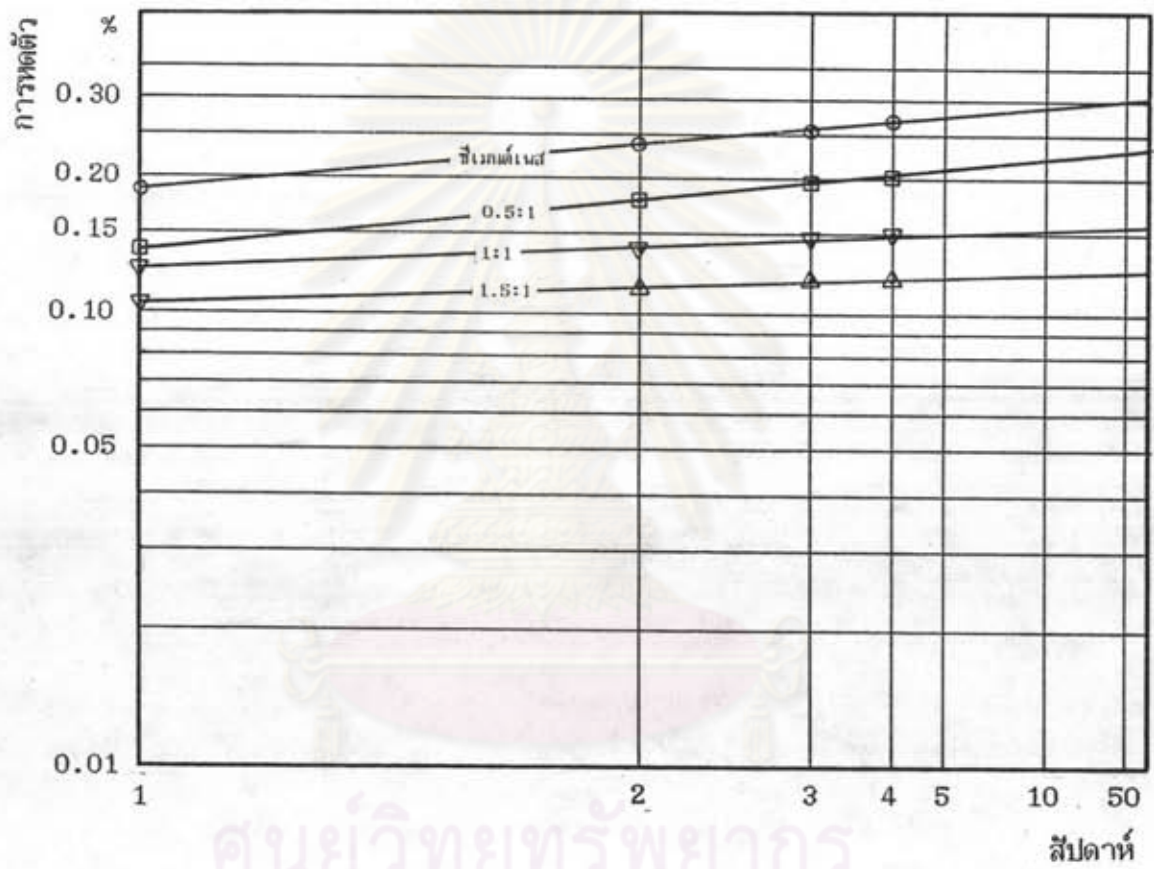
รูปที่ 3.37 ความสัมพันธ์ระหว่างความเค้นและความเครียดของมอร์ต้าสำหรับการเกราท



รูปที่ 3.38 ความสัมพันธ์ระหว่างความเค้นและความเครียดของมอร์ต้าสำหรับการเกร้าท์

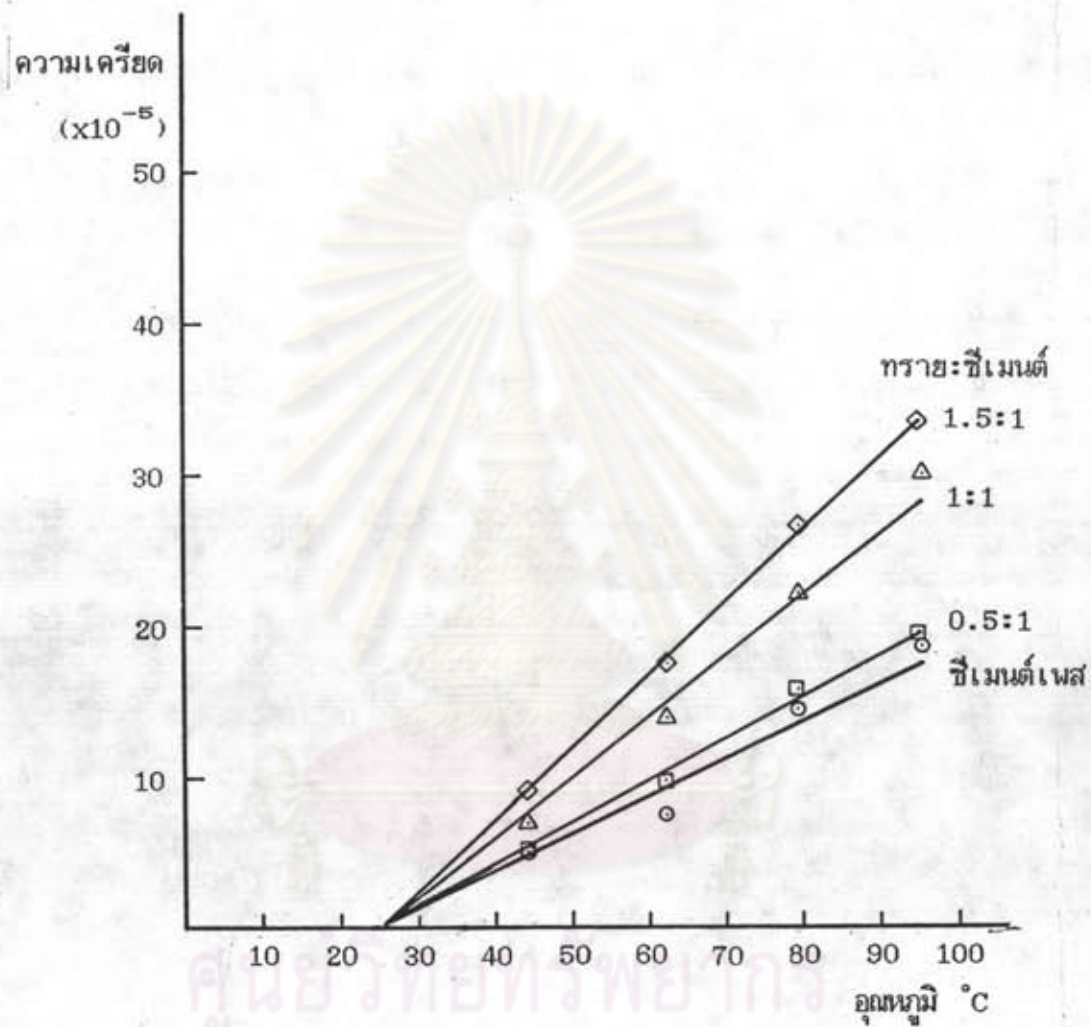


รูปที่ 3.39 ความสัมพันธ์ระหว่างความดันและความเครียดของมอร์ต้าสำหรับการเกราะ

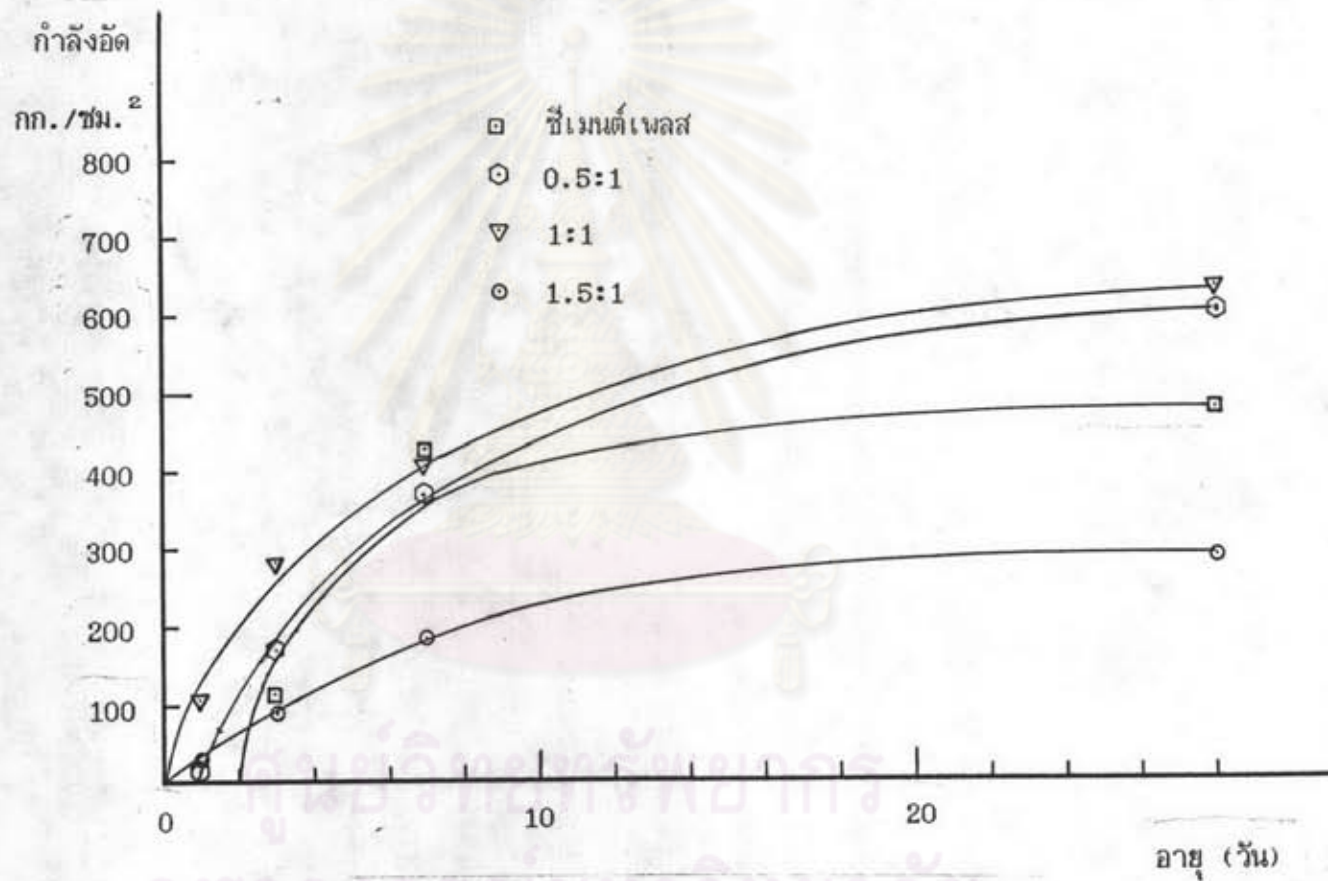


รูปที่ 3.40 การหดตัวจากการเสียน้ำของมอร์ต้าสำหรับการเกรต

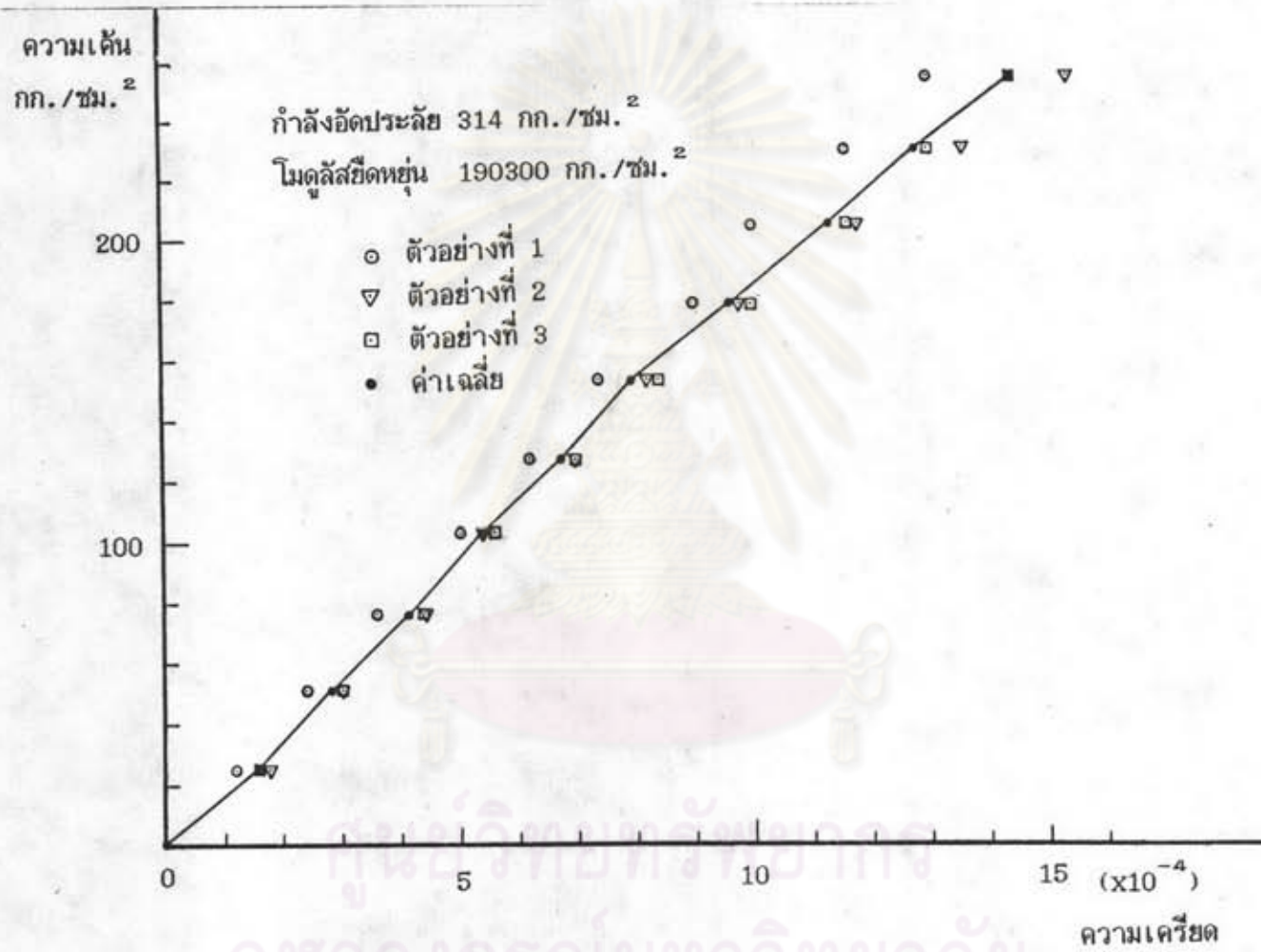
จุฬาลงกรณ์มหาวิทยาลัย



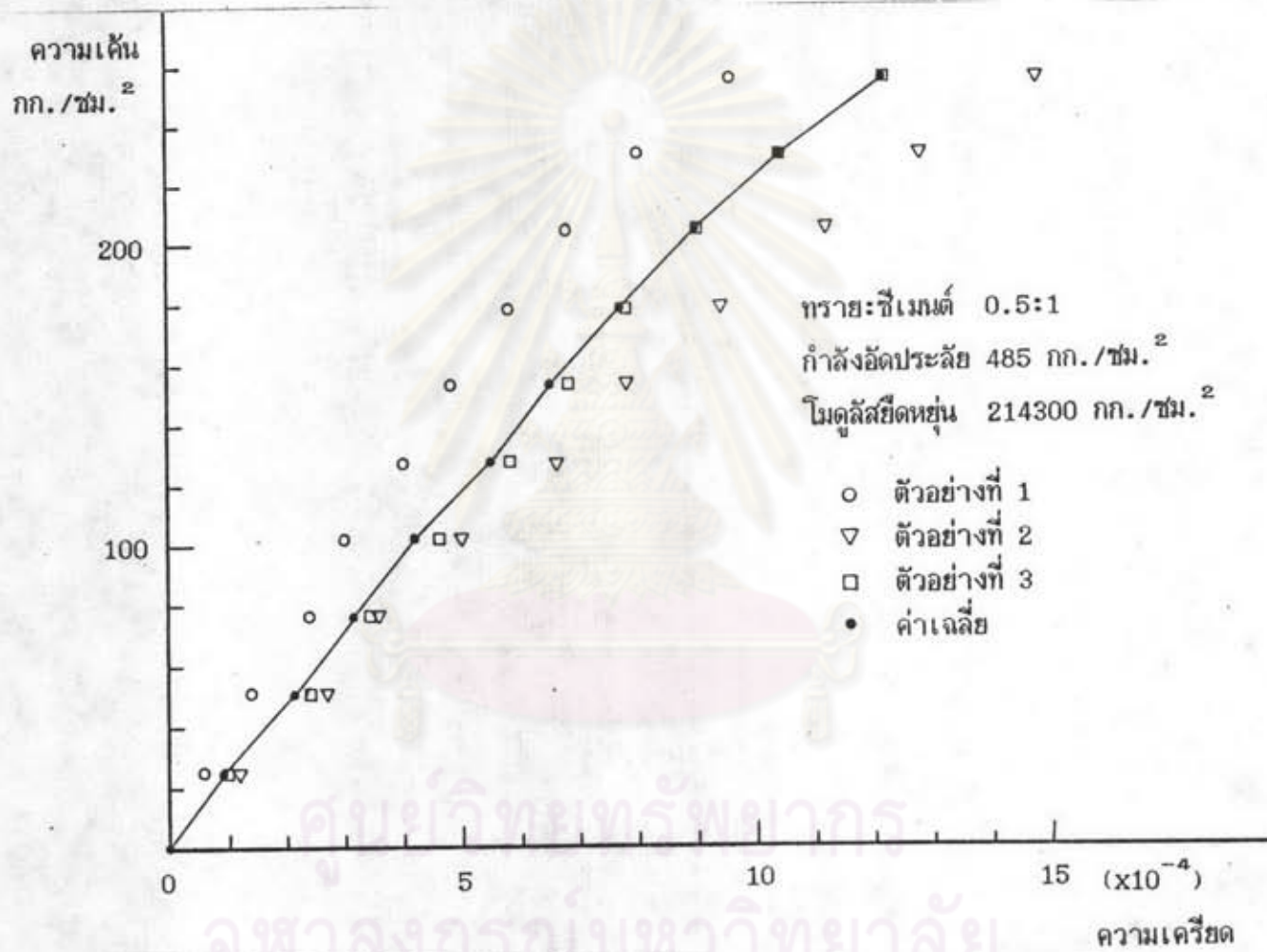
รูปที่ 3.41 การขยายตัวตามอุณหภูมิของมอร์ต้าสำหรับการเกร้าท์



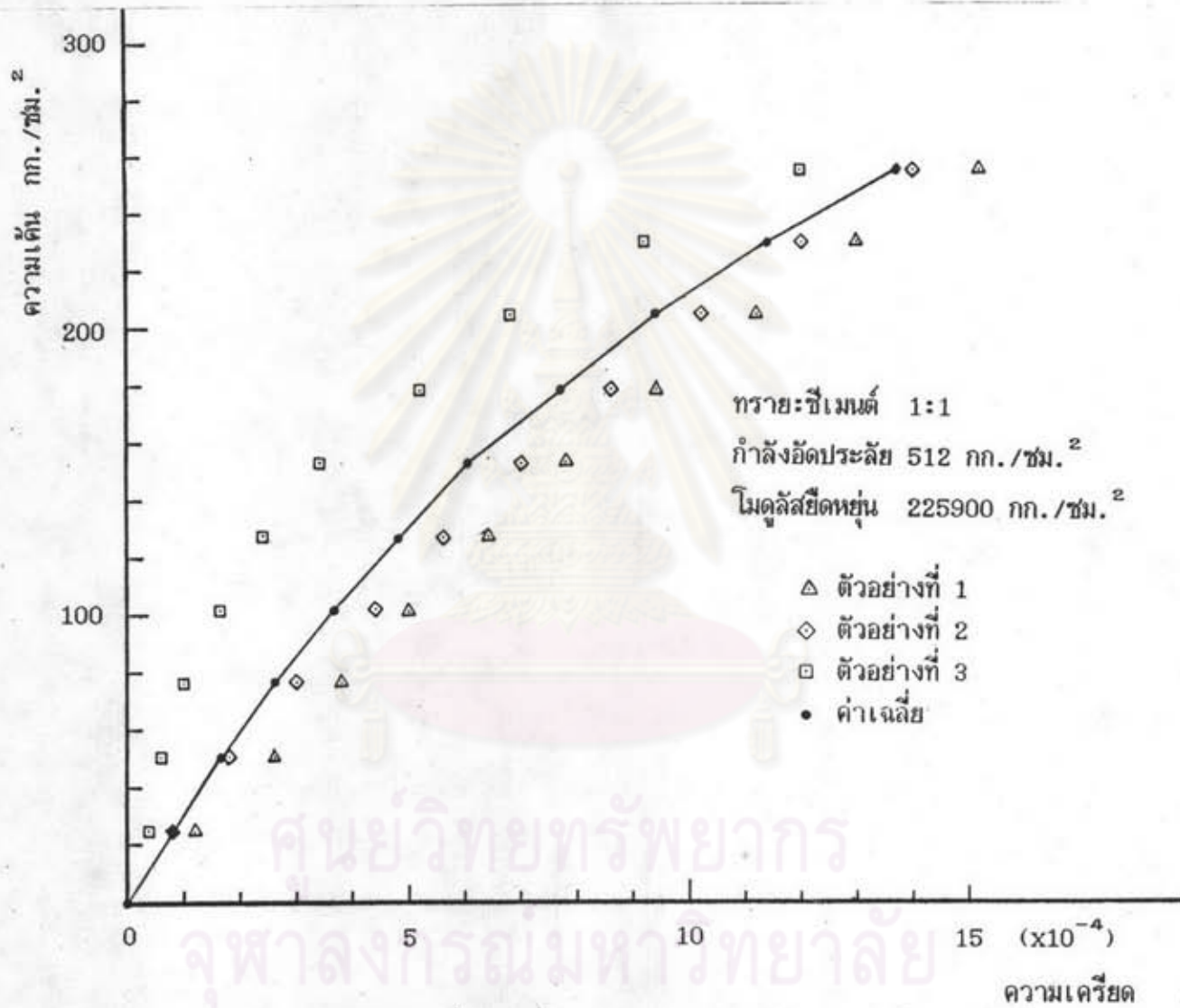
รูปที่ 3.42 กำลังอัดของมอร์ต้า+SP. สำหรับการเกราท์



รูปที่ 3.43 ความสัมพันธ์ระหว่างความเต็มและความเค็ยดของซีเมนต์เฟส+SP. สำหรับการเกรงาท์

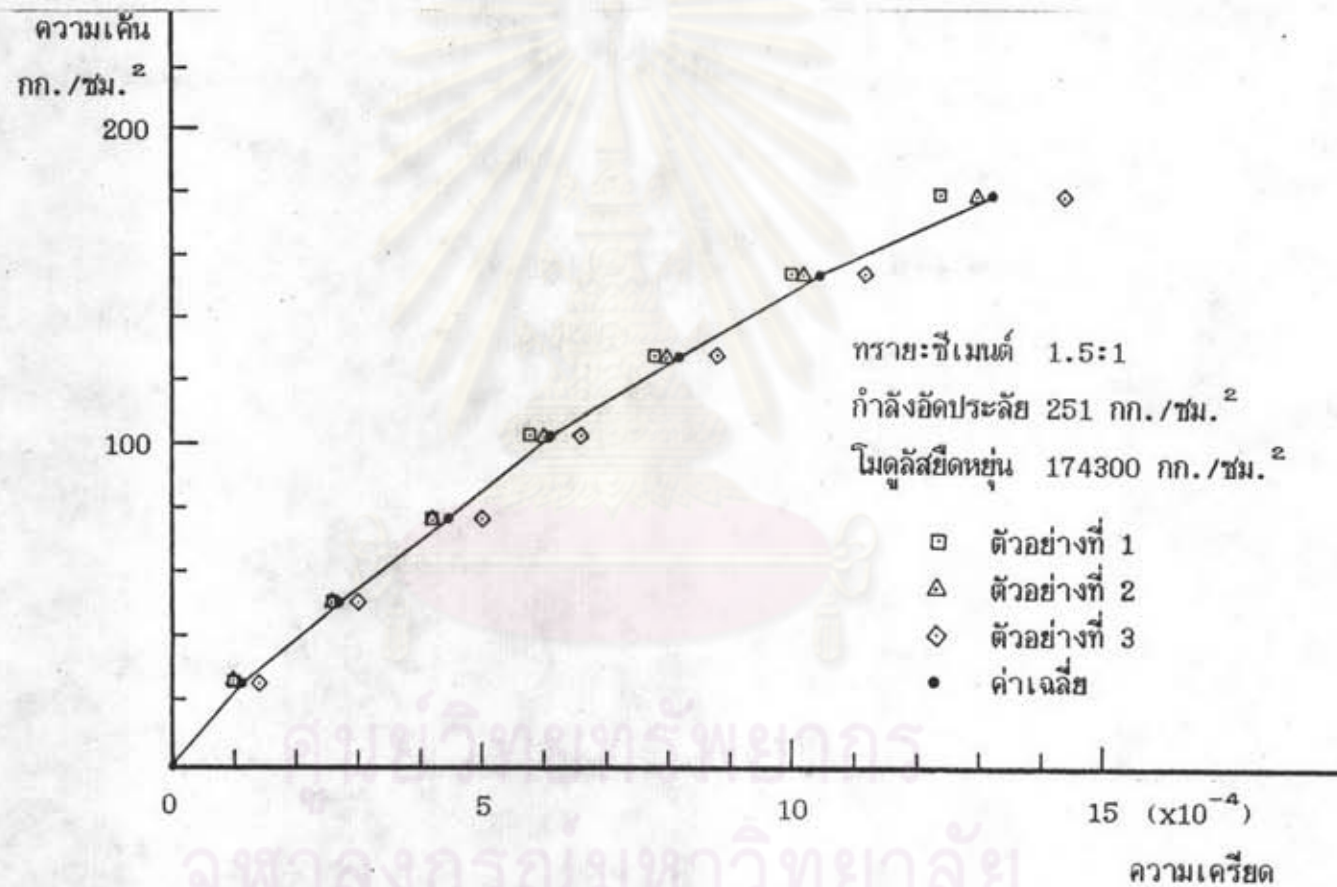


รูปที่ 3.44 ความสัมพันธ์ระหว่างความเต่งและความเครียดของมอริง้า+SP. สำหรับการเกรงาท์

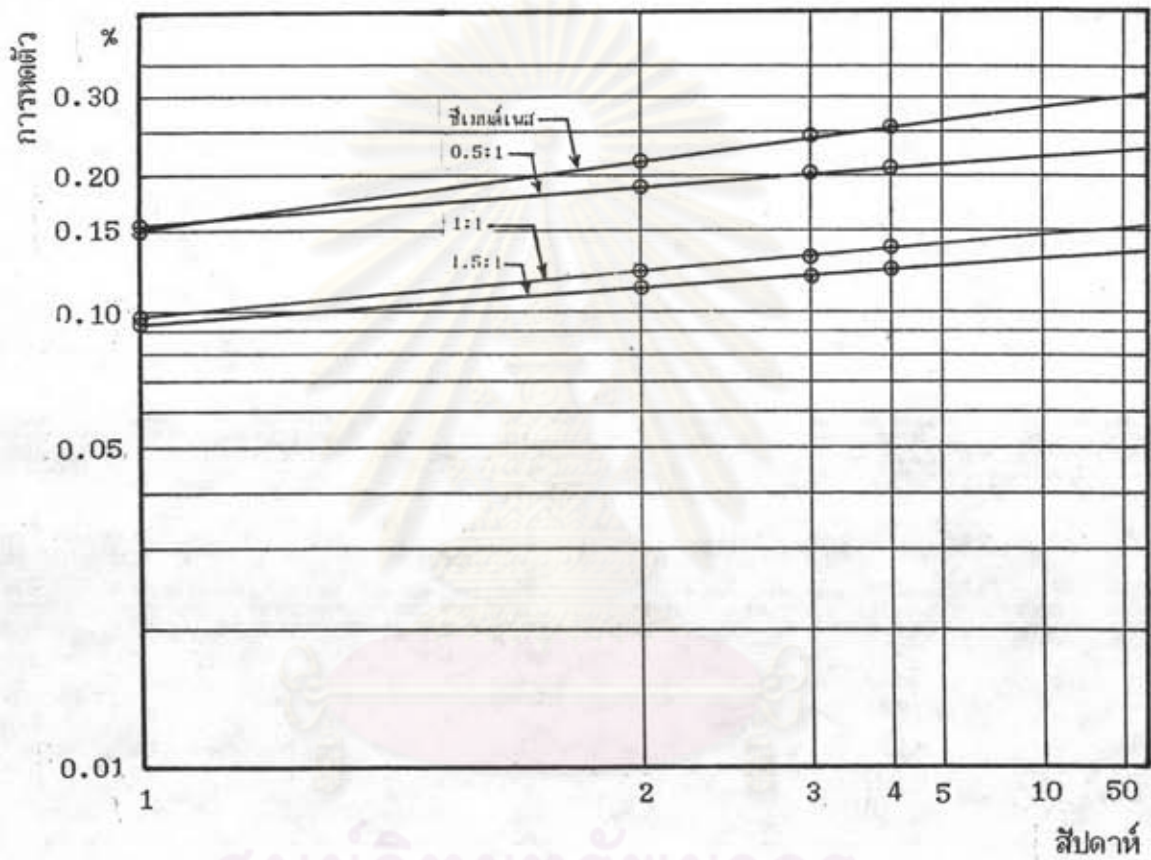


รูปที่ 3.45 ความสัมพันธ์ระหว่างความเต็มและความเครียดของมอร์ต้า+SP. สำหรับการเกรงาท์



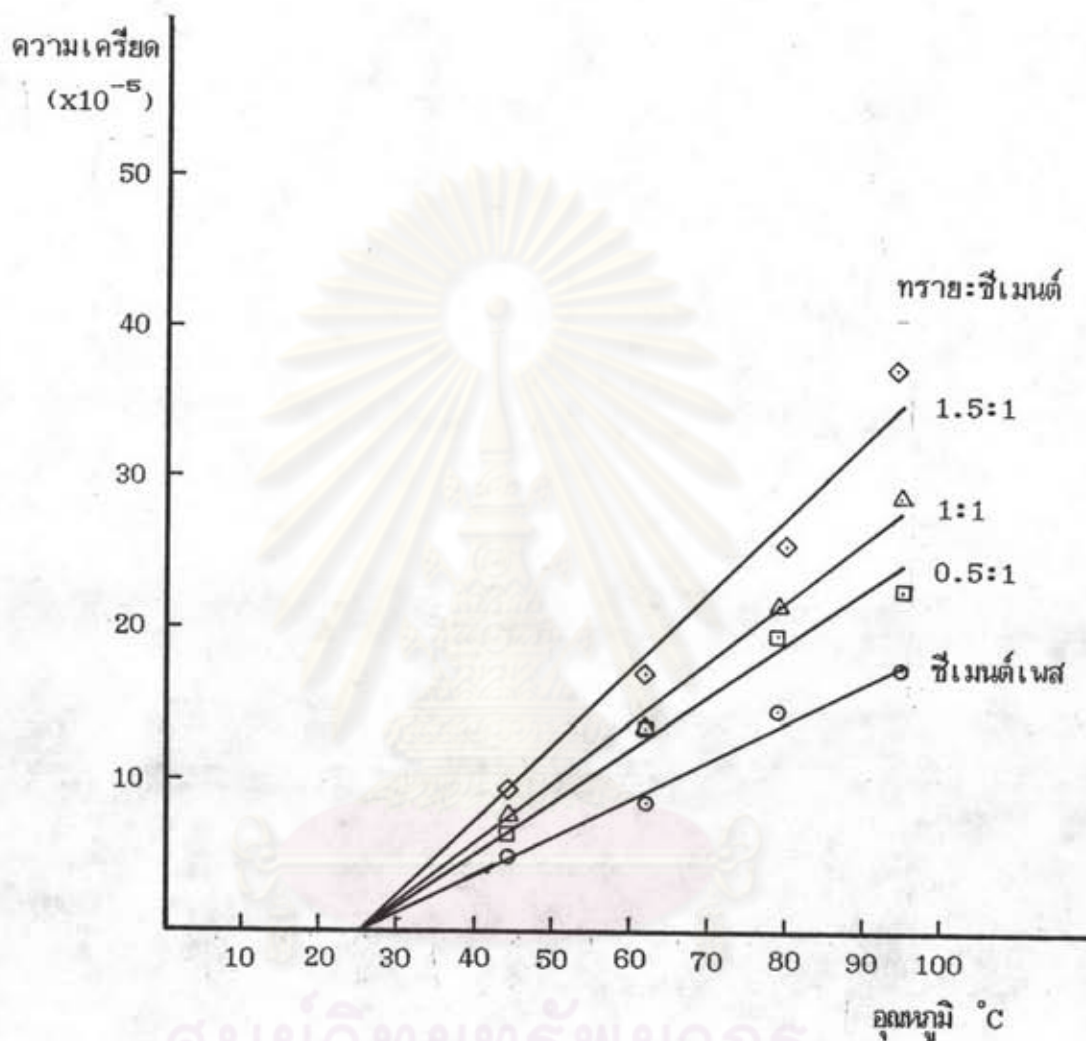


รูปที่ 3.46 ความสัมพันธ์ระหว่างความเค้นและความเครียดของมอร์ต้า+SP. สำหรับการเกรงก์



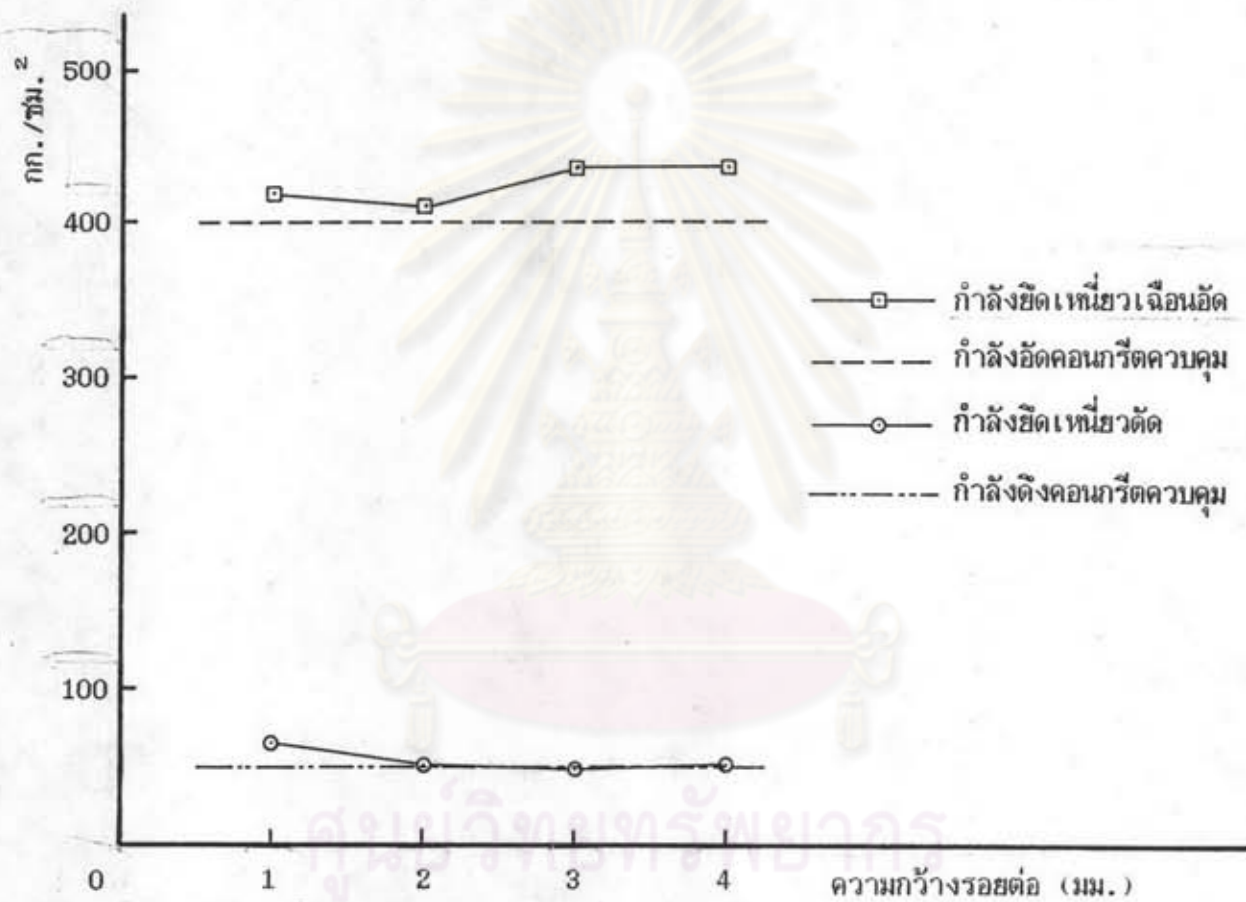
รูปที่ 3.47 การหดตัวจากการเสียน้ำของมอร์ต้า+SP. สำหรับการเกร้าท์

ศูนย์วิทยพัทยากร
จุฬาลงกรณ์มหาวิทยาลัย

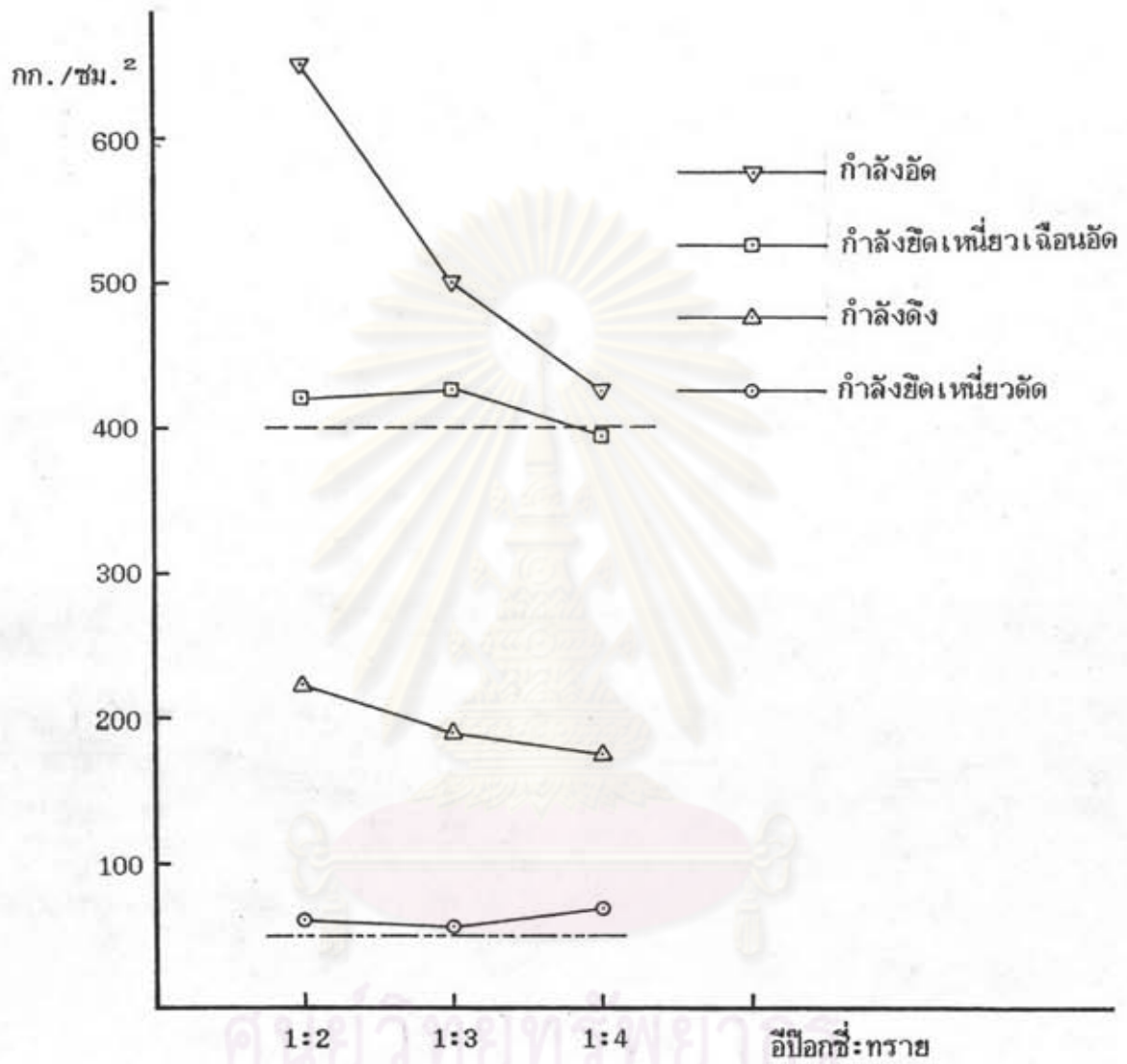


รูปที่ 3.48 การขยายตัวตามอุณหภูมิของมอร์ต้า+SP. สำหรับการเกรทท์

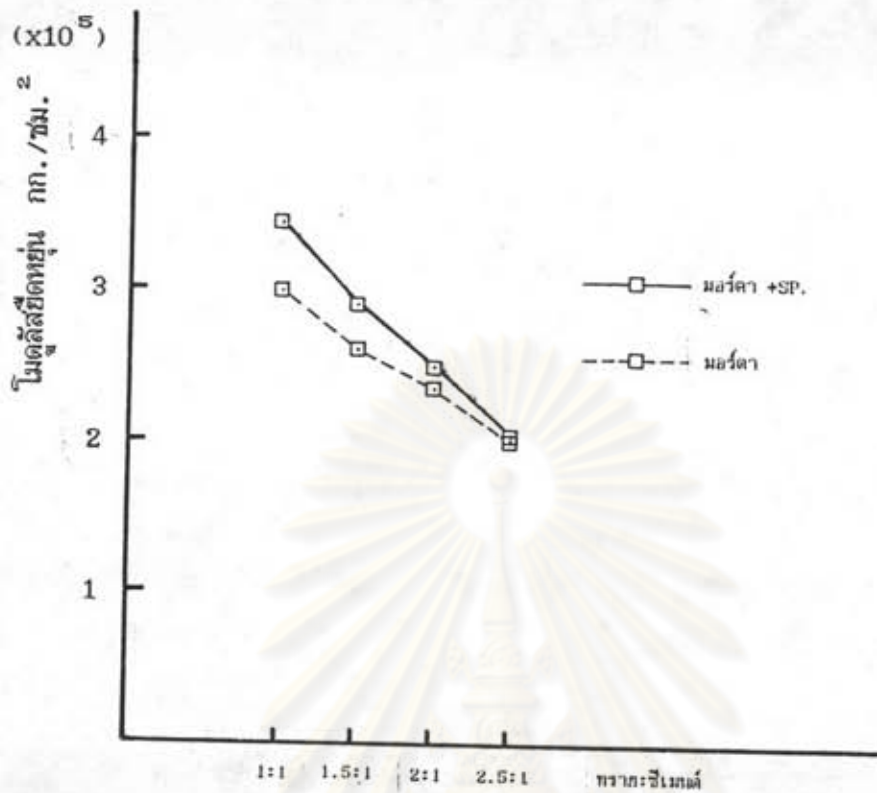
จุฬาลงกรณ์มหาวิทยาลัย



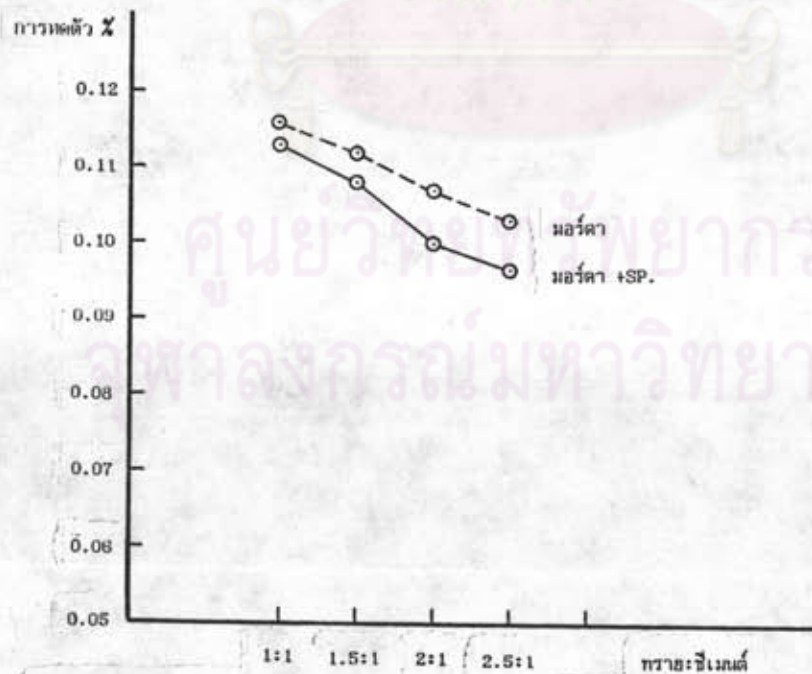
รูปที่ 4.1 ความสัมพันธ์ระหว่างความกว้างของรอยต่อ กับ กำลังยึดเหนี่ยวเงินอัด และกำลังยึดเหนี่ยวตัดของอิฐกับคอนกรีตเก่า



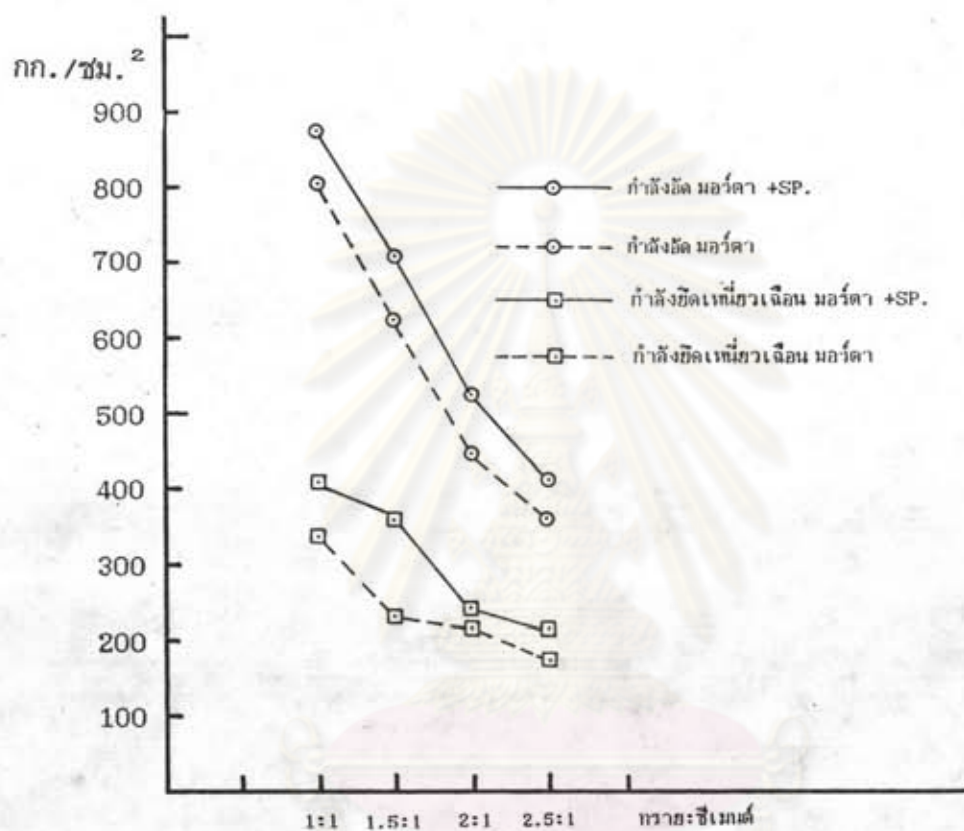
รูปที่ 4.2 ความสัมพันธ์ระหว่างอัตราส่วนอ้อยอกชื้อต่อทราย กับ ก้างยัดเหนียวเจืออัด และก้างยัดเหนียวตัดของอ้อยอกชื้อมอร์ดำกับคอนกรีตเก่า



รูปที่ 4.3 ความสัมพันธ์ระหว่างโมดูลัสยืดหยุ่นและอัตราส่วนทรายต่อซีเมนต์ของมอร์ตาร์สำหรับการปะฉาบ

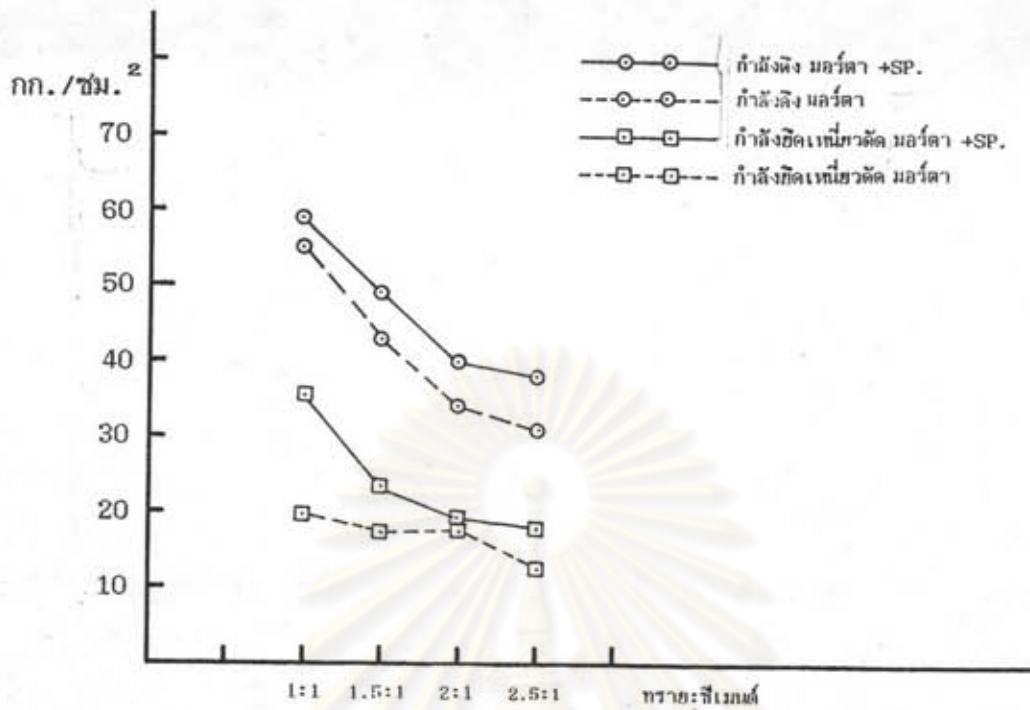


รูปที่ 4.4 ความสัมพันธ์ระหว่างการหดตัวและอัตราส่วนทรายต่อซีเมนต์ของมอร์ตาร์สำหรับการปะฉาบ

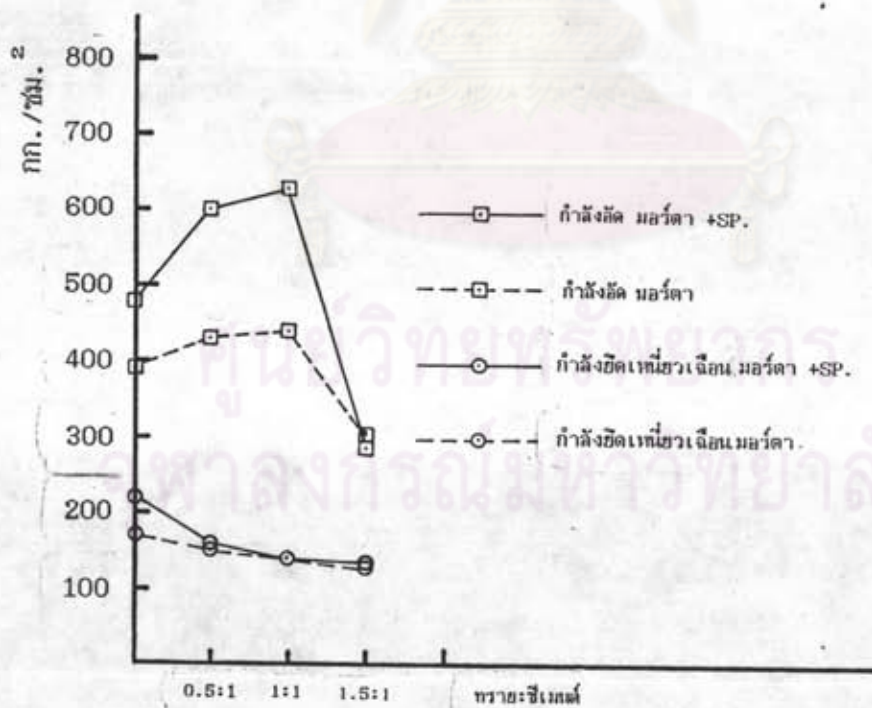


รูปที่ 4.5 ความสัมพันธ์ระหว่างกำลังอัด กิ่งอัดเหนียวเจือปนอัด และอัตราส่วนทรายต่อซีเมนต์ของมอร์ตาร์สำหรับการปะฉาบ

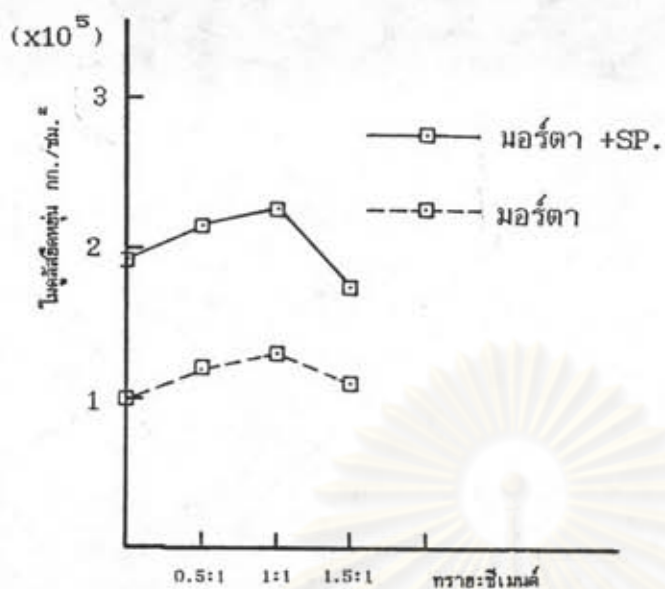
จุฬาลงกรณ์มหาวิทยาลัย



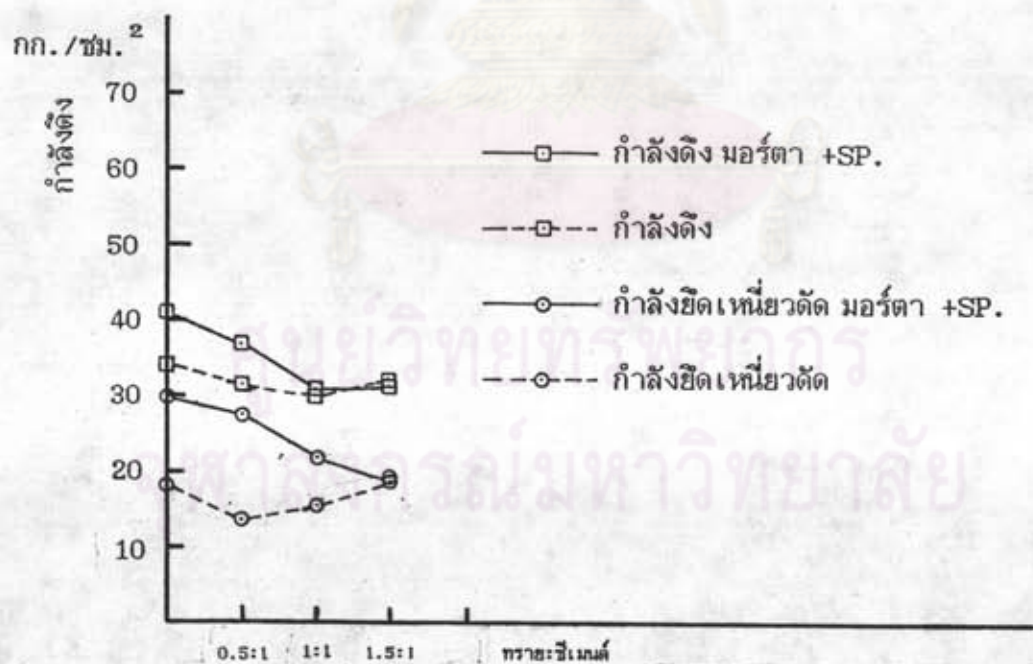
รูปที่ 4.6 ความสัมพันธ์ระหว่างก้างคิง ก้างคิงขัดเหนียวตัด และอัตราส่วนทรายต่อซีเมนต์ของมอร์ต้าสำหรับการปะฉาบ



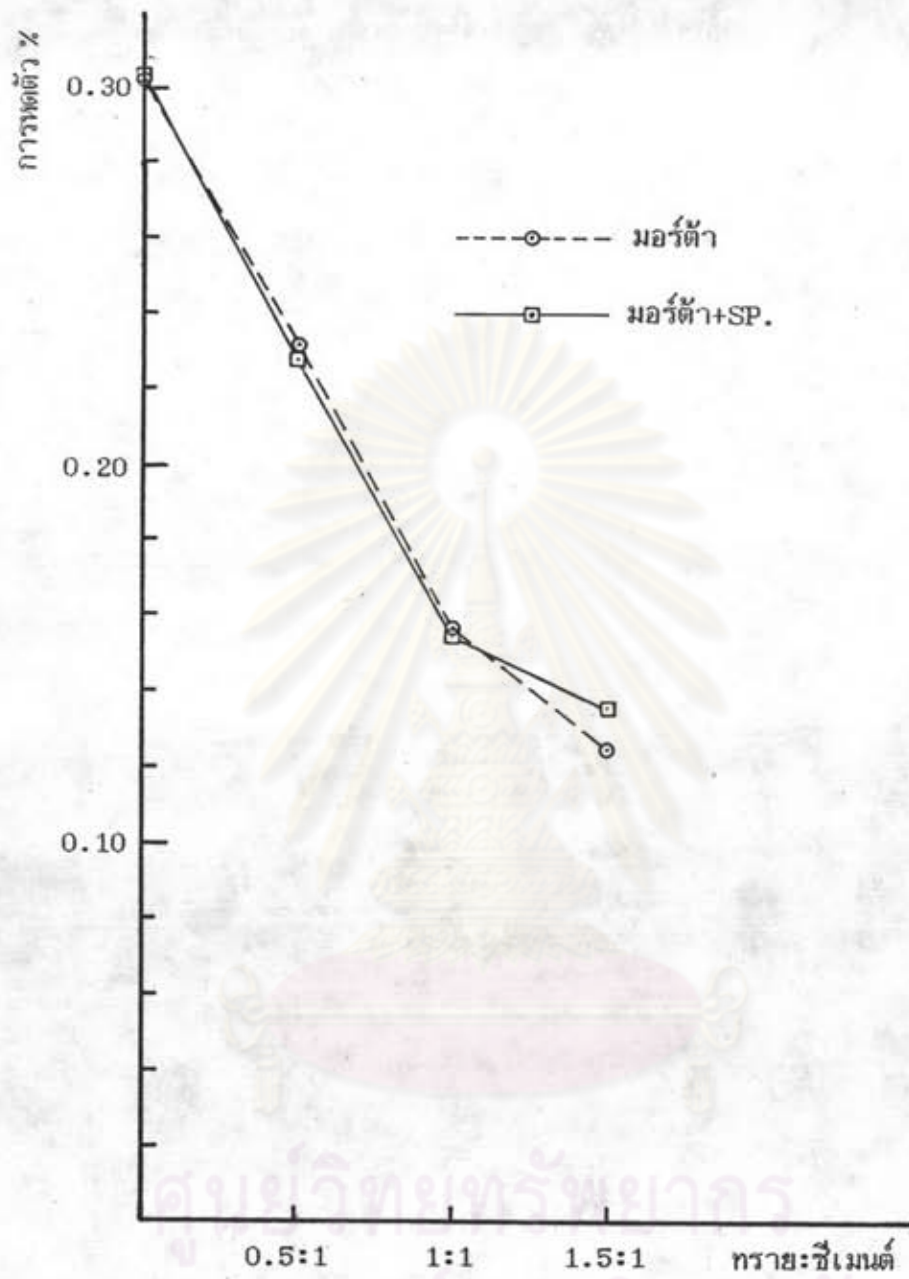
รูปที่ 4.7 ความสัมพันธ์ระหว่างก้างคิงตัด ก้างคิงขัดเหนียวเจียนตัด และอัตราส่วนทรายต่อซีเมนต์ของมอร์ต้าสำหรับการเกราะ



รูปที่ 4.8 ความสัมพันธ์ระหว่างโมดูลัสยืดหยุ่นและอัตราส่วนระหว่างทรายต่อซีเมนต์ของมอร์ตาร์สำหรับการเกราะ



รูปที่ 4.9 ความสัมพันธ์ระหว่างกำลังดึง กำลังยึดเหนี่ยวตัด และอัตราส่วนทรายต่อซีเมนต์ของมอร์ตาร์สำหรับการเกราะ



รูปที่ 4.10 ความสัมพันธ์ระหว่างการหดตัวจากการเสียน้ำ กับ อัตราส่วนทรายต่อซีเมนต์ของมอร์ต้าสำหรับการเกรทท์

ประวัติผู้เขียน

นายวิเศษ เนยเมืองปักข์ เกิดเมื่อวันที่ 6 กุมภาพันธ์ พ.ศ. 2505 สำเร็จการ
 ศึกษาได้รับปริญญาวิศวกรรมศาสตรบัณฑิต สาขาวิศวกรรมโยธา จากมหาวิทยาลัยขอนแก่น เมื่อปี
 การศึกษา 2526 เป็นวิศวกรประจำบริษัท เนาวรัตน์พัฒนาการ จำกัด เมื่อ พ.ศ. 2527 เข้า
 ศึกษาต่อในระดับวิศวกรรมศาสตรมหาบัณฑิต ณ บัณฑิตวิทยาลัย จุฬาลงกรณ์มหาวิทยาลัย ในปีการ
 ศึกษา 2529 ปัจจุบัน รับราชการในตำแหน่งวิศวกรโยธา 3 ณ สำนักงานโยธา กรุงเทพมหานคร
 กระทรวงมหาดไทย



ศูนย์วิทยทรัพยากร
 จุฬาลงกรณ์มหาวิทยาลัย



นายภิญโญ เนยเมืองปักษ์ เกิดเมื่อวันที่ 6 กุมภาพันธ์ พ.ศ. 2505 สำเร็จการ
ศึกษาได้รับปริญญาวิศวกรรมศาสตรบัณฑิต สาขาวิศวกรรมโยธา จากมหาวิทยาลัยขอนแก่น เมื่อปี
การศึกษา 2526 เป็นวิศวกรประจำบริษัท เนาวรัตน์พัฒนาการ จำกัด เมื่อ พ.ศ. 2527 เข้า
ศึกษาต่อในระดับวิศวกรรมศาสตรมหาบัณฑิต ณ บัณฑิตวิทยาลัย จุฬาลงกรณ์มหาวิทยาลัย ในปีการ
ศึกษา 2529 ปัจจุบัน รับราชการในตำแหน่งวิศวกรโยธา 3 ณ สำนักงานโยธา กรุงเทพมหานคร
กระทรวงมหาดไทย



ศูนย์วิทยทรัพยากร
จุฬาลงกรณ์มหาวิทยาลัย